

ความแข็งแรงการยึดติดแบบดั้งและความแข็งแรงผิวของซี่ฟันเทียม



นางสาว กาญจนพร มิ่งมงคลชัยกุล

# ศูนย์วิทยทรัพยากร จุฬาลงกรณ์มหาวิทยาลัย

วิทยานิพนธ์นี้เป็นส่วนหนึ่งของการศึกษาตามหลักสูตรปริญญาวิทยาศาสตรมหาบัณฑิต

สาขาวิชาทันตกรรมประดิษฐ์ ภาควิชาทันตกรรมประดิษฐ์

คณะทันตแพทยศาสตร์ จุฬาลงกรณ์มหาวิทยาลัย

ปีการศึกษา 2553

ลิขสิทธิ์ของจุฬาลงกรณ์มหาวิทยาลัย

TENSILE BOND STRENGTH AND SURFACE HARDNESS OF ARTIFICIAL TEETH



Miss Kanjanaporn Mingmongkolchaikul

ศูนย์วิทยุทันตวิทยา  
จุฬาลงกรณ์มหาวิทยาลัย

A Thesis Submitted in Partial Fulfillment of the Requirements  
for the Degree of Master of Sciences Programs in Prosthodontics

Department of Prosthodontics

Faculty of Dentistry

Chulalongkorn University

Academic Year 2010

Copyright of Chulalongkorn University

หัวข้อวิทยานิพนธ์

ความแข็งแรงการยึดติดแบบดึงและความแข็งแรงผิวของซีฟันเทียม

โดย

นางสาว กาญจนพร มิ่งมงคลชัยกุล

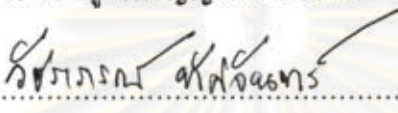
สาขาวิชา

ทันตกรรมประดิษฐ์


อาจารย์ที่ปรึกษาวิทยานิพนธ์หลัก

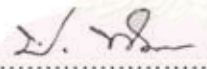
รองศาสตราจารย์ ทันตแพทย์ ดร. ปิยวัฒน์ พันธุ์โกศล

คณะทันตแพทยศาสตร์ จุฬาลงกรณ์มหาวิทยาลัย อนุมัติให้แก่นักศึกษานิพนธ์ฉบับนี้เป็น  
ส่วนหนึ่งของการศึกษาตามหลักสูตรปริญญาโทบัณฑิต

  
..... คณบดีคณะทันตแพทยศาสตร์  
(รองศาสตราจารย์ ทันตแพทย์หญิง วัชรารภรณ์ ทศจันทร์)

คณะกรรมการสอบวิทยานิพนธ์

  
..... ประธานกรรมการ  
(ผู้ช่วยศาสตราจารย์ ทันตแพทย์หญิง ดร. อรพินท์ แก้วปลั่ง)

  
..... อาจารย์ที่ปรึกษาวิทยานิพนธ์หลัก  
(รองศาสตราจารย์ ทันตแพทย์ ดร. ปิยวัฒน์ พันธุ์โกศล)

  
..... กรรมการ  
(ผู้ช่วยศาสตราจารย์ ทันตแพทย์ ดร. นิยม ธำรงค์อนันต์สกุล)

  
..... กรรมการภายนอกมหาวิทยาลัย  
(ผู้ช่วยศาสตราจารย์ ทันตแพทย์หญิง ดร.พนารัตน์ ขอดแก้ว)

กาญจนพร มิ่งมงคลชัยกุล : ความแข็งแรงการยึดติดแบบดึงและความแข็งผิวของซีฟันเทียม. (TENSILE BOND STRENGTH AND SURFACE HARDNESS OF ARTIFICIAL TEETH) อ. ที่ปรึกษาวิทยานิพนธ์หลัก: รศ.ทพ.ดร. ปิยวัฒน์ พันธุ์โกศล, 89 หน้า.

การวิจัยนี้มีวัตถุประสงค์เพื่อศึกษาความแข็งผิวและการยึดติดกับฐานฟันเทียมของซีฟันเทียมสำเร็จรูปและอะคริลิกชนิดบ่มด้วยความร้อน และศึกษาสัดส่วน ชนิดของวัสดุอุดแทรกและปริมาณของสารเชื่อมขวางที่สามารถปรับปรุงสมบัติของอะคริลิกใสสำหรับใช้เป็นวัสดุทำซีฟันเทียม โดยแบ่งออกเป็น 3 ตอน คือ ตอนที่ 1 เปรียบเทียบอะคริลิกชนิดบ่มด้วยความร้อนกับซีฟันเทียมอะคริลิกทางการค้าได้แก่ ฟันเมเจอร์เดนท (Mj) ฟันออริโทลักซ์ทีโอป (Or) ฟันเทอร์โมพลาสติก (PCP) อะคริลิกใส (clear) และอะคริลิกสีเหมือนฟัน(4F) ตอนที่ 2 เปรียบเทียบการเติมวัสดุอุดแทรกในอะคริลิกใส คือ แก้วขนาดไมโครร้อยละ 10 (BBAS 10%) และร้อยละ 15 (BBAS 15%) และซิลิกาขนาดนาโนร้อยละ 1 (Si 1%)และร้อยละ 3 (Si 3%) เลือกสูตรที่ให้ค่าแข็งวิกเกอร์ส(VHN)สูงสุดมาศึกษาต่อในตอนที่ 3 คือ เปรียบเทียบการเติมซิลิกาขนาดนาโนร้อยละ 3 ร่วมกับสารเชื่อมขวางเอทิลีนไกลคอลไดเมทาคริเลตร้อยละ 10 (Si 3%+EG 10%) และร้อยละ 20 (Si 3%+EG 20%) โดยมีชิ้นตัวอย่างกลุ่มละ 10 ชิ้น นำมาทดสอบความแข็งวิกเกอร์ส 5 ครั้งด้วยแรง 300 กรัมเป็นเวลา 15 วินาที โดยนำค่ากึ่งกลางมาหาค่าเฉลี่ยเป็นค่าความแข็งวิกเกอร์ส (VHN) และทดสอบความแข็งแรงยึดติดแบบดึง (TBS) กับฐานฟันเทียม นำข้อมูลมาทดสอบทางสถิติด้วยการวิเคราะห์ความแปรปรวนแบบทางเดียวและทำการเปรียบเทียบเชิงซ้อนแบบแทมเสน และแบบทูกีย์ที่ระดับนัยสำคัญ 0.05 ผลการทดลองตอนที่ 1 พบว่า clear (21.30±0.29) มีค่า VHN ต่ำสุด ส่วน PCP (22.41±0.64) มีค่า VHN ปานกลางเทียบเท่า 4F (22.14±0.50) และ Mj (22.90±0.70) ส่วน TBS พบว่า PCP(8.55±2.70) ให้ค่า TBS มีค่าต่ำสุด clear (26.59±7.19) มีค่าTBS ใกล้เคียงกับ 4F (21.40±6.37) และ Or (40.65±9.01) มีค่า TBS ใกล้เคียงกับ Mj (38.25±6.96) ตอนที่ 2 พบว่า BBAS 10% (22.29±0.21) BBAS 15% (21.95±0.41) และ Si 3% (23.09±0.23) เพิ่ม VHN ได้อย่างมีนัยสำคัญทางสถิติ และมีค่า TBS ใกล้เคียงกัน โดย Si1% และ Si3% ไม่พบรูปแบบการแตกหักแบบแอคฮีซีฟ แต่ BBAS 15% พบรูปแบบการแตกหักในซีฟันเทียม และตอนที่ 3 พบว่า Si 3%+EG 20% (23.34±0.43) มีค่า VHN สูงกว่า Si 3% อย่างไม่มีนัยสำคัญทางสถิติ การเติมวัสดุอุดแทรกร่วมกับสารเชื่อมขวางทำให้ TBS ต่ำลงได้อย่างไม่มีนัยสำคัญทางสถิติและพบรูปแบบการแตกหักในซีฟันเทียมสูงขึ้นในกลุ่ม Si 3%+EG 20%

ภาควิชาทันตกรรมประดิษฐ์  
สาขาวิชาทันตกรรมประดิษฐ์  
ปีการศึกษา 2553

ลายมือชื่อนิสิต .....กาญจนพร มิ่งมงคลชัยกุล  
ลายมือชื่อ อ.ที่ปรึกษาวิทยานิพนธ์หลัก .....

# # 5176102432 : MAJOR PROSTHODONTICS

KEYWORDS : SURFACE HARDNESS/ TENSILE BOND STRENGTH/ ARTIFICIAL TEETH

KANJANAPORN MINGMONGKOLCHAIKUL: TENSILE BOND STRENGTH AND SURFACE HARDNESS OF ARTIFICIAL TEETH. THESIS ADVISOR: ASSOC. PROF.

PIYAWAT PHANKOSOL, Ph.D., 89 pp.

The purpose of this study was to examine the tensile bond strength (TBS) and surface hardness (Vicker's hardness: VHN) of commercial teeth and heat-cured acrylic resin and examine the effect of additives in modified acrylic resin for artificial teeth. There are two commercial teeth; Majordent (Mj) and Ortolux Top (Or), thermoplastic teeth(PCP), clear heat-cured acrylic resin (clear) and tooth color heat-cured acrylic resin (4F) for part 1. Clear heat-cured acrylic resin was modified by adding two fillers; microbarium glass 10% (BBAS10%) and 15% (BBAS15%) and nanosilica 1% (Si1%) and 3% (Si3%) for part 2. The best result group of VHN (Si 3%) from part 1 was modified by adding filler combined with cross-linking agent; 10% (Si3%+EG10%) and 20% EGDMA (Si3%+EG20%) for part 3. Each group of materials consisted of 10 samples. Vickers hardness tests (300 gm force for 15 seconds) were tested for 5 times each. The median value of each sample was used as Vickers Hardness Number (VHN).The tensile bond strength (TBS) tests were performed with heat-cured denture base in according to ADA No.15 specification. One-way analysis of variance (ANOVA) was used for statistical analysis. Multiple comparison Tamhane's T2 and Tukey HSD (P<0.05). The VHN result of part 1 showed the lowest VHN is clear (21.30±0.29) while PCP (22.41±0.64) is nearing to 4F (22.14±0.50) and Mj (22.90±0.70). The TBS showed that the lowest TBS is PCP whereas clear (26.59±7.19) is nearing to 4F (21.40±6.37) and the highest is Or (40.65±9.01) nearing to Mj (38.25±6.96). The result of part 2 showed that BBAS 10% (22.29±0.21), BBAS 15% (21.95±0.41) and Si 3%(23.09±0.23) increased VHN to PMMA significantly but there was no statistically significant differences increased TBS. There were no adhesive failure in Si1% and Si3% but cohesive failure in tooth material was found only in BBAS15%. The result of part 3 showed that no statistically significant differences between Si 3% and Si 3%+EG 20% (23.34±0.43). There was no statistically significant differences decreased TBS but the cohesive failure in denture tooth was found in Si 3%+EG 20%.

Department : Prosthodontics  
 Field of Study : Prosthodontics  
 Academic Year : 2010

Student's Signature K. Mingmongkolchaikul  
 Advisor's Signature [Signature]

## กิตติกรรมประกาศ

วิทยานิพนธ์ฉบับนี้สำเร็จลุล่วงไปได้ด้วยดี เนื่องจาก ความช่วยเหลือและความเอาใจใส่ของรองศาสตราจารย์ ทันตแพทย์ ดร. ปิยวัฒน์ พันธุ์โกศล อาจารย์ที่ปรึกษาวิทยานิพนธ์ ซึ่งท่านได้ให้คำแนะนำและข้อคิดเห็นต่างๆในการวิจัยด้วยดีมาโดยตลอด จึงขอขอบพระคุณอาจารย์เป็นอย่างยิ่ง

ขอขอบพระคุณผู้ช่วยศาสตราจารย์ ทันตแพทย์ ดร. นิยม อังรงค์อนันต์สกุล ที่ได้ให้ความรู้และคำปรึกษาทางด้านพอลิเมอร์

ขอขอบพระคุณอาจารย์ไพพรรณ พิทยานนท์ ที่ได้ให้ความรู้และคำปรึกษาทางด้านสถิติ

ขอขอบคุณทุนอุดหนุนวิทยานิพนธ์สำหรับนิสิต จากบัณฑิตวิทยาลัย จุฬาลงกรณ์มหาวิทยาลัย

ขอขอบคุณมูลนิธิ ทันตนวัตกรรม หน่วยทันตกรรมพระราชทานในพระบาทสมเด็จพระเจ้าอยู่หัว เพื่อสสารเคมีและเครื่องมือในการวิจัย

บริษัท Esstech, Inc. เพื่อวัสดุอัดแท่งแก้วและสารเชื่อมขวางเอทิลีนไกลคอลไดเมทาคริเลต

บริษัท Shin-Etsu ประเทศไทย จำกัด เพื่อสารไซเลน

และขอขอบคุณเจ้าหน้าที่ทุกท่านในศูนย์วิจัยทันตวัสดุศาสตร์ ศูนย์วิจัยชีววิทยาช่องปาก และหน่วยงานปฏิบัติการทันตกรรม ที่ได้ให้ความช่วยเหลือและความสะดวกในการดำเนินงานวิจัยนี้

ศูนย์วิทยทรัพยากร  
จุฬาลงกรณ์มหาวิทยาลัย

## สารบัญ

	หน้า
บทคัดย่อภาษาไทย.....	ง
บทคัดย่อภาษาอังกฤษ.....	จ
กิตติกรรมประกาศ.....	ฉ
สารบัญ.....	ช
สารบัญตาราง.....	ฅ
สารบัญภาพ.....	ฐ
บทที่	
1. บทนำ	
ความเป็นมาและความสำคัญของปัญหา.....	1
วัตถุประสงค์ของการวิจัย.....	2
คำถามของการวิจัย.....	2
สมมติฐานการวิจัย.....	2
กรอบแนวความคิดในการวิจัย.....	3
ขอบเขตของการวิจัย.....	3
ข้อตกลงเบื้องต้น.....	3
ข้อจำกัดการวิจัย.....	4
คำสำคัญ.....	4
ประโยชน์ที่คาดว่าจะได้รับ.....	4
การออกแบบการวิจัย.....	4
2. เอกสารและงานวิจัยที่เกี่ยวข้อง	
พอลิเมอร์.....	5
วัสดุพอลิเมอร์ที่ใช้ในการทำซีฟันเทียม.....	9
กระบวนการผลิตซีฟันเทียม.....	14
วิธีทดสอบความแข็ง.....	15
วิธีทดสอบการยึดติดกับฐานฟันเทียม.....	18
3. วิธีดำเนินการวิจัย	
กลุ่มตัวอย่าง.....	20

เครื่องมือที่ใช้ในการวิจัย.....	20
วิธีการวิจัย.....	24
การวิเคราะห์ผลการทดสอบโดยวิธีทางสถิติ.....	33
4. ผลการวิเคราะห์ข้อมูล.....	35
5. อภิปรายผล สรุปผลการวิจัย และข้อเสนอแนะ.....	45
รายการอ้างอิง.....	54
ภาคผนวก.....	61
ประวัติผู้เขียนวิทยานิพนธ์.....	89



ศูนย์วิทยทรัพยากร  
จุฬาลงกรณ์มหาวิทยาลัย



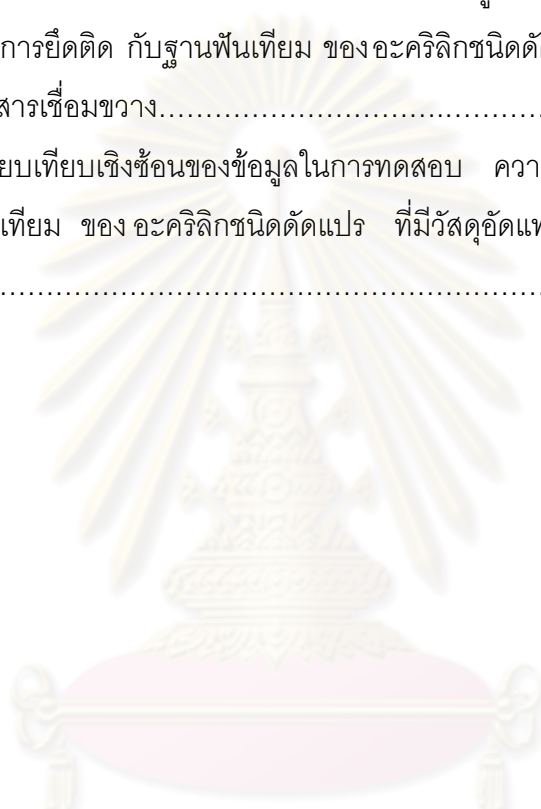
## สารบัญตาราง

	หน้า
ตารางที่ 1	กลุ่มชี้พื้นเทียมสำเร็จรูปและอะคริลิกชนิดบ่มด้วยความร้อน..... 24
ตารางที่ 2	กลุ่มอะคริลิกชนิดดัดแปรที่มีวัสดุอัดแทรก..... 24
ตารางที่ 3	กลุ่มอะคริลิกชนิดดัดแปรที่มีวัสดุอัดแทรกร่วมกับสารเชื่อมขวาง..... 25
ตารางที่ 4	ปริมาณของส่วนผง ส่วนน้ำของอะคริลิกและวัสดุอัดแทรก..... 27
ตารางที่ 5	ปริมาณของส่วนผง ส่วนน้ำของอะคริลิก วัสดุอัดแทรกและสารเชื่อมขวาง..... 27
ตารางที่ 6	ข้อมูลจากการทดสอบความแข็งผิวเรียงจากค่าน้อยไปมาก..... 35
ตารางที่ 7	ข้อมูลจากการทดสอบ ความแข็งแรงการยึดติดกับฐานพื้นเทียม เรียงจากน้อยไปมาก..... 36
ตารางที่ 8	ผลการวิเคราะห์ความ แข็งผิวและการยึดติดกับฐานพื้นเทียมของชี้พื้นเทียมสำเร็จรูปและอะคริลิกชนิดบ่มด้วยความร้อน..... 37
ตารางที่ 9	ผลการวิเคราะห์ความ แข็งผิวและการยึดติดกับฐานพื้นเทียมของ อะคริลิกชนิดดัดแปรที่มีวัสดุอัดแทรก..... 39
ตารางที่ 10	ผลการวิเคราะห์ความ แข็งผิวและการยึดติดกับฐานพื้นเทียมของ อะคริลิกชนิดดัดแปรที่มีวัสดุอัดแทรกร่วมกับสารเชื่อมขวาง..... 42
ตารางที่ 11	ผลค่าความแข็งผิวจากการศึกษานำร่อง..... 61
ตารางที่ 12	ค่าสถิติเชิงพรรณนาของข้อมูลในการทดสอบความแข็ง ของชี้พื้นเทียมสำเร็จรูปและอะคริลิกชนิดบ่มด้วยความร้อน..... 62
ตารางที่ 13	การทดสอบการกระจายตัวของข้อมูลในการทดสอบความแข็ง ของชี้พื้นเทียมสำเร็จรูปและอะคริลิกชนิดบ่มด้วยความร้อน..... 62
ตารางที่ 14	การทดสอบความเท่ากันของความแปรปรวนของข้อมูลแต่ละกลุ่มในการทดสอบความแข็ง ของชี้พื้นเทียมสำเร็จรูปและอะคริลิกชนิดบ่มด้วยความร้อน..... 64
ตารางที่ 15	การวิเคราะห์ความแปรปรวนแบบทางเดียวของข้อมูลในการทดสอบความแข็ง ของชี้พื้นเทียมสำเร็จรูปและอะคริลิกชนิดบ่มด้วยความร้อน..... 64
ตารางที่ 16	การเปรียบเทียบเชิงซ้อนของข้อมูลในการทดสอบความแข็ง ของชี้พื้นเทียมสำเร็จรูปและอะคริลิกชนิดบ่มด้วยความร้อน..... 65

ตารางที่ 17	ค่าสถิติเชิงพรรณนาของข้อมูลในการทดสอบความแข็งของอะคริลิกชนิดดัดแปรที่มีวัสดุอัดแทรก.....	66
ตารางที่ 18	การทดสอบการกระจายตัวของข้อมูลของข้อมูลแต่ละกลุ่มในการทดสอบความแข็งของอะคริลิกชนิดดัดแปรที่มีวัสดุอัดแทรก.....	66
ตารางที่ 19	การทดสอบความเท่ากันของความแปรปรวนของข้อมูลแต่ละกลุ่มในการทดสอบความแข็งของอะคริลิกชนิดดัดแปรที่มีวัสดุอัดแทรก.....	68
ตารางที่ 20	การวิเคราะห์ความแปรปรวนแบบทางเดียวของข้อมูลในการทดสอบความแข็งของอะคริลิกชนิดดัดแปรที่มีวัสดุอัดแทรก.....	68
ตารางที่ 21	การเปรียบเทียบเชิงซ้อนของข้อมูลในการทดสอบความแข็งของอะคริลิกชนิดดัดแปรที่มีวัสดุอัดแทรก.....	68
ตารางที่ 22	ค่าสถิติเชิงพรรณนาของข้อมูลในการทดสอบความแข็งของอะคริลิกชนิดดัดแปรที่มีวัสดุอัดแทรกร่วมกับสารเชื่อมขวาง.....	70
ตารางที่ 23	การทดสอบการกระจายตัวของข้อมูลของข้อมูลแต่ละกลุ่มในการทดสอบความแข็งของอะคริลิกชนิดดัดแปรที่มีวัสดุอัดแทรกร่วมกับสารเชื่อมขวาง.....	70
ตารางที่ 24	การทดสอบความเท่ากันของความแปรปรวนของข้อมูลแต่ละกลุ่มในการทดสอบความแข็งของอะคริลิกชนิดดัดแปรที่มีวัสดุอัดแทรกร่วมกับสารเชื่อมขวาง.....	71
ตารางที่ 25	การวิเคราะห์ความแปรปรวนแบบทางเดียวของข้อมูลในการทดสอบความแข็งของอะคริลิกชนิดดัดแปรที่มีวัสดุอัดแทรกร่วมกับสารเชื่อมขวาง.....	72
ตารางที่ 26	การเปรียบเทียบเชิงซ้อนของข้อมูลในการทดสอบความแข็งของอะคริลิกชนิดดัดแปรที่มีวัสดุอัดแทรกร่วมกับสารเชื่อมขวาง.....	72
ตารางที่ 27	ค่าสถิติเชิงพรรณนาของข้อมูลในการทดสอบความแข็งแรงการยึดติดกับฐานพื้นเทียม ของ ซี่ฟันเทียมสำเร็จรูปและอะคริลิกชนิดบ่มด้วยความร้อน.....	74
ตารางที่ 28	การทดสอบการกระจายตัวของข้อมูลในการทดสอบความแข็งแรงการยึดติดกับฐานพื้นเทียม ของ ซี่ฟันเทียมสำเร็จรูปและอะคริลิกชนิดบ่มด้วยความร้อน.....	74

ตารางที่ 29	การทดสอบความเท่ากันของความแปรปรวนของข้อมูลแต่ละกลุ่มในการทดสอบ ความแข็งแกร่งการยึดติด กับฐานพื้นเทียม ของของซีพื้นเทียมสำเร็จรูปและอะคริลิกชนิดบ่มด้วยความร้อน.....	76
ตารางที่ 30	การวิเคราะห์ความแปรปรวนแบบทางเดียวของข้อมูลในการทดสอบ ความแข็งแกร่งการยึดติดกับฐานพื้นเทียมของของซีพื้นเทียมสำเร็จรูปและอะคริลิกชนิดบ่มด้วยความร้อน.....	76
ตารางที่ 31	การเปรียบเทียบเชิงซ้อนของข้อมูลในการทดสอบ ความแข็งแกร่งการยึดติด กับฐานพื้นเทียม ของของซีพื้นเทียมสำเร็จรูปและอะคริลิกชนิดบ่มด้วยความร้อน.....	77
ตารางที่ 32	ค่าสถิติเชิงพรรณนาของข้อมูลในการทดสอบความแข็งแกร่งการยึดติดกับฐานพื้นเทียมของอะคริลิกชนิดดัดแปรที่มีวัสดุอัดแทรก.....	78
ตารางที่ 33	การทดสอบการกระจายตัวของข้อมูลในการทดสอบ ความแข็งแกร่งการยึดติด กับฐานพื้นเทียมของอะคริลิกชนิดดัดแปรที่มีวัสดุอัดแทรก.....	78
ตารางที่ 34	การทดสอบความเท่ากันของความแปรปรวนของข้อมูลแต่ละกลุ่มในการทดสอบความแข็งแกร่งการยึดติดกับฐานพื้นเทียมของอะคริลิกชนิดดัดแปรที่มีวัสดุอัดแทรก.....	80
ตารางที่ 35	การวิเคราะห์ความแปรปรวนแบบทางเดียวของข้อมูลในการทดสอบ ความแข็งแกร่งการยึดติด กับฐานพื้นเทียม ของ อะคริลิกชนิดดัดแปร ที่มีวัสดุอัดแทรก.....	80
ตารางที่ 36	การเปรียบเทียบเชิงซ้อนของข้อมูลในการทดสอบความแข็งแกร่งการยึดติดกับฐานพื้นเทียมของอะคริลิกชนิดดัดแปรที่มีวัสดุอัดแทรก.....	80
ตารางที่ 37	ค่าสถิติเชิงพรรณนาของข้อมูลในการทดสอบความแข็งแกร่งการยึดติดกับฐานพื้นเทียมของอะคริลิกชนิดดัดแปรที่มีวัสดุอัดแทรกพร้อมกับสารเชื่อมขวาง.....	82
ตารางที่ 38	การทดสอบการกระจายตัวของข้อมูลในการทดสอบ ความแข็งแกร่งการยึดติด กับฐานพื้นเทียม ของ อะคริลิกชนิดดัดแปร ที่มีวัสดุอัดแทรกพร้อมกับสารเชื่อมขวาง.....	83

<p>ตารางที่ 39</p>	<p>การทดสอบความเท่ากันของความแปรปรวนของข้อมูลแต่ละกลุ่มในการทดสอบ ความแข็งแกร่งการยึดติด กับฐานพื้นเทียม ของอะคริลิกชนิดดัดแปร ที่มีวัสดุอัดแทรกพร้อมกับสารเชื่อมขวาง.....</p>	<p>84</p>
<p>ตารางที่ 40</p>	<p>การวิเคราะห์ความแปรปรวนแบบทางเดียวของข้อมูลในการทดสอบ ความแข็งแกร่งการยึดติด กับฐานพื้นเทียม ของอะคริลิกชนิดดัดแปร ที่มีวัสดุอัดแทรกพร้อมกับสารเชื่อมขวาง.....</p>	<p>85</p>
<p>ตารางที่ 41</p>	<p>การเปรียบเทียบเชิงซ้อนของข้อมูลในการทดสอบ ความแข็งแกร่งการยึดติด กับฐานพื้นเทียม ของ อะคริลิกชนิดดัดแปร ที่มีวัสดุอัดแทรกพร้อมกับสารเชื่อมขวาง.....</p>	<p>86</p>



ศูนย์วิทยทรัพยากร  
จุฬาลงกรณ์มหาวิทยาลัย

## สารบัญภาพ

	หน้า
ภาพที่ 1 โครงสร้างพอลิเมทิลเมทาคริเลต.....	7
ภาพที่ 2 โครงสร้างอย่างง่ายของสารคู่ควบไซเลน.....	11
ภาพที่ 3 ขั้นตอนการปรับสภาพผิวด้วยไซเลนของบริษัท Shin-Etsu.....	13
ภาพที่ 4 การเกิดปฏิกิริยาของสารไซเลนบนวัสดุอัดแทรกซิลิกา.....	13
ภาพที่ 5 แม่พิมพ์พื้นอะคริลิกเทอร์โมพลาสติก.....	14
ภาพที่ 6 การทดสอบความแข็งวิกเกอร์ส.....	16
ภาพที่ 7 ซีพื่นเทียมอะคริลิกเทอร์โมพลาสติก เมเจอร์เดนทท์และออร์โทลักซ์ทีอป.....	21
ภาพที่ 8 โครงสร้างวัสดุอัดแทรกแก้วแบบเรียบบอโรซิลิเกต.....	21
ภาพที่ 9 โครงสร้างสารคู่ควบไซเลนเกมม่าเอ็มพีเอส.....	22
ภาพที่ 10 โครงสร้างสารเชื่อมขวางเอทีลินไกลคอลไดเมทาคริเลท.....	22
ภาพที่ 11 อะคริลิกและสารเคมีที่ใช้ในการวิจัย .....	23
ภาพที่ 12 การลงพลาสติกแม่แบบโลหะไร้สนิมรูปทรงกระบอก.....	26
ภาพที่ 13 การอัดอะคริลิกชนิดดัดแปรเป็นรูปทรงกระบอก.....	26
ภาพที่ 14 ชิ้นตัวอย่างอะคริลิกชนิดดัดแปรรูปทรงกระบอก.....	27
ภาพที่ 15 ซีพื่นเทียมที่เตรียมสำหรับทดสอบความแข็งวิกเกอร์ส .....	28
ภาพที่ 16 รอยกดความแข็งวิกเกอร์ส.....	28
ภาพที่ 17 ซีพื่นเทียมที่เตรียมสำหรับการทดสอบการยึดติดกับวัสดุฐานพื้นเทียม .....	29
ภาพที่ 18 การเตรียมแม่แบบปูนปลาสเตอร์หินรูปทรงกระบอก.....	30
ภาพที่ 19 การเตรียมชิ้นทดสอบความแข็งแรงการยึดติด .....	31
ภาพที่ 20 ชิ้นทดสอบความแข็งแรงการยึดติดกึ่งเป็นรูปดัมเบลล์.....	31
ภาพที่ 21 แผนภูมิแสดงการเตรียมชิ้นงานรูปดัมเบล.....	31
ภาพที่ 22 การเตรียมชิ้นงานรูปดัมเบล.....	32
ภาพที่ 23 ที่จับชิ้นงานการทดสอบความแข็งแรงยึดติดแบบตั้ง.....	32
ภาพที่ 24 แผนภูมิแท่งแสดงค่าความแข็งผิวของซีพื่นเทียมสำเร็จรูปและอะคริลิกชนิดปมด้วย ความร้อน.....	38

ภาพที่ 25 แผนภูมิแท่งแสดงค่าความแข็งแรงยึดติดกับฐานพื้นเทียมของซี่ฟันเทียมสำเร็จรูป และอะคริลิกชนิดบ่มด้วยความร้อน.....	38
ภาพที่ 26 แผนภูมิแท่งแสดงค่าความแข็งแรงผิวของอะคริลิกชนิดดัดแปรที่มีวัสดุอัดแทรก.....	40
ภาพที่ 27 แผนภูมิแท่งแสดงค่าความแข็งแรงยึดติดกับฐานพื้นเทียมของอะคริลิกชนิดดัดแปรที่มี วัสดุอัดแทรก.....	40
ภาพที่ 28 แผนภูมิแท่งแสดงค่าความแข็งแรงผิวของอะคริลิกชนิดดัดแปรที่มีวัสดุอัดแทรกร่วมกับ สารเชื่อมขวาง.....	43
ภาพที่ 29 แผนภูมิแท่งแสดงค่าความแข็งแรงยึดติดกับฐานพื้นเทียมของอะคริลิกชนิดดัดแปรที่มี วัสดุอัดแทรกร่วมกับสารเชื่อมขวาง.....	43
ภาพที่ 30 ภาพจากกล้องจุลทรรศน์อิเล็กตรอนชนิดส่องกราดแสดงลักษณะของส่วนผง.....	46
ภาพที่ 31 ภาพจากกล้องจุลทรรศน์อิเล็กตรอนชนิดส่องกราดแสดงลักษณะของ อะคริลิก ชนิดดัดแปร.....	48

## บทที่ 1

### บทนำ

#### ความสำคัญและที่มาของปัญหาการวิจัย

ปัจจุบันซี่ฟันเทียมสำเร็จรูปที่ใช้ในงานผู้ป่วยทันตกรรมประดิษฐ์มีจำหน่าย หลากหลายยี่ห้อ ต้องใช้งบประมาณในการสั่งซื้อและ นำเข้าจากต่างประเทศ ในแต่ละปีจำนวนมาก และผู้ป่วยสูงอายุ ส่วนมาก ยังมีความจำเป็นในการ ใส่ฟันเทียม ทดแทนฟันธรรมชาติที่สูญเสียไป โดยเฉพาะอย่างยิ่ง ผู้ป่วยสันเหงือกกว้างทั้งปากที่อยู่ในพื้นที่ห่างไกล ได้รับโอกาสในการ เข้ารับการรักษาได้น้อย จึงต้องมีการออกหน่วยทันตกรรมเคลื่อนที่ นอกจากนี้โครงการฟันเทียมพระราชทาน ยังต้องการซี่ฟันเทียมที่มีคุณภาพใช้งานได้ดี ในราคาที่ย่อมเยา และช่วยลดการนำเข้า สามารถผลิตได้เองภายในประเทศ และเหมาะสมกับผู้สูงอายุชาวไทย

การวิจัยในครั้งนี้ได้ทำต้นแบบสำหรับผลิตซี่ฟันเทียมเพื่อใช้ในงานออกหน่วยทันตกรรม เป็นซี่ฟันหลังล่างติดกันเป็นชุด เพื่อความสะดวกรวดเร็วในการเรียงฟัน รูปแบบการสบฟันเป็นการสบฟันแบบระนาบเดียว (monoplane occlusion) เนื่องจากสามารถสร้างการ สบฟันได้ง่ายในผู้ป่วยที่มีความสัมพันธ์ของขากรรไกรรูปแบบต่าง ๆ ช่วยเพิ่มความสะดวกในการแก้การสบฟัน สามารถใช้ในผู้ป่วยที่ไม่สามารถกลับมา ตรวจติดตามผลการรักษา ได้[1] ทำจากพอลิเมทิลเมทาคริเลต (polymethylmethacrylate, PMMA) ชนิดเทอร์โมพลาสติก เนื่องจาก พอลิเมทิลเมทาคริเลตมีสมบัติทางกายภาพที่เหมาะสม ในการใช้ผลิตซี่ฟันเทียม ไม่เป็นพิษ และไม่ละลายในของเหลวภายในช่องปาก มีสมบัติทางกลได้แก่ ความแข็งแรงกด (76 เมกะปาสคาล) การต้านทานต่อการขีดสี มอดุลัสของสภาพยืดหยุ่น (2,700 เมกะปาสคาล) และความแข็งนูน (18-20 กิโลกรัมต่อตารางมิลลิเมตร) เมื่อเปรียบเทียบกับวัสดุบูรณะอื่น ๆ รวมทั้งเคลือบฟันและเนื้อฟันยังมีค่าต่ำ[2]

การวิจัยนี้จึงต้องการปรับปรุงสมบัติของพอลิเมทิลเมทาคริเลตให้มีความแข็งแรงสูงขึ้น และยังสามารถยึดติดกับฐานฟันเทียมได้ดีเพื่อนำไปใช้เป็นวัสดุทำซี่ฟันเทียมที่มีสมบัติดีขึ้น

โดยแบ่งเป็น 3 ตอน คือ

ตอนที่ 1 เปรียบเทียบฟันอะคริลิกชนิดดั้งเดิม ได้แก่ ฟันอะคริลิก ทางการค้าคือเมเจอร์เดนท และออร์โทลักซ์ท็อป ฟันอะคริลิกเทอร์โมพลาสติก อะคริลิกสีเหมือนฟันชนิดบ่มด้วยความร้อนและอะคริลิกใสชนิดบ่มด้วยความร้อน

ตอนที่ 2 เปรียบเทียบอะคริลิกชนิดดัดแปรด้วยการเติมวัสดุอัดแทรกต่าง ๆ ในอะคริลิกใสชนิดบ่มด้วยความร้อนเพื่อปรับปรุงเป็นชั้นเคลือบฟัน โดยวัสดุอัดแทรกที่ใช้เป็นกลุ่มที่มี

ซีลิกอนไดออกไซด์เป็นส่วนประกอบหลัก เนื่องจาก เป็นวัสดุอัดแท่งที่นิยมใช้เป็นสารเสริมความแข็งแรงในซีพินเทียม [3]

ตอนที่ 3 เปรียบเทียบอะคริลิกชนิดดัดแปรด้วยการเติมวัสดุอัดแท่งร่วมกับสารเชื่อมขวางในอะคริลิกไซชนิดบ่มด้วยความร้อน โดยนำผลจากการศึกษาตอนที่ 2 เลือกกลุ่มที่มีวัสดุอัดแท่งที่เพิ่มความแข็งแรงวิกเกอร์สได้สูงสุดมาเติมสารเชื่อมขวางเพิ่ม คือ เอทิลีนไกลคอลไดเมทาคริเลต ซึ่งใช้เป็นสารเชื่อมขวางในเครือข่ายไอพีเอ็น [4, 5]

### วัตถุประสงค์ของการวิจัย

1. เพื่อศึกษาความแข็งแรงและการยึดติดกับฐานฟันเทียมของซีพินเทียมสำเร็จรูปและอะคริลิกชนิดบ่มด้วยความร้อนที่ต้องการนำมาปรับปรุงสมบัติ
2. เพื่อศึกษาสัดส่วน ชนิดของวัสดุอัดแท่งและปริมาณของสารเชื่อมขวางที่สามารถปรับปรุงสมบัติความแข็งแรงและการยึดติดกับฐานฟันเทียมของอะคริลิกไซชนิดบ่มด้วยความร้อน สำหรับใช้เป็นวัสดุทำซีพินเทียม

### คำถามของการวิจัย

1. อะคริลิกชนิดบ่มด้วยความร้อนมีค่าความแข็งแรงและการยึดติดกับฐานฟันเทียมเทียบเคียงกับซีพินเทียมสำเร็จรูปหรือไม่
2. การเติมวัสดุอัดแท่งในอะคริลิกชนิดบ่มด้วยความร้อนมีผลต่อความแข็งแรงและการยึดติดกับฐานฟันเทียมหรือไม่
3. การเติมวัสดุอัดแท่งร่วมกับสารเชื่อมขวางในอะคริลิกชนิดบ่มด้วยความร้อนมีผลต่อความแข็งแรงและการยึดติดกับฐานฟันเทียมหรือไม่

### สมมติฐานการวิจัย

#### สมมติฐานที่ 1

สมมติฐานว่าง = อะคริลิกชนิดบ่มด้วยความร้อนกับซีพินเทียมทางการค้ามี ค่าความแข็งแรงและการยึดติดกับฐานฟันเทียมไม่แตกต่างกัน

สมมติฐานแย้ง = อะคริลิกชนิดบ่มด้วยความร้อนกับซีพินเทียมทางการค้ามี ค่าความแข็งแรงและการยึดติดกับฐานฟันเทียมแตกต่างกันอย่างน้อย 1 คู่



### สมมติฐานที่ 2

สมมติฐานว่าง = อะคริลิกชนิดบ่มด้วยความร้อนกับอะคริลิกชนิดบ่มด้วยความร้อนที่เติมวัสดุอัดแทรกมีค่าความแข็งแรงและการยึดติดกับฐานฟันเทียมไม่แตกต่างกัน

สมมติฐานแย้ง = อะคริลิกชนิดบ่มด้วยความร้อนกับอะคริลิกชนิดบ่มด้วยความร้อนที่เติมวัสดุอัดแทรกมีค่าความแข็งแรงและการยึดติดกับฐานฟันเทียมแตกต่างกันอย่างน้อย 1 คู่

### สมมติฐานที่ 3

สมมติฐานว่าง = อะคริลิกชนิดบ่มด้วยความร้อนกับอะคริลิกชนิดบ่มด้วยความร้อนที่เติมวัสดุอัดแทรกและสารเชื่อมขวางมีค่าความแข็งแรงและการยึดติดกับฐานฟันเทียมไม่แตกต่างกัน

สมมติฐานแย้ง = อะคริลิกชนิดบ่มด้วยความร้อนกับอะคริลิกชนิดบ่มด้วยความร้อนที่เติมวัสดุอัดแทรกและสารเชื่อมขวางมีค่าความแข็งแรงและการยึดติดกับฐานฟันเทียมแตกต่างกันอย่างน้อย 1 คู่

### กรอบแนวคิดในการวิจัย



### ขอบเขตของการวิจัย

ซีฟันเทียมทางการค้าในการศึกษานี้ใช้เป็นข้อมูลพื้นฐานในการพัฒนาวัสดุเท่านั้น

### ข้อตกลงเบื้องต้น

การทดลองดำเนินการโดยผู้ทำการทดลอง 1 คนและใช้อุปกรณ์เดียวกันตลอดการทดลอง

## ข้อจำกัดการวิจัย

1. การวิจัยนี้เป็นการทดลองในห้องปฏิบัติการ จึงไม่สามารถเปรียบเทียบกับในสภาพช่องปากจริง การนำมาใช้ทางคลินิกจึงควรมีการศึกษาเพิ่มเติมต่อไป
2. การปรับสภาพผิววัสดุอุดแทรกซึลิกาด้วยสารคู่ควบไซเลนโดยผู้วิจัยทำเองในห้องปฏิบัติการ จึงอาจแตกต่างจากวัสดุอุดแทรกแก้วที่ปรับสภาพผิวแล้วจากบริษัทผู้ผลิต

## คำสำคัญ

Artificial teeth	ซี่ฟันเทียม
Surface hardness	ความแข็งผิว
Tensile bond strength	ความแข็งแรงการยึดติดแบบดึง
Mode of failure	รูปแบบการแตกหัก
Polymethylmethacrylate	พอลิเมทิลเมทาคริเลต
Filler	วัสดุอุดแทรก
Cross-linking agent	สารเชื่อมขวาง

## ประโยชน์ที่คาดว่าจะได้รับ

1. ได้วัสดุในการทำซี่ฟันเทียม ที่มีสมบัติ ความแข็ง ผิวสูง และ ยึดติด กับฐานฟันเทียมได้ ดี เทียบเคียงได้กับซี่ฟันเทียมทางการค้า
2. นำสูตรไปพัฒนาวัสดุในการผลิตซี่ ฟันเทียม ให้มีประสิทธิภาพที่ดีต่อไป ลดการนำเข้าซี่ฟันเทียมจากต่างประเทศ ช่วยให้ประหยัดงบประมาณ

## การออกแบบการวิจัย

การวิจัยเชิงทดลองในห้องปฏิบัติการ (laboratory experimental research)

## บทที่ 2

### เอกสารและงานวิจัยที่เกี่ยวข้อง

#### พอลิเมอร์

พอลิเมอร์เป็นศัพท์ที่มาจากภาษากรีก พอลิ (poly) แปลว่า มาก ส่วน เมอร์ (mer) แปลว่า ส่วนหรือหน่วย ดังนั้น พอลิเมอร์จึงหมายถึงสารที่มีน้ำหนักโมเลกุลสูง ประกอบด้วยหน่วยย่อย ๆ ที่เรียกว่า เมอร์ หรือหน่วยซ้ำ ต่อซ้ำ ๆ กัน [6, 7]

พอลิเมอร์ที่มีความสำคัญทางการค้าส่วนใหญ่เป็นสารอินทรีย์ มีทั้งที่เกิดในธรรมชาติ ได้แก่ พอลิแซคคาไรด์ โปรตีน เส้นใยธรรมชาติ กาวธรรมชาติและยางธรรมชาติ เป็นต้น ส่วนที่ได้จากการสังเคราะห์ ได้แก่ พลาสติก ยางสังเคราะห์ เส้นใยสังเคราะห์ กาว และสี เป็นต้น มีพอลิเมอร์ อีกหลายชนิดที่เป็นสารอนินทรีย์ หรืออาจประกอบด้วยส่วนผสมของสารอินทรีย์และสารอนินทรีย์

พอลิเมอร์อาจแบ่งตามลักษณะการใช้งานเป็น 4 กลุ่มใหญ่ ๆ [6] ดังนี้

1. อีลาสโตเมอร์หรือยาง (elastomers/rubbers)
2. พลาสติก (plastics)
3. เส้นใย (fibers)
4. สารเคลือบผิว (surface coating)

พอลิเมอร์แบบเส้นและแบบร่างแหจะมีพฤติกรรมแตกต่างกันเมื่อได้รับความร้อนและ /หรือ ความดัน จึงสามารถแบ่งพอลิเมอร์เป็น 2 ประเภท คือ เทอร์โมเซตและเทอร์โมพลาสติก [8]

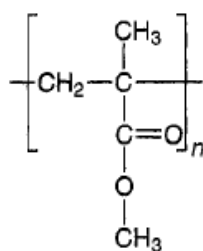
**เทอร์โมเซต (thermosets)** พลาสติกประเภทนี้ มีโครงสร้างเป็นแบบเชื่อมขวางหรือแบบร่างแหที่หนาแน่น ซึ่งเป็นโครงสร้างที่มีเสถียรภาพมาก ทนทานต่อการเปลี่ยนแปลงอุณหภูมิและทนปฏิกิริยาเคมีได้ดี เกิดคราบและรอยเปื้อนได้ยาก คงรูปหลังการผ่านความร้อนหรือแรงดันเพียงครั้งเดียว เมื่อเย็นลงจะแข็งมาก ทนความร้อนและความดัน ไม่อ่อนตัวและเปลี่ยนรูปร่างไม่ได้ แต่ถ้าอุณหภูมิสูงก็จะแตกและไหม้เป็นขี้เถ้าสีดำ พลาสติกประเภทนี้โมเลกุลจะเชื่อมโยงกันเป็นร่างแห แรงยึดเหนี่ยวระหว่างโมเลกุลแข็งแรงมาก จึงไม่สามารถนำมาหลอมเหลวได้ คือ เกิดการเชื่อมขวางต่อข้ามไปมาระหว่างสายโซ่ของโมเลกุลของพอลิเมอร์ หลังจากพลาสติกเย็นจนแข็งตัวแล้ว ไม่สามารถทำให้ อ่อนได้อีกโดยใช้ความร้อน แต่จะสลายตัวที่อุณหภูมิสูง การทำพลาสติกชนิดนี้ให้เป็นรูปลักษณะต่าง ๆ ต้องใช้ความร้อนสูง และส่วนมากต้องการแรงอัดด้วย เทอร์โมเซตติงพลาสติก ได้แก่ เมลามีน ฟอรัมาลดีไฮด์ (melamine formaldehyde) , ฟีนอลฟอรัมาลดีไฮด์ อีพ็อกซี (epoxy), โพลีเอสเตอร์ (polyester), ยูรีเทน (urethane), โพลียูรีเทน (polyurethane) [8]

**เทอร์โมพลาสติก (thermoplastic)** พอลิเมอร์ประเภทนี้จะมีโครงสร้างแบบเส้นหรือแบบกิ่งสั้น ๆ สามารถละลายได้ในตัวทำละลายบางชนิด เมื่อได้รับความร้อนจะอ่อนตัว และหลอมเหลวเป็นของเหลวหนืดที่อุณหภูมิสูง ๆ และเมื่อเย็นลงก็จะแข็งตัวได้อีก ซึ่งการหลอมเหลวและการเย็นตัวนี้ สามารถเกิดซ้ำไปซ้ำมาได้โดยไม่ทำให้สมบัติทางเคมีและทางกายภาพเปลี่ยนไป คือ โครงสร้างของ พอลิเมอร์ไม่เปลี่ยนไป โดยที่โมเลกุลของ พอลิเมอร์สามารถเคลื่อนที่ผ่านซึ่งกันและกันเมื่อได้รับความร้อน ทั้งนี้ เพราะมีเพียงพันธะทุติยภูมิระหว่างโมเลกุลของพอลิเมอร์เท่านั้น ซึ่งความร้อนและความเครียดเฉือน จะสามารถไปทำลายพันธะทุติยภูมิระหว่างโมเลกุลเหล่านี้ได้ อุณหภูมิยิ่งสูงก็ยิ่งเร่งให้เกิดการไหลได้มากขึ้น และลดผลของพันธะทุติยภูมิให้น้อยลง ในทางกลับกัน เมื่อพอลิเมอร์เย็นลงอัตราการไหลจะลดลงจนเกิดการแข็งตัวอีกครั้งหนึ่ง ชนิดของพลาสติกใน ตระกูลเทอร์โมพลาสติก [8] เช่น พอลิเอทิลีน (polyethylene: PE), พอลิโพรพิลีน (polypropylene: PP), พอลิสไตรีน (polystyrene: PS), พอลิไวนิลคลอไรด์ (polyvinylchloride: PVC), ไนลอน (nylon), พอลิคาร์บอเนต (polycarbonate: PC), พอลิเมทิลเมทาคริเลต (polymethyl methacrylate : PMMA)

**พอลิเมทิลเมทาคริเลต (polymethyl methacrylate : PMMA)** สูตรเคมีของพลาสติกชนิดนี้คือ  $C_5H_8O_2$  มีชื่อทางการค้าหลายชื่อด้วยกัน เช่น Plexiglas, Lucite, Perspex เป็นต้น พลาสติกชนิดนี้ถูกนำมาประยุกต์ใช้ในงานหลายอย่าง เช่น กระจกใสบนเครื่องบิน บ้ายโฆษณา กระจกตู้ปลา วัสดุทางการแพทย์ เป็นต้น เนื่องจากวัสดุนี้มีสมบัติเด่นในเรื่องความเหนียว (toughness) ความโปร่งใส (transparent) สามารถขึ้นรูปได้ง่าย และมีความหนาแน่นต่ำซึ่งเป็นสมบัติประจำตัวของวัสดุประเภทพลาสติก ทนแสงอุลตราไวโอเลตได้ดี เป็นฉนวนไฟฟ้า อะคริลิกพลาสติกจึงเป็นวัสดุชนิดหนึ่งที่นิยมนำมาใช้แทนแก้วในงานหลายอย่าง อะคริลิกยังทำเป็นสีต่าง ๆ ได้ ทั้งชนิดใส ฝ้า และทึบแสง[7, 9]

สมบัติของพอลิเมทิลเมทาคริเลต [2, 10]

1. ความแข็งแรงกด	76	เมกะปาสคาล
2. ความแข็งแรงดึง	60	เมกะปาสคาล
3. มอดุลัสของสภาพยืดหยุ่น	2,400-2,700	เมกะปาสคาล
4. ความแข็งรูป	18-20	กิโลกรัมฟอร์ซต่อตารางมิลลิเมตร



ภาพที่ 1 โครงสร้างพอลิเมทิลเมทาคริเลต

**เทอร์โมพลาสติก** ยังอาจแบ่งเป็น 2 กลุ่ม คือ

1. **เทอร์โมพลาสติกอสัญฐาน** (amorphous or noncrystalline thermoplastic) ซึ่งมีสมบัติแข็งและเปราะ ได้แก่ PMMA, PS, PVC, และ ABS เป็นต้น
2. **เทอร์โมพลาสติกกึ่งผลึก** (semicrystalline thermoplastic) ซึ่งมีโครงสร้างโมเลกุลที่สม่ำเสมอ ทำให้มีการจัดเรียงตัวที่ดี สามารถเกิดผลึกได้บ้างบางส่วน จึงมีลักษณะที่อ่อนตัวและเหนียวพอสมควร ได้แก่ PE, PP, Nylon เป็นต้น

พลาสติกชนิดเทอร์โมพลาสติกนั้นสามารถนำมา ขึ้นรูปด้วยวิธีต่าง ๆ ได้ดังนี้ [7, 11]

1. **วิธีรีด (extrusion)** วิธีนี้จะนำเม็ดพลาสติกใส่ลงไปเครื่องเอ็กซ์ทรูเดอร์ที่จะหลอมพลาสติกจนเหลวด้วยความร้อน จากนั้นจะบีบผ่านหัวฉีดที่มีรูปทรงตามผลิตภัณฑ์ที่ต้องการ
2. **วิธีเป่า (blow moulding)** เป็นการขึ้นแบบโดยการเป่า การขึ้นรูปชนิดนี้จะทำได้โดยใช้พลาสติกที่หลอมเหลวแล้วฉีดลงไป ในแผ่นแม่พิมพ์ จากนั้นเป่าลมเข้าไปในแม่พิมพ์ซึ่งพลาสติกจะกระจายไปกระทบผนังแม่พิมพ์ที่ เย็นและจะแข็งตัวเป็นรูปร่างตามต้องการ วิธีการขึ้นรูปนี้มักใช้ขึ้นรูปผลิตภัณฑ์ประเภทขวด กระจกโป่งและของเล่น
3. **วิธีฉีด (injection moulding)** เป็นการขึ้นรูปโดยทำให้พลาสติกหลอมเหลวในห้องที่คล้ายกับเครื่องเอ็กซ์ทรูเดอร์ และฉีดเข้าไปในแม่พิมพ์เหล็กที่เย็น ซึ่งพลาสติกก็จะแข็งตัวตามรูปทรงในแม่พิมพ์ตามต้องการ

ส่วนพลาสติกชนิดเทอร์โม เซตหรือเทอร์โมพลาสติก ที่สามารถเกิดการเชื่อมขวางได้ ขึ้นรูปด้วยวิธีต่าง ๆ [12] เช่น

1. วิธีอัด (compression moulding)
2. วิธีการอัดส่ง (transfer moulding)
3. วิธีหล่อ (casting)
4. วิธีฉีด (injection moulding)
5. วิธีหล่อโฟม (foam moulding)

### พอลิเมอร์คอมโพสิต[13]

คอมโพสิต เป็นวัสดุที่ประกอบด้วยการรวมวัสดุมากกว่า 2 ประเภทเข้าด้วยกัน โดยทั่วไปคอมโพสิตจะมีวัสดุที่เป็นแมทริกซ์ (matrix) และวัสดุเสริมแรง (reinforcement materials) ที่กระจายตัวอยู่ในแมทริกซ์นั้น วัสดุที่เป็นแมทริกซ์ จะรองรับวัสดุเสริมแรงให้อยู่ในรูปร่างที่กำหนด ขณะที่วัสดุเสริมแรง จะช่วยเพิ่มหรือปรับปรุงสมบัติเชิงกลของแมทริกซ์ให้สูงขึ้น ซึ่งวัสดุเสริมแรงอาจมีลักษณะเป็นเส้น ก้อน อนุภาค หรือเกล็ดก็ได้ แทรกอยู่ในวัสดุเนื้อหลัก (base materials) อย่างโลหะ เซรามิก หรือพอลิเมอร์ ผลของการรวมวัสดุต่างกัน 2 ประเภทเข้าด้วยกันทำให้คอมโพสิตมีความแข็งแรง โดยรวมมากกว่าเมื่อเทียบกับความแข็งแรงของวัสดุแต่ละประเภทโดยลำพัง วัสดุคอมโพสิตแบ่งออกเป็น 3 ประเภท คือ

1. พอลิเมอร์คอมโพสิต (polymer matrix composites- PMCs)
2. เซรามิกคอมโพสิต (ceramic matrix composites- CMCs)
3. เมทัลคอมโพสิต (metal matrix composites- MMCs)

### วัสดุนาโนคอมโพสิต

วัสดุนาโนคอมโพสิตเป็นวัสดุผสมที่มีองค์ประกอบขนาดอนุภาคอยู่ในช่วง 1 ถึง 100 นาโนเมตร ปริมาณร้อยละโดยน้ำหนักของวัสดุเสริมแรงนาโนอยู่ในช่วงที่ต่ำมาก คือ น้อยกว่าร้อยละ 5 [14]

อนุภาคนาโนที่เติมเข้าไปในคอมโพสิตทำให้มีสมบัติที่ดีขึ้นกว่าตัวพอลิเมอร์เพียงอย่างเดียว ระดับของการเสริมแรงขึ้นอยู่กับสมบัติของตัววัสดุอัดแทรกและตัวแมทริกซ์ โดยเฉพาะอย่างยิ่งสมบัติของอนุภาคนาโนซึ่งมีพื้นที่ผิวที่มากกว่าเมื่อสัมผัสกับพอลิเมอร์แมทริกซ์ เป็นผลให้ วัสดุคอมโพสิตนี้มีผิวหน้าสัมผัส (interface) ที่สูงมาก เมื่อเปรียบเทียบกับวัสดุคอมโพสิตที่มีอนุภาคขนาดไมโครกับ มีอนุภาคขนาดนาโนในปริมาณร้อยละที่เท่ากัน อนุภาคนาโนนั้น จะมีพื้นที่ผิวหน้าสัมผัสที่สูง กว่ามากเมื่อเทียบกับอนุภาคที่มีขนาดใหญ่ สามารถเรียกได้ว่าเป็น Interface-dominated materials [15] หรือ Dispersion-strengthened composites การแพร่ของรอยร้าวขนาดเล็ก (crack propagation) ในวัสดุที่มีโครงสร้างต่างกันเช่นนี้ รอยร้าวจะเกิดปฏิกริยากับอนุภาคตลอดเวลาในนาโนคอมโพสิต อนุภาคนาโนจะหยุดการเคลื่อนที่ของรอยร้าว เหมือนกับว่ามีมองไม่เห็นตัวอนุภาค ต่างจากแบบที่เกิดในวัสดุที่มีอนุภาค ใหญ่ซึ่งจะหน่วงเหนี่ยวการเคลื่อนที่ของรอยร้าว อนุภาคนาโนอินทรีย์สามารถเสริมแรงให้กับแมทริกซ์พอลิเมอร์ที่เป็นเทอร์โมพลาสติกและเทอร์โมเซตได้อย่างมีประสิทธิภาพ ในการปรับปรุงสมบัติทางกลและทางไตรโบโลยี (tribology) สามารถทำได้โดยใช้ปริมาณวัสดุอัดแทรกที่ต่ำมาก คือ ร้อยละ 1 ถึง 5 การเสริมแรงนี้สามารถปรับปรุงมอดุลัสยืดหยุ่น โดยไม่สูญเสียความแข็งแรง ช่วยเพิ่มความเหนียวทนต่อการแตกหัก (fracture toughness) และการกระแทก (impact) โดยการทนความเค้นขึ้นกับปริมาณอนุภาค และที่สำคัญคือการกระจายตัว (dispersion) ของวัสดุอัดแทรก โดยไม่มีการเกาะกลุ่มหรือรวมตัวกัน การที่มีโครงสร้างที่เป็นเนื้อเดียวกัน (homogeneous microstructure) นี้ช่วยเพิ่ม

สมบัติด้านทานต่อการสึกในอีพ็อกซีนาโนคอมโพสิตที่มีอนุภาคไทเทเนียมไดออกไซด์ หรือ อะลูมินา ส่วนการแจกแจง (distribution) ขึ้นอยู่กับชนิด ขนาดของอนุภาค พื้นที่ผิวจำเพาะ (specific surface area) ปริมาณของอนุภาค และขั้นตอนการผสม [15] โดยการแจกแจงอธิบายถึงความเป็นเนื้อเดียวกัน (homogeneity) ทั้งทั้งชิ้นงาน ส่วน การกระจาย อธิบาย ถึงระดับของการเกิด การรวมกลุ่มกัน (agglomeration)[16]

**วัสดุพอลิเมอร์ที่ใช้ในการทำซีฟันเทียม** ได้แก่ เรซินอะคริลิก และ เรซิน คอมโพสิต

**เรซินอะคริลิก** แบ่งได้เป็น 2 ชนิด คือ เรซินอะคริลิก ชนิดดั้งเดิม (conventional acrylic resin) และ เรซินอะคริลิกที่มีการเชื่อมขวางสูง (highly cross-linked acrylic resin) เรซินอะคริลิก ชนิดดั้งเดิม ที่ไม่มีการเชื่อมขวาง มีความแข็งแรงและความแข็งผิว ต่ำ (16.6 ถึง 18.3 กิโลกรัม ฟอ์ชต่อตาราง มิลลิเมตร)[17] เกิดการสึกกร่อนได้ง่าย แต่สามารถปรับแต่งรูปร่างได้ง่าย ข้อดี-ข้อด้อยของฟันอะคริลิก ได้แก่ มีการสึกสูงกว่าฟันคอมโพสิต อย่างมีนัยสำคัญทางคลินิก [18, 19] มีการสูญเสียมิติในแนวตั้ง เนื่องจากการสึก ที่มีลักษณะเป็นรอยโค้งกลับ (reverse curve) ทำให้สูญเสียประสิทธิภาพในการบด เคี้ยวอาหาร มีเสียงกระทบที่เบา เกิดการปรับแต่งและขัดเงาโดยตัววัสดุเอง สามารถกรอแต่งง่าย สามารถยึดติดกับวัสดุฐาน ฟันเทียม ฟันคู่สบที่เป็นฟันธรรมชาติ เกิดการสึกได้น้อย [20] ปัจจุบันมีการ พัฒนาปรับปรุงสมบัติของซีฟันเทียมเรซินอะคริลิก โดยใช้เทคโนโลยีทางพอลิเมอร์ต่าง ๆ เพื่อให้มีการ ด้านทานต่อการสึกมากขึ้นโดยเพิ่มระดับของ การเชื่อมขวางระหว่าง พอลิเมอร์ เช่น ว่างแหพอลิเมอร์ แบบสอดไขว้(ไอพีเอ็น) (interpenetrating polymer network, IPN) และการเชื่อมขวางแบบคู่ (double cross-linking, DCL) ตัวอย่างซีฟันเทียมเรซินเหล่านี้ เช่น ทรูไบท์ ไอพีเอ็น (Trubyte IPN ,Dentsply International, New York, USA) และ เอสอาร์ โพลีทาร์ซิส ดีซีแอล (SR-Postaris-DCL ,Ivoclar-Vivadent, Schaan, Liechtenstein) [19, 21]

**เรซิน คอมโพสิต** ได้ถูกพัฒนาขึ้นมาเพื่อแก้ปัญหาจากการสึกกร่อนง่ายของฟันอะคริลิก ทั้ง ด้านความแข็ง (24.0 ถึง 47.0 กิโลกรัมฟอ์ชต่อตารางมิลลิเมตร)[3] พื้นผิวที่มีความเป็นมันเงา และ ความคงทนของ สีสูง [1] นอกจากนี้ยังได้พัฒนาวัสดุ คอมโพสิต โดยการเติม วัสดุอัดแทรกอนินทรีย์ (inorganic fillers) เข้าไปในส่วนของพอลิเมอร์เมทริกซ์ (polymer matrix) เช่น วิต้าแพน (Vitapan, Vita Zahnfabrik, Germany) และ เอสอาร์ออร์โธซิสพีอี (SR-Orthosit-PE, Ivoclar-Vivadent, Schaan, Liechtenstein) ซึ่งเติมกรดซิลิสิกแบบอสัณฐาน (amorphous silicic acid) เพื่อเพิ่มคุณสมบัติเชิงกล และการต้านทานการสึกกร่อน [22] แต่คอมโพสิตยังมีปัญหาในเรื่องของการเชื่อมติดกับฐาน ฟันเทียม และการติดสี (stain) ฟันคอมโพสิตจึงมีส่วนฐานซีฟันที่ยังคงเป็นเรซินอะคริลิกเพื่อให้เกิดการยึดติดกับ

ฐานพื้นเทียมอะคริลิกได้ ปัจจุบันมีการ พัฒนาสมบัติของซี พินเทียม เรซิน คอมโพสิต ชนิดต่าง ๆ เช่น เรซินคอมโพสิตชนิดไมโคร ฟิล เรซินคอมโพสิตชนิดนาโนฟิล เรซินคอมโพสิตชนิดเสริมแรงด้วยเส้นใย โดยเรซินคอมโพสิตชนิดไมโครฟิล มีสมบัติด้านการสึกกร่อนได้ดีขึ้น ส่วนเรซิน คอมโพสิตชนิดนาโนฟิลได้พัฒนาขึ้นมาให้มีสมบัติสามารถขัดขึ้นเงาได้สูง ด้านทานต่อการติดสีและทน ต่อแรงบดเคี้ยวได้ มี ส่วนประกอบของ มอนอเมอร์ ยูรีเทนไดเมทาคริ เลต (urethane dimethacrylate) เมทิลเมทาคริเลต (methylmethacrylate) พอลิเมทิลเมทาคริเลตและสารยึดแทรกขนาดนาโนที่มีลักษณะการกระจายตัวที่เป็นระเบียบ (uniform dispersed nano-sized filler) [19]

การวิจัยนี้ได้นำอะคริลิกชนิดบ่มด้วยความร้อนมาปรับปรุงสมบัติ โดยองค์ประกอบของ อะคริลิกพอลิเมทิลเมทาคริเลตชนิดบ่มด้วยความร้อน มี 2 ส่วน คือ ส่วนผง และส่วนเหลว [2]

#### ส่วนผง ประกอบด้วย

พอลิเมทิลเมทาคริเลตที่ผ่านการพรีพอลิเมอร์ไรซ์  
 สารเริ่มปฏิกิริยา (initiator) เช่น เบนโซอิลเปอร์ออกไซด์ (benzoyl peroxide)  
 รงค์วัตถุ (pigments) สี (dyes) และเส้นใย (dyed organic fibers) เพื่อเลียนแบบเนื้อเยื่อช่องปาก  
 สารทึบรังสี (radiopaque) เช่น แบเรียม  
 สารเสริมสภาพพลาสติก (plasticizer) เช่น ไดบิวทิลฟทาเลต (dibutyl phthalate)  
 สารเติมแต่งอนินทรีย์อื่น ๆ (inorganic particles) เช่น เส้นใยแก้ว อลูมินา

#### ส่วนเหลว ประกอบด้วย

เมทิลเมทาคริเลต  
 สารยับยั้ง (inhibitor) เช่น ไฮโดรควิโนน (hydroquinone)  
 ตัวกระตุ้น (accelerator) เช่น tertiary amine  
 สารเชื่อมขวาง (cross-linking agent) เช่น เอทิลีนไกลคอลไดเมทาคริเลต (ethylene glycol dimethacrylate)

การปรับปรุง สมบัติความแข็งของพอลิเมทิลเมทาคริเลตโดยการเติมวัสดุยึดแทรก มีการศึกษา พบว่าการเติมวัสดุยึดแทรกไมกา (mica) และวัสดุยึดแทรกเส้นใยแก้ว (glass fiber) ขนาดไมโครร้อยละ 5, 10 และ 15 ช่วยเพิ่มความแข็งผิวให้พอลิเมทิลเมทาคริเลตอย่างมีนัยสำคัญโดยที่ปริมาณร้อยละ 10 ของวัสดุยึดแทรกไมกาและวัสดุยึดแทรกเส้นใยแก้วให้ผลค่าความแข็งดีที่สุด และในปริมาณร้อยละที่ เท่ากัน วัสดุยึดแทรกเส้นใยแก้วยังให้สมบัติที่สูงกว่าวัสดุยึดแทรกไมกาเล็กน้อย [23]

วัสดุยึดแทรกในเรซินคอมโพสิตสำหรับบูรณะฟัน มีหลายชนิดและหลายขนาด เช่น ซิลิกอนไดออกไซด์ขนาด 10-40 นาโนเมตร แก้วแบเรียมหรือสตรอนเซียมซิลิเกต ซึ่งใช้เป็นสารทึบรังสี



ขนาด 0.7 1.0 1.5 ไมครอนหรือใหญ่กว่า แก้วควอร์ตซ์ขนาด 1.0 ถึง 1.5 ไมครอน ไททาเนียมหรือเซอร์โคเนียมและอะลูมิเนียมออกไซด์ซึ่งใช้เป็น สารทึบแสง (opacifier) ขนาด 250-500 นาโนเมตร[24] ตัวอย่าง เรซินคอมโพสิต บุรณะฟัน เช่น Premise, Kerr ประกอบด้วยพรีโพลีเมอร์ไรซ์ฟิลเลอร์ (prepolymerized filler, PPF) 30-50 ไมครอน แก้วแบเรียมขนาด 0.4 ไมครอน และซิลิกา 0.02 ไมครอน[25]

ปริมาณของวัสดุอุดแทรกอนินทรีย์ที่ พบในซีฟันเทียมผลิตภัณฑ์ต่าง ๆ อยู่ในช่วงร้อยละ 0 ถึง 42.9 โดยมวล ซึ่งส่วนใหญ่เป็นสารซิลิกอน[3] และในซีฟันเทียมที่ส่วนเมทริกซ์เป็นพอลิเมทิลเมทาคริเลตหรือไดเมทาคริเลต พบว่ามีปริมาณวัสดุอุดแทรกอยู่ในช่วงร้อยละ 11.4 ถึง 25.1[3] ค่าความแข็งโมห์ (Mohs hardness) ของซิลิกอนไดออกไซด์หรือซิลิกาอยู่ในช่วง 6-7 โดยควอร์ตซ์จะมีความแข็งสูงที่สุด (Mohs hardness = 7 ) [26]

สารคู่ควบ (coupling agent) ทำหน้าที่เป็นตัวกลางเชื่อมระหว่างพอลิเมอร์กับวัสดุอุดแทรกหรือเส้นใยเสริมแรง โดยสร้างพันธะที่แข็งแรงกับทั้งสอง ทำให้มีการยึดเกาะระหว่างกันดีขึ้น[26]

สารคู่ควบซิลเลน (silane coupling agent) เป็นสารคู่ควบที่นิยมใช้มากที่สุดกับผลิตภัณฑ์พลาสติกเสริมแรงด้วยใยแก้ว มีสูตรทั่วไปคือ  $X-Si(OR)_3$  โดยหมู่ OR ซึ่งเกิดการไฮโดรไลซิสได้ เช่น หมู่เมท็อกซี หรือหมู่เอท็อกซี ( $-OCH_3$ ,  $-OC_2H_5$ ) จะเข้าทำปฏิกิริยาเกิดพันธะกับ แก้ว โลหะหรือซิลิกา ในขณะที่หมู่ทำงาน X เช่น หมู่ไวนิล หมู่อะมิโน หมู่อีพอกซี หมู่เมอร์แคปโต จะทำปฏิกิริยากับพอลิเมอร์ทำให้ใยแก้วยึดเกาะกับพอลิเมอร์ได้ดี



ภาพที่ 2 โครงสร้างอย่างง่ายของสารคู่ควบซิลเลน[27]

การปรับปรุงพื้นผิววัสดุอุดแทรกด้วยสารคู่ควบซิลเลน ทำให้เกิดสมบัติดังต่อไปนี้ [12]

1. เพิ่ม dimensional stability
2. ปรับลักษณะพื้นผิวความไม่ชอบน้ำ (hydrophobicity)
3. เพิ่มความสามารถในการเปียกระหว่างเรซินและวัสดุอุดแทรก
4. ลดการระเหยของน้ำ

5. ความคุมสมบัติการไหล (เพิ่มปริมาณวัสดุอัดแทรกได้สูงขึ้นโดยไม่เพิ่มความหนืด)
6. เพิ่มการกระจายของวัสดุอัดแทรก (ไม่เกิด filler agglomerates)
7. เพิ่มสมบัติทางกลและสมบัติการนำไฟฟ้า

การใช้สารไฮเลนจะมีประสิทธิภาพสูงเมื่อนำไปใช้เป็น สารคู่ควบ สำหรับวัสดุอัดแทรกต่อไปนี้ คือ ซิลิกา แก้ว อะลูมินา และอะลูมิโนซิลิเกต

ไฮเลนที่ผลิตออกจำหน่ายในทางการค้ามีหมู่ ทำงาน (หมู่ X) แตกต่างกันหลายแบบเพื่อให้เหมาะสมในการใช้งานกับ พอลิเมอร์ชนิดต่าง ๆ เช่น ไฮเลนที่ประกอบด้วยหมู่ไวนิล จะถูกนำไปใช้งานกับพอลิเอสเทอร์เรซินชนิดไม่อิ่มตัว ไฮเลนที่ประกอบด้วยหมู่อีพอกซี หรือหมู่อะมิโนก็จะนำไปใช้งานกับพอลิเอไมด์ อีพอกซีเรซินหรือพอลิยูรีเทนชนิดเทอร์โมเซต[26]

ไฮเลนทางการค้าที่ใช้ เช่น vinyltrichlorosilane,  $\gamma$ -methacryloxypropyl trimethoxysilane,  $\gamma$ -aminopropyl triethoxysilane,  $\gamma$ -mercaptopropyl trimethoxysilane

สำหรับปริมาณไฮเลนที่เหมาะสมในการใช้ คำนวณได้จากสูตร

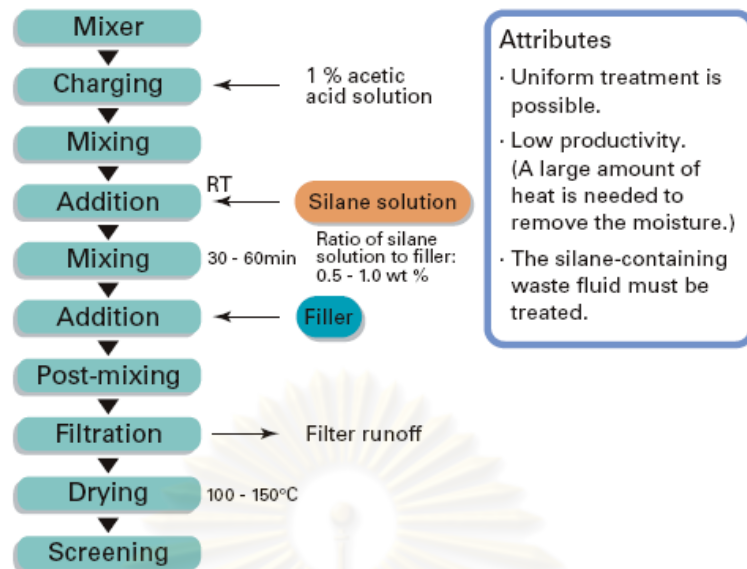
$$\text{ปริมาณไฮเลน(กรัม)} = \frac{\text{ปริมาณวัสดุอัดแทรก (กรัม)} \times \text{พื้นที่ผิววัสดุอัดแทรก (ตารางเมตร/กรัม)}}{\text{ความสามารถปกคลุมพื้นที่ผิววัสดุอัดแทรกของไฮเลน(ตารางเมตร/กรัม)}}$$

วิธีการเชื่อมยึดไฮเลนกับวัสดุอัดแทรกมี 4 วิธี ได้แก่ [12]

1. Neat silane (Dry method I)
2. Silane solution (Slurry method II)
3. Integral silane blending, *in situ* coation (Method III)
4. Silane concentrates (Method IV)

การวิจัยนี้ผู้วิจัยใช้วิธีไฮเลนละลายไฮเลน (silane solution) ตามบริษัทผู้ผลิตแนะนำ ดังภาพที่ 3

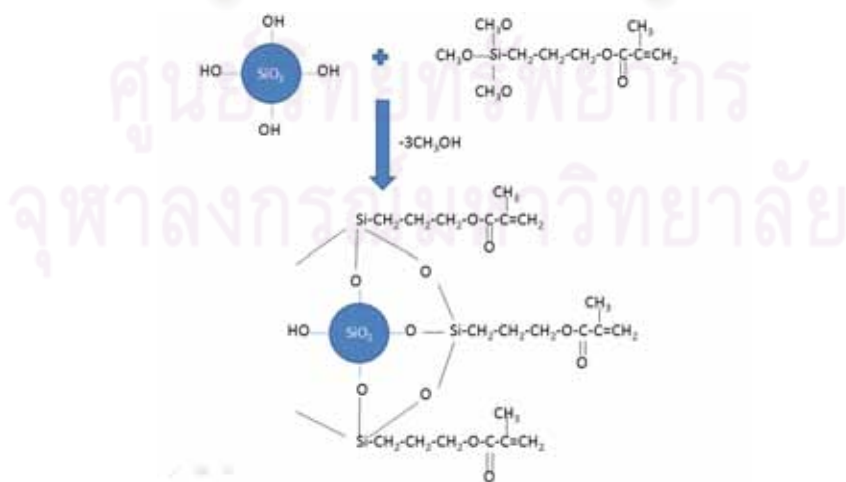
จุฬาลงกรณ์มหาวิทยาลัย



ภาพที่ 3 ขั้นตอนการปรับสภาพผิวด้วยซิลเลนของบริษัท Shin-Etsu[27]

จากภาพที่ 3 เตรียมสารละลายกรดอะซิติก ความเข้มข้นร้อยละ 1 ผสมในน้ำกลั่น ค่อย ๆ หยดซิลเลนลงในสารละลายกรดผสมจนซิลเลนละลายเป็นสารละลายที่ค่อนข้างใส

ผสมสารละลายซิลเลนเป็นเวลา 30 ถึง 60 นาทีบนเครื่องผสม จนสารซิลเลนละลายเกิดการไฮโดรไลซิสในน้ำเป็นหมู่ซิลานอล (-SiOH) นำวัสดุอัดแทรกเติมลงในสารละลายซิลเลน หลังจากผสมเข้ากันดีจนสารซิลเลน ทำปฏิกิริยาควบแน่นกับแก้วเป็นพันธะซิลอกเซน Si-O-Si (siloxane bond) กับพื้นผิวของวัสดุอัดแทรกดังภาพที่ 4 จึงกรองแยกวัสดุอัดแทรกออกจากสารละลายซิลเลน กำจัดผลพลอยได้ (by product) ซึ่งก็คือ เมทานอล นำไปอบที่อุณหภูมิ 100 ถึง 150 องศาเซลเซียส จึงนำวัสดุอัดแทรกที่อบแห้งแล้วมาใช้ต่อไป



ภาพที่ 4 การเกิดปฏิกิริยาของสารซิลเลนบนวัสดุอัดแทรกซิลิกา [28]

## กระบวนการผลิตซีฟันเทียมเทอร์โมพลาสติก

การผลิตฟันอะคริลิกเทอร์โมพลาสติกในภาควิชาจัดทำขึ้นเพราะมีความต้องการซีฟันเทียมใช้ในงานออกหน่วยทันตกรรม มีกระบวนการผลิตที่สามารถทำขึ้นเองได้ในประเทศและเป็นประโยชน์ทั้งในทางคลินิกและทางห้องปฏิบัติการ เพราะ ลักษณะซีฟันติดกันเป็นชุด มีความสะดวกรวดเร็วในการเรียงฟัน และมีรูปแบบการสบฟันแบบระนาบเดียวซึ่ง สามารถ สร้างการสบฟันได้ง่ายในผู้ป่วยที่มีความสัมพันธ์ของขากรรไกรรูปแบบต่าง ๆ ช่วยเพิ่มความสะดวกในการแก้ไขการสบฟัน

การผลิตซีฟันเทียม พลาสติก ให้มีความสวยงามเหมือนฟันธรรมชาติ ต้องจัดเรียงเป็นชั้น ๆ ประมาณ 2-3 ชั้นเหมือนฟันธรรมชาติ ประกอบด้วย ส่วนฐานซีฟันซึ่งติดกับฐานฟัน เทียม และอาจมีส่วนเนื้อฟันเป็นชั้นถัดมา และส่วนเคลือบฟันที่อยู่บนด้านบดเคี้ยว โดยส่วนฐานตัวฟันนั้นเป็นวัสดุพอลิเมทิลเมทาคริเลต เพื่อให้ยึดติดกับวัสดุฐานฟันเทียมซึ่งเป็นสารกลุ่มเดียวกัน ส่วนเนื้อฟันหรือเคลือบฟัน อาจเป็นวัสดุคอมโพสิตหรือ พอลิเมทิลเมทาคริเลต ที่พัฒนาให้มีความแข็งแรง ด้านทานการสีกร ร่อน มีความใส โปร่งแสง มีเสถียรภาพของสี ติดสีได้น้อย กรอแก้ไขขัดแต่งได้ง่าย สวยงาม และมีความเข้ากันได้ทางชีวภาพ นอกจากนี้การขึ้นรูปพอลิเมอร์พลาสติกเพื่อผลิตซีฟันเทียมทำได้หลายวิธี เช่น การอัด (compression/pressure pack)[29] การฉีดพลาสติก (injection) [30] การกลึง (milling) [31, 32] และการหล่อ (casting) [33]

การผลิตซีฟันเทียมนี้ขึ้นรูปด้วยวิธีการฉีดพลาสติก จากเม็ดพอลิเมทิลเมทาคริเลตชนิดเทอร์โมพลาสติก โดยบริษัท แพนพรีซิชั่น โพรดักส์ จำกัด เป็นผู้ทำแม่พิมพ์และฉีดขึ้นรูป ลักษณะแม่พิมพ์ต้นแบบเป็นแผงซีฟันหลังล่างติดกันเป็นชุด ตั้งแต่ฟันกรามน้อยล่างซี่ที่หนึ่งถึงฟันกรามล่างซี่ที่สาม เป็นแม่พิมพ์สำหรับขึ้นรูปเป็น 2 ชั้น คือ ส่วนเนื้อฟัน และส่วนเคลือบฟัน กระบวนการผลิตเริ่มจากหลอมเม็ดพอลิเมทิลเมทาคริเลตรวมกับเม็ดสีเพื่อ ปรับแต่งสีเลียนแบบฟันธรรมชาติซึ่งยังต้องมีการปรับ เกรดสีอื่น ๆ ต่อไป เมื่อพอลิเมทิลเมทาคริเลตหลอมเหลวภายใต้อุณหภูมิและความดันที่เหมาะสมจึงฉีดเข้าไปในแม่พิมพ์ โดยฉีดอะคริลิกส่วนเนื้อฟันก่อน แล้วจึงฉีดอะคริลิกส่วนเคลือบฟันหุ้มไปบนส่วนเนื้อฟันอีกครั้ง เมื่อแม่พิมพ์เย็นลงและ พอลิเมทิลเมทาคริเลต แข็งตัว จึงแกะออก จากแม่พิมพ์ และตัดแต่งวัสดุส่วนเกินออก



ภาพที่ 5 แม่พิมพ์ฟันอะคริลิกเทอร์โมพลาสติก

การฉีดขึ้นรูป ฟันอะคริลิกเทอร์โมพลาสติกนี้ ได้ทดลองผสมวัสดุอัดแทรกเข้าไประหว่างการหลอมเม็ดพอลิเมทิลเมทาคริเลต แต่ได้พบปัญหาความไม่เข้ากันของ พอลิเมทิลเมทาคริเลตกับวัสดุอัดแทรก ซึ่งต้องมีการปรับปรุงเทคนิคการผลิตต่อไป โดยชิ้นงานที่ผลิตมาทดสอบนี้เป็น อะคริลิกเทอร์โมพลาสติกที่ไม่มีสารเติมแต่งใดๆ นอกจากเม็ดสี เป็นพื้นที่ฉีดขึ้นรูป 2 ชั้น

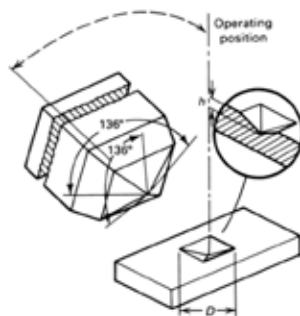
### วิธีทดสอบความแข็ง (hardness test)

ความแข็ง(hardness) เป็นสมบัติทางกลบนพื้นผิวของวัสดุ ความแข็ง หมายถึงการต้านทานต่อการเป็นรอยกดอย่างถาวรของพื้นผิว ความแข็งเป็นตัวบ่งชี้ถึงความง่ายในการขัดแต่งชิ้นงานและความต้านทานต่อรอยขีดข่วน การขัดแต่งชิ้นงานมีผลต่องานที่ต้องการความสวยงาม และรอยขีดข่วนมีผลต่อความแข็งแรงล้า (fatigue strength) และทำให้เกิดความล้มเหลวก่อนกำหนด (premature failure)

การทดสอบความแข็งของวัสดุมีหลายวิธี ได้แก่ การทดสอบความแข็งบริเนลล์ (Brinell) หนูป (Knoop) วิคเกอร์ส (Vickers) ร็อคเวลล์ (Rockwell) และชอร์ เอ (Shore A) แต่ละวิธีมีความแตกต่างกันเล็กน้อย ขึ้นกับรูปร่างหัวกดที่ใช้ทดสอบกับผิววัสดุ วัสดุที่ใช้เป็นหัวกดอาจเป็นโลหะเหล็กกล้าไร้สนิม ทังสเตนคาร์ไบด์ หรือเพชร และรูปร่างอาจเป็นทรงกลม ทรงกรวย พีรามิด หรือเข็ม แรงกดอยู่ในช่วง 0.5 นิวตัน ถึง 30 กิโลนิวตัน การเลือกวิธีทดสอบขึ้นกับชนิดวัสดุและ ช่วงความแข็งที่เหมาะสมกับตัวอย่าง

ขั้นตอนการทดสอบมีลักษณะเฉพาะแตกต่างกันตามแรงมาตรฐานหรือน้ำหนักที่ใช้กับหัวกด ทำให้เกิดรอยกดที่สมมาตร ซึ่งสามารถตรวจได้ด้วยกล้องจุลทรรศน์สำหรับหาความลึก พื้นที่ หรือความกว้างของรอยที่เกิดขึ้น มิติของ รอยกดมีความสัมพันธ์กับค่าความแข็ง โดยเมื่อแรงกดคงที่ มิติของรอยกดที่เกิดขึ้นจะแปรผกผันกับการต้านทานของวัสดุ ดังนั้นจึงใช้แรงกดที่เบากับวัสดุที่อ่อนนุ่ม [2] การทดสอบความแข็งหนูปและการทดสอบความแข็งวิกเกอร์สจัดเป็นการทดสอบความแข็งแบบจุลภาค (microhardness test) เมื่อเปรียบเทียบการทดสอบความแข็งบริเนลล์และการทดสอบความแข็งร็อคเวลล์ เป็นแบบมหภาค (macrohardness test) [10]

การทดสอบความแข็งวิกเกอร์ส ( Vickers hardness test) ใช้หัวกดเพชรรูปร่างสี่เหลี่ยมที่มีมุม 136 องศา เหมาะกับการใช้ทดสอบวัสดุที่มีช่วงความแข็งกว้างมาก ใช้ทดสอบความแข็งของวัสดุบูรณะทางทันตกรรม แรงกดที่ใช้อยู่ในช่วง 1 ถึง 120 กิโลกรัม (10-1,200 นิวตัน) ขึ้นกับความแข็งของวัสดุที่ทดสอบ วิธีนี้เหมาะกับการหาความแข็งของวัสดุที่มีพื้นที่จำกัดและมีความแข็งมาก [2]



ภาพที่ 6 การทดสอบความแข็งแรงไมโครแอสทูเอตอร์

คำนวณความแข็งแรงไมโครแอสทูเอตอร์ได้จากสูตร

$$HV = \frac{2P \sin(136^\circ/2)}{d^2} = 1.854 \frac{P}{d^2}$$

โดย HV = ค่าความแข็งแรงผิวไมโครแอสทูเอตอร์

P = น้ำหนักที่ใช้กด (กิโลกรัม)

d = ขนาดเส้นทแยงมุมของรอยกดรูปทรงสี่เหลี่ยมจัตุรัส (มิลลิเมตร)

ความแข็งแรงของซีพียูที่พิมพ์นั้นนอกจากปัจจัยภายในของโครงสร้างตัววัสดุเองนั้น ปัจจัยภายนอกที่มีผลต่อความแข็งแรงของซีพียูอะคริลิกยังมีการบวมตัวของพอลิเมอร์จากการดูดน้ำซึ่งทำให้ซีพียูนี้มลง

[17, 34]

ส่วนการศึกษาเรื่องความแข็งแรงการยึดติดกับฐานพิมพ์มีดังนี้

**ความแข็งแรงการยึดติดของซีพียูที่พิมพ์กับฐานพิมพ์อะคริลิก**

การยึดติดของซีพียูที่พิมพ์อะคริลิกกับฐานพิมพ์อะคริลิกนั้น เกิดจากการแพร่ของมอนอเมอร์ในฐานพิมพ์ทำให้เกิดการบวมตัวของซีพียูอะคริลิก การแพร่นั้นขึ้นกับระยะเวลา อุณหภูมิ ชนิดของตัวทำละลาย โครงสร้างของพอลิเมอร์ และอุณหภูมิแปรผ่านสภาพแก้วของพอลิเมอร์ (glass transition temperature, Tg) โดยซีพียูอะคริลิกทั่วไปประกอบด้วยเม็ดพอลิเมอร์ (polymer beads) ซึ่งเป็นพอลิเมทิลเมทาคริเลตแบบเส้น (linear PMMA) และส่วนเมทริกซ์เป็นพอลิเมทิลเมทาคริเลตแบบเชื่อมขวาง (cross-linked PMMA) หรือมอนอเมอร์ไดเมทาคริเลตแบบเชื่อมขวาง มอนอเมอร์ในส่วนเมทริกซ์นั้นจะแพร่ไปที่พื้นผิวของเม็ดพอลิเมอร์และสอดแทรกเป็นเครือข่ายไอพีเอ็น (IPN) ซึ่งไอพีเอ็นนั้นเกิดจากการประกอบกันของพอลิเมอร์สองชนิดเป็นโครงสร้างเครือข่าย พอลิเมอร์อย่างน้อยหนึ่งชนิดที่เกิดขึ้นแบบเชื่อมขวางกันในระหว่างพอลิเมอร์อีกชนิดหนึ่ง เรียกว่า เซมิไอพีเอ็น (semi IPN) ซึ่งในที่นี้ก็คือ พอลิเมอร์ชนิดแรกเป็น PMMA กับ MMA ส่วนสารเชื่อมขวางเป็น EGDMA หรือ ไดเมทาคริเลตจะเป็นการเชื่อมขวางของพอลิเมอร์ชนิดที่สอง[5]

ความแข็งแรงการยึดติดของซีพียูที่พิมพ์กับฐานพิมพ์อะคริลิกขึ้นอยู่กับหลายปัจจัย ดังนี้

1. สมบัติของตัววัสดุซีฟันเทียม โดยซีฟันเทียม ชนิดดั้งเดิมที่มีการเชื่อมขวางน้อยจะเกิดการยึดติดกับฐานฟันเทียมได้ดีกว่าซีฟันเทียมที่มีการเชื่อมขวางมาก [21, 35-37] ส่วนซีฟันเทียมอะคริลิก มีความแข็งแรงการยึดติด กับฐานฟันเทียมได้ สูงกว่าซีฟันเทียมคอมโพสิตเพราะเป็นสารกลุ่มเดียวกันกับฐานฟันเทียม [38, 39]

2. สมบัติของวัสดุฐานฟันเทียม เช่น ชนิดการบ่มตัว มีการศึกษาพบว่าฐานฟันเทียมชนิดบ่มตัวด้วยความร้อนให้การยึดติดสูงที่สุด [35, 40] ชนิดบ่มตัวด้วยความร้อนให้การยึดติดสูง กว่าชนิดบ่มตัวด้วยตัวเอง และสูงกว่าชนิดบ่มตัวด้วยแสง [41, 42] หรือชนิดบ่มตัวด้วยคลื่นไมโครเวฟ [43, 44] ฐานฟันเทียมชนิดทนแรงกระแทกสูง (high impact) ยังให้การยึดติดสูงกว่า แต่ไม่แตกต่างกันอย่างมีนัยสำคัญกับฐานฟันเทียมชนิดดั้งเดิม (conventional) [45] ระยะของเรซินในขั้นตอนการแพ็คอะคริลิก [46] ระยะเวลาที่ใช้ในการบ่มตัวอะคริลิกแบบระยะเวลาให้ค่ายึดติดสูงว่าการบ่มแบบระยะสั้น [46, 47]

นอกจากนี้ยังมีการปรับปรุงพื้นผิวซีฟันเทียมบริเวณด้านสันเหงือกเพื่อช่วยเพิ่มความแข็งแรงการยึดติด ดังนี้

การปรับปรุงพื้นผิวทางกล ได้แก่ การกรอแต่งผิวที่ขัดมันออก [48-50] การทำร่อง (groove) [46, 51, 52] ทำรู (diatoric) [49] หรือร่องกุญแจ (keying)[53] การพ่นเปิดผิวด้วยลม (air abrasion) [54, 55] การเป่าทราย (sandblast)[50]

การปรับปรุงพื้นผิวทางเคมี ได้แก่ การทาสารโมโนเมอร์เมทิลเมทาคริเลต [44, 46, 49, 56, 57] การทำไซลาโนเซชัน[57] การทำเคลือบซิลิกา (tribochemical silica coating)[57] การใช้อะคริลิกเรซินซีเมนต์[46] หรือแอคซีทีไฟโพรเมอร์[54] การใช้สารยึดติด[41, 55, 56] เช่น โพรเมทาคริโอลลอกซีเอทิล ไตรเมลลิเทตแอนไฮไดร (4-methacryloyloxyethyl trimellitate anhydride, 4-META)[39] เป็นต้น

การซ่อมแซมเดิมซีฟันเทียมโดยการใช้เรซินคอมโพสิตชนิดบ่มตัวด้วยแสงร่วมกับฐานฟันเทียมเรซินชนิดบ่มตัวด้วยตัวเอง ทำได้โดย การใช้ กรดปรับสภาพผิว (acid etching) สารยึดติด (bonding agent)ร่วมด้วยสามารถเพิ่มการยึดติดได้ [38, 56] และในส่วนอะคริลิกสามารถใช้สาร โมโนเมอร์เมทิลเมทาคริเลต [58] ไดคลอโรมีเทน (dichloromethane หรือ methylene chloride) คลอโรฟอร์ม(chloroform) เอทิลอะซิเตต (ethyl acetate) หรือ โพรเมทาคริโอลลอกซีเอทิล ไตรเมลลิเทตแอนไฮไดร (4-methacryloyloxyethyl trimellitate anhydride, 4-META) มาใช้ปรับสภาพพื้นผิวก่อน [45, 59]

การปนเปื้อนจากซีฟุ้งหรือสาร คั่นกลาง (tin foil substitute) ในระหว่างกระบวนการอัดฟันเทียม ก็มีผลต่อการยึดติดของซีฟันเทียมกับฐานฟันเทียมเช่นกัน [45, 46, 60-62] การกำจัดซีฟุ้งควรใช้สารซักฟอกที่ร้อนล้าง 3 ครั้งและล้างสารซักฟอกด้วยน้ำร้อนซ้ำ [61] ในการใช้งานทางคลินิกยังมีความเค้น

ที่เกิดขึ้นซึ่งมีผลต่อการหลุดของซีฟันเทียม ออกจากฐานฟันเทียม โดยเฉพาะในบริเวณพื้นหน้าบนที่มีความเค้นมากกว่าพื้นหลัง [63] นอกจากนี้ผลของเทอร์โมไซคลิง (thermocycling) ต่อความแข็งแรงในการยึดซีฟันเทียมและฐานฟันเทียมบางชนิดร่วมกัน [47, 57, 64]

### วิธีทดสอบการยึดติดกับฐานฟันเทียมตามข้อกำหนดหมายเลข 15 ของสมาคมทันตแพทย์แห่งสหรัฐอเมริกา (ANSI/ADA specification No.15) [65]

ข้อกำหนดหมายเลข 15 ของสถาบันสมาคมทันตแพทย์แห่งสหรัฐอเมริกา ได้กำหนดมาตรฐานค่าความแข็งแรงการยึดติดอย่างน้อยที่สุดเท่ากับ 31.0 เมกะปาสคาล

การเตรียมชิ้นงานเป็นรูปทรงกระบอกขนาดเส้นผ่านศูนย์กลาง 8.5 มิลลิเมตร โดยมีซีฟันเทียมฝังอยู่ ด้านสันเหงือกของซีฟันเทียมไม่มีการกรอแต่ง ด้านบดเคี้ยวกรอแต่งให้อยู่ผิวฟันเป็นแนวระนาบกว้างอย่างน้อย 2 มิลลิเมตรตั้งฉากกับแนวใกล้กลางไกลกลางของซีฟัน ซีฟันควรแช่ในน้ำเดือดเป็นเวลา 30 วินาที และทำความสะอาดด้วยน้ำผงซักฟอก ล้างด้วยน้ำเดือดและทิ้งไว้ให้เย็นและแห้งเป็นเวลาอย่างน้อย 30 นาทีก่อน แม่พิมพ์แต่ละครั้ง ควรใส่วัสดุฐานฟันเทียมระยะโด จนเต็มและปิดด้วยแผ่นพลาสติกพอลิเอทิลีน ปิดพลาสติกและอัดโดยมีแผ่นโลหะหนา 1.6 มิลลิเมตรคั่นกลางระหว่างแผ่นพลาสติก เปิดพลาสติกและนำแผ่นโลหะและแผ่นพอลิเอทิลีนออก นำซีฟันที่เตรียมไว้ฝังลงในวัสดุฐานฟันเทียมแต่ละชิ้นในพลาสติกส่วนล่างให้อยู่ในตำแหน่งกึ่งกลางและขนานกับความยาวของแม่พิมพ์ ปิดพลาสติกส่วนบนและยึดเข้าด้วยกันและนำไปป้อน ชิ้นงานที่ป้อนแล้วนำไปกลึงให้มีรูปร่าง ดัมเบลระมัดระวังไม่ให้มีรอยขีดข่วนหรือขรุขระบนผิวชิ้นงาน ไม่มีวัสดุฐานฟันเทียมหลงเหลืออยู่บนผิวด้านตามแนวแกน (axial) ที่บริเวณรอยต่อส่วนฐานของซีฟัน ความยาวส่วนคอดของชิ้นงานควรยาวอย่างน้อย 12.7 มิลลิเมตรเหนือส่วนคอดฟัน และบริเวณผิวที่จับชิ้นงานควรยาวอย่างน้อย 10 มิลลิเมตร ค่าความแข็งแรงยึดติดทดสอบโดยให้แรงดึงที่ความเร็วหัวกด (crosshead speed) 0.254 มิลลิเมตรต่อวินาที (0.01 นิ้วต่อวินาที) จนชิ้นงานเกิดการแตกหัก (0.254 มิลลิเมตรต่อวินาที เท่ากับ 94 กิโลกรัมฟอร์ซต่อวินาที) หากความแข็งแรงยึดติดเป็นค่าเฉลี่ยของชิ้นงาน 3 ชิ้นและควรบิดเศษให้ค่าใกล้เคียง 0.1 เมกะปาสคาล โดยนับรวมในค่าเฉลี่ย ถ้าชิ้นงานแตกหักตาม ผิวด้านสันเหงือกหรือผ่านส่วนเนื้อฟัน อย่างไรก็ตามถ้าการแตกหักเกิดตามผิวด้านบดเคี้ยวหรือผ่านส่วนเคลือบฟันหรือผ่านส่วนฐานฟันเทียม จะไม่นับค่ารวมถ้าค่านั้นน้อยกว่าค่าแรงยึดที่ยอมรับได้ (31 เมกะปาสคาล) แต่จะนับค่ารวมถ้าแตกหักผ่านส่วนเนื้อฟันหรือส่วนสันเหงือกที่มีค่ามากกว่าระดับที่ต้องการ

### วิธีทดสอบการยึดติดกับฐานฟันเทียมตาม ISO 22112 [66]

ISO 22112 ได้กำหนดมาตรฐานของซีฟัน เทียมเรื่องการยึดติดวัสดุฐานฟันเทียมว่า ซีฟันเทียมต้องสามารถยึดติดกับวัสดุฐานฟันเทียมชนิดปมตัวด้วยความร้อน จำนวน 5 ใน 6 ชิ้นทดสอบ



วิธีการโดยเลือกใช้ซีฟีนเทียมหน้าบน 6 ซี มายึดติดบนแผ่นโลหะ (metal former) ด้วยซีฟิ่ง โดยเครื่องหนึ่งของผิวพื้นด้านล่างของส่วนปลายฟีนอยู่เหนือแผ่นโลหะ นำไปลงพลาสติกด้วยปูนยิปซัม แล้วนำแผ่นโลหะออกและไลซีฟิ่งออกด้วยน้ำร้อน อัตราอุณหภูมิฟีนเทียมแทนที่ตามขั้นตอน อัดพลาสติกในอ่างน้ำร้อนอุณหภูมิ  $70 \pm 3$  c เป็นเวลา  $90 \pm 1$  นาที และแช่ในน้ำเดือดเป็นเวลา  $30 \pm 1$  นาที เมื่อกระบวนการเสร็จแล้วปล่อยให้พลาสติกเย็นลงในอากาศจนถึงอุณหภูมิห้อง ( $23 \pm 2$  c) ทดสอบซีฟีนเทียมในเครื่องทดสอบ ซึ่งออกแบบโดยการดึงโดยตรงบนส่วนปลายฟีนของผิวพื้นด้านล่างในทิศทางไปทางด้านริมฝีปาก โดยไม่มีการเบี่ยงเบนหรือเปลี่ยนทิศทาง ให้แรงลงในแต่ละซีฟีนในอัตรา 0.5 ถึง 10 มิลลิเมตรต่อนาทีจนกระทั่งถึงการแตกหัก

การยึดติดที่ผ่านการทดสอบถ้าส่วนที่เกิดการแตกหักเป็นโคฮีซีฟในตัวซีฟีนเทียมหรือตัวฐานฟีนเทียม เช่น มีส่วนของซีฟีนเหลือค้างที่ยังยึดติดกับฐานฟีน เทียม หรือมีส่วนของฐานฟีน เทียมที่ยังยึดติดกับตัวซีฟีน เฉพาะการแตกหักระหว่างผิวรอยต่อแอดฮีซีฟเท่านั้นที่ถือว่าเป็นล้มเหลว ดังนั้นถ้าเกิดรูปแบบการแตกหักแบบโคฮีซีฟอย่างน้อย 5 ซีจาก 6 ซีจะถือว่าผ่านมาตรฐาน

ในการศึกษาวิจัยนี้เลือกวิธีทดสอบตามข้อกำหนดหมายเลข 15 ของสถาบันสมาคมทันตแพทย์แห่งสหรัฐอเมริกา เนื่องจากซีฟีนเทียมเทอร์โมพลาสติกเป็นซีฟีนหลังซึ่งสามารถนำมาทำขึ้นงานควบคุมรูปร่างให้ขึ้นงานแต่ละชิ้นเท่ากันได้แตกต่างจาก ISO 22112 ที่เลือกใช้เป็นชุดฟีนหน้า 6 ซี ที่มีรูปร่างและพื้นผิวยึดติดแตกต่างกัน

ศูนย์วิทยทรัพยากร  
จุฬาลงกรณ์มหาวิทยาลัย

### บทที่ 3

#### วิธีดำเนินการวิจัย

**กลุ่มตัวอย่าง** คือ ฟันเทียม อะคริลิกทางการค้า ฟันเทียมอะคริลิกเทอร์โมพลาสติก อะคริลิกชนิดบ่มด้วยความร้อน และอะคริลิกชนิดดัดแปรชนิดต่าง ๆ โดยแต่ละกลุ่มใช้ฟันเทียมจำนวน 10 ซี่

#### เครื่องมือที่ใช้ในการวิจัย

อุปกรณ์ที่ใช้ในการวิจัย ประกอบด้วย

อุปกรณ์เตรียมชิ้นงาน

1. เครื่องตัดฟัน (low speed cutting machine, รุ่น Isomet 4000, Buehler, USA)
2. เครื่องขัดผิววัสดุ (polishing machine, รุ่น Ecomet 250, Buehler, USA)
3. เครื่องอัดพลาสติกไฮดรอลิก (hydraulic flask press, รุ่น EWL 5414, Kavo, West Germany)
4. เครื่องบ่มอะคริลิกด้วยความร้อน (curing unit, รุ่น 5518, Kavo, West Germany)
5. เครื่องอบ (hot air oven)
6. เครื่องชั่งอิเล็กทรอนิกส์ ระบบดิจิทัล (Digital Balance รุ่น SBA 51, caltec, Germany. Max Wt. 4100 g.) ความละเอียด 0.01 กรัม
7. เครื่องวัดความเป็นกรดและด่าง (pH meter รุ่น GP353, EDT, England)
8. เครื่องอัลตราโซนิก (ultrasonic bath, Transsonic Digital S, Elma,)
9. ฟลasks ทองเหลือง
10. แม่แบบแท่งโลหะไร้สนิมทรงกระบอกขนาดเส้นผ่านศูนย์กลาง 8.5 มม. ยาว 75 มม.

อุปกรณ์ทดสอบ

1. เครื่องทดสอบความแข็งผิวแบบจุลภาค (hardness testing machine รุ่น MicroWiZhard , Mitutoyo, Japan, Vicker indenter No.33906 HV)
2. เครื่องทดสอบแรงดึงแรงอัด (universal testing machine, Lloyd รุ่น LR 10K, UK)

วัสดุที่ใช้ในการวิจัย ประกอบด้วย

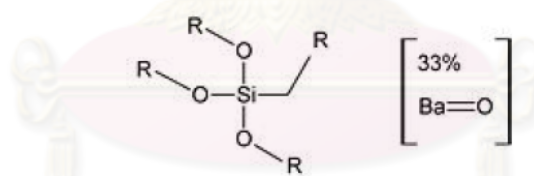
1. ซี่ฟันเทียมชนิดต่าง ๆ
  - 1.1 ซี่ฟันเทียมอะคริลิกเทอร์โมพลาสติกผลิตจากพอลิเมทิลเมทาคริเลตชนิดเทอร์โมพลาสติก
  - 1.2 ซี่ฟันเทียมอะคริลิกทางการค้า

- ฟันอะคริลิกเมเจอร์เดนท (Major Dent, Major Prodotti, Italy)
- ฟันอะคริลิกออร์โทลักซ์ท็อป (Ortolux Top, Unidesa-Odi, Spain)



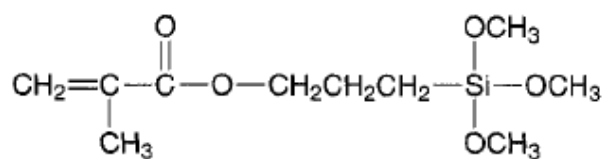
ภาพที่ 7 ซี่ฟันเทียมอะคริลิกเทอร์โมพลาสติก เมเจอร์เดนทและออร์โทลักซ์ท็อป

- 1.3 อะคริลิกใสชนิดบ่มด้วยความร้อนโรเด็กซ์ (Rodex clear, Rodont S.r.l., Milan, Italy)
- 1.4 อะคริลิกสีเหมือนฟันชนิดบ่มด้วยความร้อนชนิดเมเจอร์ (Major C&B dentine, shade 4F)
- 1.5 วัสดุอัดแทรกแก้วขนาดไมโคร 0.7 ไมโครเมตร (silanated barium borosilicate glass 0.7  $\mu\text{m}$ , Esstech DSS glass) มีองค์ประกอบคือ ซิลิกอนไดออกไซด์ร้อยละ 50 แบริยมออกไซด์ร้อยละ 33 และโบรอนออกไซด์ร้อยละ 9 มีความหนาแน่น 3.049 กรัมต่อมิลลิลิตร ผ่านการปรับสภาพผิวด้วยไซเลนจากบริษัทผู้ผลิตแล้ว มีไซเลนร้อยละ 1 โดยวิธี TGA



ภาพที่ 8 โครงสร้างวัสดุอัดแทรกแก้วแบเรียมบอโรซิลิเกต

- 1.6 วัสดุอัดแทรกซิลิกาขนาดนาโน 10-20 นาโนเมตร (silica nanopowder 10-20 nm, Sigma-Aldrich) เป็นซิลิกอนไดออกไซด์น้ำหนักโมเลกุล 60.08 กรัมต่อโมล ความหนาแน่น 2.2-2.6 กรัมต่อมิลลิลิตร พื้นที่ผิว 140-180 ตารางเมตรต่อกรัม ลักษณะเป็นผงสีขาว มีคุณสมบัติไม่ละลายน้ำ วัสดุอัดแทรกซิลิกาขนาดนาโน นี้ยังไม่ผ่านการปรับสภาพผิวด้วยไซเลน ซึ่งผู้วิจัยต้องปรับสภาพผิวด้วยไซเลนเอง
- 1.7 สารคู่ควบไซเลน ( $\gamma$ -methacryloxypropyltrimethoxysilane:  $\gamma$ -MPS, Shin-Etsu, Japan) น้ำหนักโมเลกุล 290.4 กรัมต่อโมล ความถ่วงจำเพาะ 0.99 กรัมต่อมิลลิลิตร ความสามารถปกคลุมพื้นที่ผิว (minimum covering area) 314 ตารางเมตรต่อกรัม

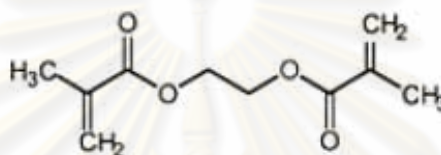


ภาพที่ 9 โครงสร้างสารคู่ควบไซเลนแกมมาเอ็มพีเอส

( $\gamma$ -methacryloxypropyltrimethoxysilane,  $\gamma$ -MPS)

1.8 สารเชื่อมขวางเอทิลีนไกลคอลไดเมทาคริเลท (ethylene glycol dimethacrylate, Esstech)

น้ำหนักโมเลกุล 198.218 กรัมต่อโมล ความถ่วงจำเพาะ 1.050 กรัมต่อมิลลิลิตร



ภาพที่ 10 โครงสร้างสารเชื่อมขวางเอทิลีนไกลคอลไดเมทาคริเลท

2. ฐานพื้นเทียมอะคริลิกชนิดป่นด้วยความร้อนโรเด็กซ์ (Rodex, Rodont S.r.l., Milan, Italy)
3. ปูนพลาสติกอร์หิน
4. เรซินหล่อใส

ศูนย์วิทยทรัพยากร  
จุฬาลงกรณ์มหาวิทยาลัย



ก.

ข.

ค.



ง.

จ.

ฉ.

ช.

ภาพที่ 11 อะคริลิกและสารเคมีที่ใช้ในการวิจัย

- ก. อะคริลิกใสชนิดบ่มด้วยความร้อนโรเด็กซ์
- ข. วัสดุอัดแทรกแก้วขนาดไมโคร 0.7 ไมโครเมตร
- ค. วัสดุอัดแทรกซิลิกาขนาดนาโน 10-20 นาโนเมตร
- ง. สารคู่ควบไซเลน
- จ. สารเชื่อมขวางเอทิลีนไกลคอลไดเมทาคริเลท
- ฉ. อะคริลิกสีเหมือนฟันชนิดบ่มด้วยความร้อนชนิดเมเจอร์
- ช. ฐานฟันเทียมอะคริลิกชนิดบ่มด้วยความร้อนโรเด็กซ์

ศูนย์วิทยทรัพยากร  
จุฬาลงกรณ์มหาวิทยาลัย

## วิธีการวิจัย

การศึกษานี้เป็นการหาสัดส่วนของวัสดุอัดแทรกและสารเชื่อมขวางที่เหมาะสมสำหรับปรับปรุงสมบัติของอะคริลิกใส ให้สามารถใช้เป็นวัสดุสำหรับผลิตซีฟันเทียม โดยการทดสอบประกอบด้วย 3 ขั้นตอน คือ

**ตอนที่ 1** ศึกษาความแข็งแรงและการยึดติดกับฐานฟันเทียมของซีฟันเทียมสำเร็จรูปและอะคริลิก ชนิดบ่มด้วยความร้อน

ตารางที่ 1 กลุ่มซีฟันเทียมสำเร็จรูปและอะคริลิกชนิดบ่มด้วยความร้อน

ลำดับ	ชื่อ	ชื่อย่อ
<b>ฟันอะคริลิกทางการค้า</b>		
1	Major Dent, Major Prodotti, Italy	Mj
2	Ortolux Top, Unidesa-Odi, Spain	Or
<b>ฟันอะคริลิกเทอร์โมพลาสติก</b>		
3	Thermoplastic	PCP
<b>อะคริลิกชนิดบ่มด้วยความร้อน</b>		
4	Major C&B Dentine 4F, Italy	4F
5	Rodex clear, Rodont S.r.l., Milan, Italy	clear

**ตอนที่ 2** ศึกษาความแข็งแรงและการยึดติดกับฐานฟันเทียมของอะคริลิกชนิดดัดแปรที่มีวัสดุอัดแทรก

ตารางที่ 2 กลุ่มอะคริลิกชนิดดัดแปรที่มีวัสดุอัดแทรก

ลำดับ	ชื่อ	ชื่อย่อ
<b>กลุ่มควบคุม</b>		
1	Major C&B	4F
2	Rodex clear	clear
<b>กลุ่มทดลอง</b>		
3	Rodex clear + Micro BBAS 10%	BBAS 10%
4	Rodex clear + Micro BBAS 15%	BBAS 15%
5	Rodex clear + NanoSiO <sub>2</sub> 1%	Si 1%
6	Rodex clear + NanoSiO <sub>2</sub> 3%	Si 3%

**ตอนที่ 3** ศึกษาความแข็งแรงและการยึดติดกับฐานพื้นเทียมของอะคริลิกชนิดดัดแปรที่มีวัสดุอัดแทรก ร่วมกับสารเชื่อมขวาง

ตารางที่ 3 กลุ่มอะคริลิกชนิดดัดแปรที่มีวัสดุอัดแทรก ร่วมกับสารเชื่อมขวาง

ลำดับ	ชื่อ	ชื่อย่อ
<b>กลุ่มควบคุม</b>		
1	Major C&B	4F
2	Rodex clear	clear
<b>กลุ่มทดลอง</b>		
3	Rodex clear + NanoSiO <sub>2</sub> 3%	Si 3%
4	Rodex clear + NanoSiO <sub>2</sub> 3%+EGDMA 10%	Si 3%+EG10%
5	Rodex clear + NanoSiO <sub>2</sub> 3%+EGDMA 20%	Si 3%+EG20%

### ขั้นตอนการเตรียมชิ้นงานอะคริลิกชนิดดัดแปร

#### 1. การเตรียมพื้นผิววัสดุอัดแทรกด้วยสารคู่ควบไฮโดรเจน

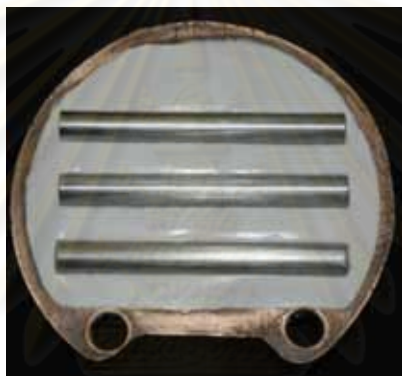
การเตรียมพื้นผิว วัสดุอัดแทรก ซิลิกาด้วย สารคู่ควบ ไฮโดรเจน แกมมาเอมพีเอ ส เตรียมตาม วิธีที่ บริษัทผู้ผลิตกำหนด คือ เตรียมสารละลายกรดอะซิติกที่ค่าความเป็นกรด 4.2 ค่อย ๆ หยดไฮโดรเจนลงใน สารละลายกรดที่เตรียมไว้บนเครื่องคนสาร (stirrer) จนไฮโดรเจนละลายเป็นสารละลายที่ค่อนข้างใส

นำวัสดุอัดแทรก ซิลิกา ขนาดนาโน แชนในสารละลายไฮโดรเจนในเครื่องอัลตราโซนิก (Transsonic Digital S, Elma, ความถี่ 40 กิโลเฮิรท์) เป็นเวลา 30 นาที เก็บวัสดุอัดแทรกซิลิกาในสารละลายไฮโดรเจน ข้ามคืน แล้วจึง แยกวัสดุอัดแทรก ซิลิกาออกจากสารละลายไฮโดรเจนด้วยเครื่องหมุนเหวี่ยง (Sigma Laboratory Centrifuges รุ่น 6K15, UK) ที่แรงหมุนเหวี่ยง (RCF) 3,000 กรัม อุณหภูมิ 25 องศาเซลเซียส เป็นเวลา 15 นาที ล้างวัสดุอัดแทรกซิลิกาด้วยน้ำร้อนเดือดเป็นเวลา 15 นาที แล้วจึงแยกวัสดุอัดแทรกซิลิกาด้วยเครื่องหมุนเหวี่ยงอีกครั้ง นำไปอบที่อุณหภูมิ 110 องศาเซลเซียสเป็นเวลา 2 ชั่วโมง [67] นำวัสดุอัดแทรกซิลิกาที่อบแห้งแล้วมาบดให้ละเอียด และกรองแยกขนาดอนุภาค (เครื่องแยกสาร ด้วยตะแกรง รุ่น AS200 digit, Retsch, Germany) โดยขนาดเล็ที่สุดที่สามารถกรองได้คือ 45 ไมครอน เพื่อนำมาใช้ทดลองต่อไป

#### 2. การทำซีพินอะคริลิกชนิดดัดแปร

ซึ่งนำหนักอะคริลิกชนิดบ่มด้วยความร้อนตามอัตราส่วนของบริษัทผู้ผลิต (ส่วนผง 35 กรัม ส่วนน้ำ 15 มิลลิลิตร) และวัสดุอัดแทรก ที่ผ่านการเตรียมพื้นผิวด้วย สารคู่ควบไฮโดรเจน ได้แก่ วัสดุอัดแทรก แก้ว ขนาดไมโครโนปริมาณร้อยละ 10 และ 15 โดยน้ำหนัก วัสดุอัดแทรกซิลิกาขนาดนาโนในปริมาณร้อยละ 1 และ 3 โดยน้ำหนัก และวัสดุอัดแทรกซิลิกาขนาดนาโนร้อยละ 3 ที่มีสารเชื่อมขวางในปริมาณร้อยละ

10 และ 20 โดยน้ำหนัก ดังตารางที่ 4 และ 5 โดยผสมส่วนผงกับส่วนน้ำ รอจนถึงระยะโด จึงนำไปอัดในพลาสติกที่เตรียมไว้เป็นรูปทรงกระบอกขนาดเส้นผ่านศูนย์กลาง 8.5 มิลลิเมตร ยาว 75 มิลลิเมตร โดยมีแผ่นเซลโลเฟนคั่นในเครื่องอัดพลาสติกไฮดรอลิก (hydraulic flask press, รุ่น EWL 5414, Kavo, West Germany) ที่แรงดัน 20,000 นิวตันด้วยวิธีอัด 3 ครั้ง (trial pack) จากนั้นตั้งทิ้งไว้ที่อุณหภูมิห้องอีกประมาณ 60 นาที นำชิ้นงานไปป้อนในเครื่องบ่มอะคริลิกด้วยความร้อน (curing unit, รุ่น 5518, Kavo, West Germany) ด้วยวิธีการบ่มระยะยาวในน้ำอุ่นอุณหภูมิ 74 องศาเซลเซียสต่อเนื่องเป็นเวลา 9 ชั่วโมง แล้วทิ้งไว้ให้เย็นที่อุณหภูมิห้อง นำชิ้นงานมาตัดด้วยเครื่องตัดฟัน (low speed cutting machine, รุ่น Isomet 4000, Buehler, USA) ให้มีความยาว 5 มิลลิเมตร เพื่อนำมาใช้ในการทดสอบต่อไป



ภาพที่ 12 การลงพลาสติกแม่แบบโลหะไร้สนิมรูปทรงกระบอก



ภาพที่ 13 การอัดอะคริลิกชนิดตัดแปรรูปเป็นรูปทรงกระบอก



ตารางที่ 4 แสดงปริมาณของส่วนผง ส่วนน้ำของอะคริลิกและวัสดุอุดแทรก

% Filler	PMMA (g)	Filler (g)	Monomer (ml)
0	35.00	0.00	15
1% SiO <sub>2</sub>	34.65	0.35	15
3% SiO <sub>2</sub>	33.95	1.05	15
10% BBAS	31.50	3.50	15
15% BBAS	29.75	5.25	15

ตารางที่ 5 แสดงปริมาณของส่วนผง ส่วนน้ำของอะคริลิก วัสดุอุดแทรกและสารเชื่อมขวาง

% Filler + Cross-linking	PMMA (g)	Filler (g)	Monomer (ml)	Cross-linking (g)
3% SiO <sub>2</sub>	33.95	1.05	15	0
3% SiO <sub>2</sub> + 10%EGDMA	33.95	1.05	15	3.5
3% SiO <sub>2</sub> + 20%EGDMA	33.95	1.05	15	7.0



ภาพที่ 14 ชิ้นตัวอย่างอะคริลิกชนิดดัดแปรรูปทรงระบอบ

### ขั้นตอนการทดสอบความแข็งวิกเกอร์ส

#### 1. เตรียมชิ้นงานที่พื้นเทียม

เตรียมชิ้นงานโดยนำซี ฟันเทียม ล้าง ในน้ำเดือด นาน 1 นาที ทิ้งไว้ให้เย็น และปล่อยให้แห้ง ผสมเรซินหล่อใส่เทในแม่พิมพ์ซิลิโคนรูปแท่ง นำซี ฟันเทียมวางฝังในเรซินหล่อใส่ ทิ้งไว้จนเรซินหล่อใส่แข็งตัวจึงแกะออกจากแม่พิมพ์ นำแท่งเรซิน หล่อใส่ที่มีซี ฟันเทียมฝังอยู่ไปตัดตามแนวกึ่งกลางพื้นด้วย เครื่องตัดฟัน (low speed cutting machine, รุ่น Isomet 4000, Buehler, USA) นำชิ้นงานทั้งหมดไปขัดด้วยกระดาษทรายน้ำเบอร์ 1000 และอะลูมิเนียมออกไซด์ ขนาด 0.05 ไมโครเมตร โดยใช้เครื่องขัดผิว วัสดุ (polishing machine, รุ่น Ecomet 250, Buehler, USA)

## 2. เตรียมชิ้นงานอะคริลิกชนิดดัดแปร

นำชิ้นงานอะคริลิกชนิดดัดแปรที่บ่มและตัดเป็นชิ้นทรงกระบอกหนา 5 มิลลิเมตรที่เตรียมไว้แล้ว ไม่ต้องวางฝังในเรซินหล่อใส นำไปขัดด้วยกระดาษทรายน้ำเบอร์ 1000 และอะลูมิเนียมออกไซด์ ขนาด 0.05 ไมโครเมตร โดยใช้เครื่องขัดผิววัสดุ

## 3. ทดสอบความแข็งวิกเกอร์ส

นำชิ้นงานไปทดสอบความแข็ง วิกเกอร์สโดยใช้เครื่องทดสอบความแข็ง แบบจุลภาค (hardness testing machine รุ่น MicroWiZhard , Mitutoyo, Japan, Vicker indenter No.33906 HV) โดยใช้แรงกด 300 กรัม เป็นเวลา 15 วินาที วัดความแข็ง ของซีฟันเทียมแต่ละชั้น ชั้นละ 5 ครั้งต่อชิ้นตัวอย่าง โดยเครื่องวัดจะคำนวณเป็นค่าความแข็งวิกเกอร์ส (Vickers hardness number) ใช้ค่ากึ่งกลางเป็นค่าตัวแทนความแข็งวิกเกอร์สของแต่ละชั้น ส่วนซีฟันเทียมที่มี 2 ชั้น จะเลือกใช้ค่าความแข็งของชั้นเคลือบฟันเป็นตัวแทนเนื่องจากเป็นส่วนด้านบดเคี้ยวที่ต้องการความแข็งผิวสูง



ภาพที่ 15 ซีฟันเทียมที่เตรียมสำหรับทดสอบความแข็งวิกเกอร์ส



ภาพที่ 16 รอยกดความแข็งวิกเกอร์ส

## ขั้นตอนการทดสอบความแข็งแรงการยึดติดกับวัสดุฐานฟันเทียม

### 1. การเตรียมชิ้นงานรูปดัมเบล

นำซีฟันเทียมขนาดซีฟันที่มีความกว้างมากกว่า 9 มิลลิเมตร นำไปยึดติดกับแท่งอะคริลิกโดยติดซีฟันด้านบดเคี้ยวด้วยซีฟันเหนียว นำไปกลึงด้วย เครื่องกลึง กลึง ซีฟันโดยรอบ และตัดซีฟันด้าน

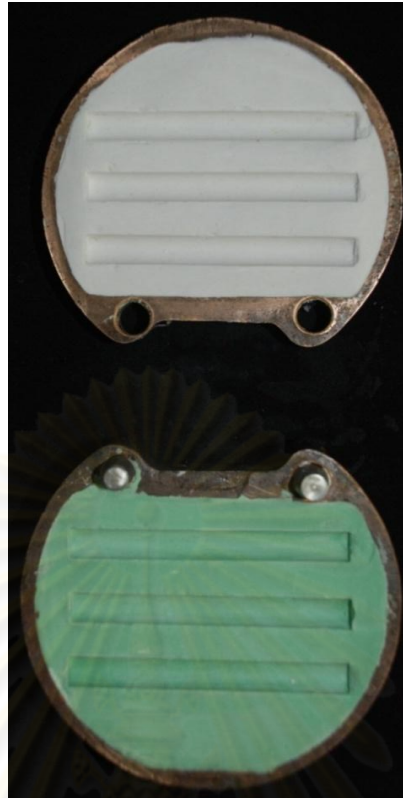
เห็ออกอกให้เป็นทรงกระบอกขนาดเส้นผ่านศูนย์กลาง 8.5 มิลลิเมตร และตัดด้านบดเค็ยวที่มีส่วนของชั้นเคลือบฟันออก ล้างด้วยน้ำร้อนเดือด ทิ้งไว้ให้เย็นและแห้ง ส่วนชิ้นงานอะคริลิกชนิดดัดแปรที่เตรียมเป็นรูปทรงกระบอกไว้แล้วสามารถนำมาใช้ทำชิ้นงานรูปดัมเบลได้เลย



ภาพที่ 17 ชิ้นฟันเทียมที่เตรียมสำหรับการทดสอบการยึดติดกับวัสดุฐานฟันเทียม

เตรียมพลาสติกแม่แบบปูนพลาสติกอร์หินโดยใช้แท่งโลหะไร้สนิมรูปทรงกระบอกขนาดเส้นผ่านศูนย์กลาง 8.5 มิลลิเมตร ยาว 75 มิลลิเมตร เป็นแม่แบบ ทาสารคั่นกลาง (tin foil substitute) ผสมอะคริลิกฐานฟันเทียม (Rodex) โดยใช้อัตราส่วนที่บริษัทผู้ผลิตกำหนด (ส่วนผง 35 กรัม ส่วนน้ำ 15 มิลลิลิตร) รอจนถึงระยะโด (dough stage) จึงนำไปอัดในพลาสติกโดยมี แผ่นเซลโลเฟน คั่นในเครื่องอัดพลาสติกไฮดรอลิก (hydraulic flask press, รุ่น EWL 5414, Kavo, West Germany) ทำซ้ำ 3 ครั้ง ที่แรงดัน 20,000 นิวตัน โดยครั้งที่สองจะนำชิ้นฟันเทียมฝังลงในอะคริลิกฐานฟันเทียมตรงกึ่งกลางและขนานกับแนวกึ่งกลางแห่งทรงกระบอก จากนั้นตั้งทิ้งไว้ที่อุณหภูมิห้องอีกประมาณ 60 นาที จึงนำชิ้นงานไปบ่มในเครื่องบ่มอะคริลิกด้วยความร้อน (curing unit, รุ่น 5518, Kavo, West Germany) ด้วยวิธีการบ่มระยะยาวในน้ำอุ่นอุณหภูมิ 74 องศาเซลเซียสต่อเนื่องเป็นเวลา 9 ชั่วโมง แล้วทิ้งไว้ให้เย็นที่อุณหภูมิห้อง

ศูนย์วิทยทรัพยากร  
จุฬาลงกรณ์มหาวิทยาลัย



ภาพที่ 18 การเตรียมแม่แบบปูนปลาสเตอร์หินรูปทรงกระบอก

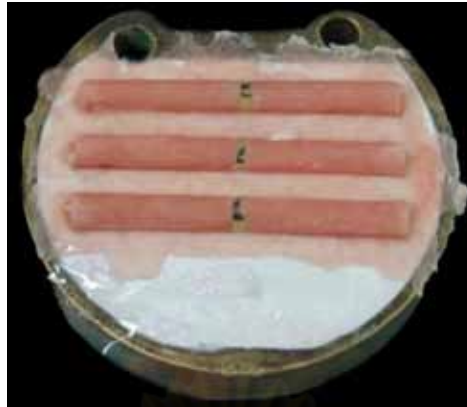
ชิ้นงานที่บ่มแล้วนำมาถอดแต่งส่วนเกินออกและนำไปกลึงให้มีรูปร่างทรงกระบอกรูปดัมเบล ดังภาพที่ 20 ระวังอย่าให้รอยขีดข่วนหรือขรุขระบนผิวชิ้นงาน

## 2. ทดสอบค่าความแข็งแรงยึดติดกับฐานพื้นเทียม

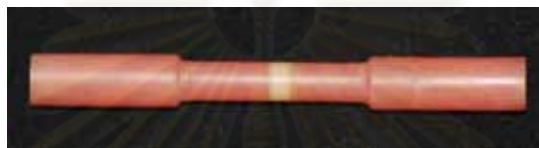
ทดสอบค่าความแข็งแรงยึดติดโดยใช้เครื่องทดสอบแรงดึงแรงอัด (universal testing machine, Lloyd รุ่น LR 10K, UK) โดยให้แรงดึงที่ความเร็วหัวดึง 0.254 มิลลิเมตรต่อนาที จนชิ้นงานเกิดการแตกหัก คำนวณค่าความแข็งแรงยึดติดเป็นค่าเฉลี่ยของชิ้นงาน 10 ชิ้น

$$\text{ความแข็งแรงการยึดติด} = \frac{\text{ค่าแรงดึง}}{\text{พื้นที่หน้าตัด}}$$

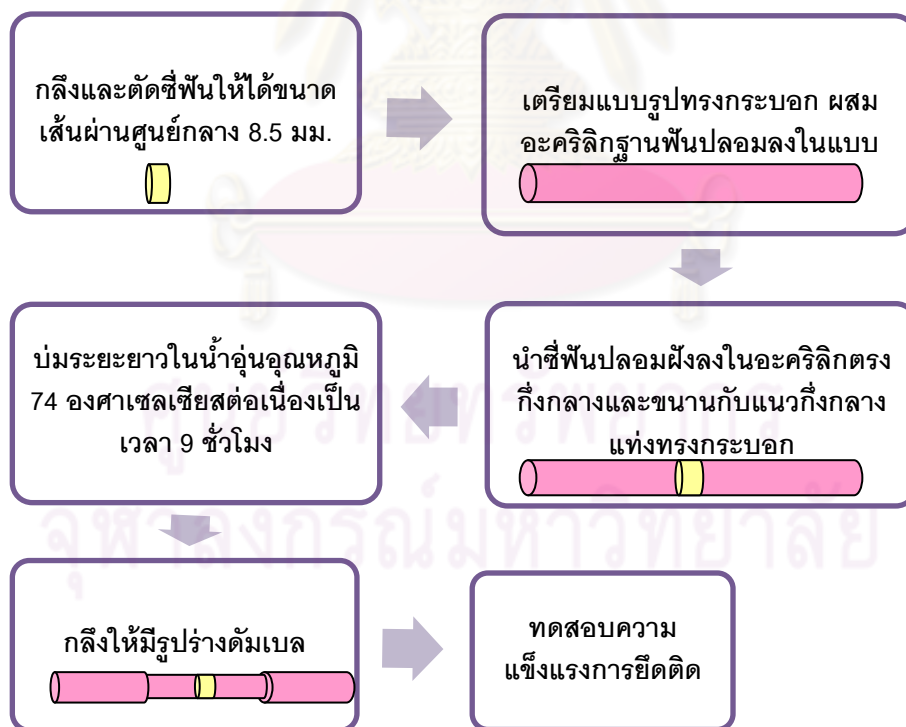
(หน่วยเป็นนิวตันต่อตารางมิลลิเมตรหรือเมกะปาสคาล)



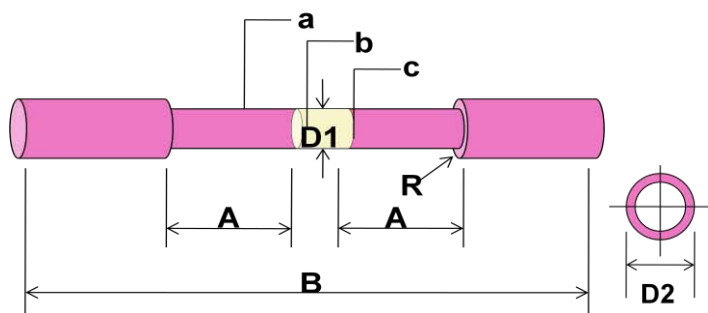
ภาพที่ 19 การเตรียมชิ้นทดสอบความแข็งแรงการยึดติด



ภาพที่ 20 ชิ้นทดสอบความแข็งแรงการยึดติดกึ่งเป็นรูปดัมเบล



ภาพที่ 21 แผนภูมิแสดงการเตรียมชิ้นงานรูปดัมเบล



ภาพที่ 22 การเตรียมชิ้นงานรูปดัมเบล

$A=12.7$  มิลลิเมตร,  $B=75.0\pm 1.0$  มิลลิเมตร,  $D1=6.35\pm 0.25$  มิลลิเมตร

$D2=8.0\pm 0.25$  มิลลิเมตร,  $R=6.35$  มิลลิเมตร

- a) ฐานพื้นเทียม
- b) ชีพื้นเทียม
- c) รอยต่อการยึดติด



ภาพที่ 23 ที่จับชิ้นงานการทดสอบความแข็งแรงยึดติดแบบดึง

### 3. การตรวจรูปแบบการแตกหัก

ตรวจรูปแบบการแตกหักที่เกิดขึ้น ได้แก่ การแตกหัก แบบแอดฮีซีฟ (adhesive failure) การแตกหักแบบโคฮีซีฟในฐานพื้นเทียม (cohesive failure) การแตกหักแบบโคฮีซีฟ ในชีพื้นเทียม การแตกหักแบบแอดฮีซีฟร่วมกับโคฮีซีฟในฐานพื้นเทียม และการแตกหัก แอดฮีซีฟร่วมกับโคฮีซีฟ ในชีพื้นเทียมด้วยกล้องจุลทรรศน์ชนิดสเตอริโอโคป (Meiji Stereo Microscope, ML 9300) กำลังขยาย 40 เท่า

## การวิเคราะห์ผลการทดสอบโดยวิธีทางสถิติ

**ตอนที่ 1** ศึกษาความแข็งแกร่งและการยึดติดกับฐานพื้นเทียมของซีพินเทียมสำเร็จรูปและอะคริลิกชนิดบ่มด้วยความร้อน

1. เปรียบเทียบ ค่าเฉลี่ย ความแข็งแกร่ง ทดสอบการกระจายตัวของข้อมูลด้วย One-Sample Kolmogorov-Smirnov Test พบว่า ข้อมูลทุกกลุ่มมีการแจกแจงของข้อมูลแบบปกติ ( $p > 0.05$ ) จึงทำการทดสอบความเท่ากันของความแปรปรวน (Test of Homogeneity of Variances) พบว่าค่าความแปรปรวนของแต่ละกลุ่มไม่เท่ากัน จึง ทดสอบด้วย Robust Tests of Equality of Means: Brown-Forsythe พบว่ามีค่าความแข็งแกร่งแตกต่างกันอย่างน้อย 1 คู่ จึงทดสอบหา คู่ที่แตกต่างด้วยการเปรียบเทียบเชิงซ้อนแทมเฮน (Multiple Comparisons: Tamhane's T2)
2. เปรียบเทียบ ค่าเฉลี่ย ความแข็งแกร่ง การยึดติด ทดสอบการกระจายตัวของข้อมูลด้วย One-Sample Kolmogorov-Smirnov Test พบว่า ข้อมูลทุกกลุ่มมีการแจกแจงของข้อมูลแบบปกติ ( $p > 0.05$ ) จึงทำการทดสอบความเท่ากันของความแปรปรวน (Test of Homogeneity of Variances) พบว่าค่าความแปรปรวนของแต่ละกลุ่มไม่เท่ากัน จึง ทดสอบด้วย Robust Tests of Equality of Means: Brown-Forsythe พบว่ามีค่าความแข็งแกร่งแตกต่างกันอย่างน้อย 1 คู่ จึง ทดสอบหา คู่ที่แตกต่างด้วยการเปรียบเทียบเชิงซ้อน แทมเฮน (Multiple Comparisons: Tamhane's T2)

**ตอนที่ 2** ศึกษาความแข็งแกร่งและการยึดติดกับฐานพื้นเทียมของ อะคริลิกชนิดดัดแปร ที่มีวัสดุอัดแทรก

1. เปรียบเทียบ ค่าเฉลี่ย ความแข็งแกร่ง ทดสอบการกระจายตัวของข้อมูลด้วย One-Sample Kolmogorov-Smirnov Test พบว่า ข้อมูลทุกกลุ่มมีการแจกแจงของข้อมูลแบบปกติ ( $p > 0.05$ ) จึงทำการทดสอบความเท่ากันของความแปรปรวน (Test of Homogeneity of Variances) พบว่าค่าความแปรปรวนของแต่ละกลุ่มไม่เท่ากัน จึง ทดสอบด้วย Robust Tests of Equality of Means: Brown-Forsythe พบว่ามีค่าความแข็งแกร่งแตกต่างกันอย่างน้อย 1 คู่ จึงทดสอบหา คู่ที่แตกต่างด้วยการเปรียบเทียบเชิงซ้อนแทมเฮน (Multiple Comparisons: Tamhane's T2)
2. เปรียบเทียบ ค่าเฉลี่ย ความแข็งแกร่ง การยึดติด ทดสอบการกระจายตัวของข้อมูลด้วย One-Sample Kolmogorov-Smirnov Test พบว่า ข้อมูลทุกกลุ่มมีการแจกแจงของข้อมูลแบบปกติ ( $p > 0.05$ ) จึงทำการทดสอบความเท่ากันของความแปรปรวน (Test of Homogeneity of Variances) พบว่าค่าความแปรปรวนของแต่ละกลุ่มเท่ากัน จึงวิเคราะห์ความแปรปรวนแบบทางเดียว (One-way ANOVA) พบว่ามีอย่างน้อยสองกลุ่มที่ค่าแตกต่างกันอย่างมีนัยสำคัญ จึง

ทดสอบหาคู่ที่แตกต่างด้วยการเปรียบเทียบเชิงซ้อน ทูกี (Multiple Comparisons: Tukey HSD)

**ตอนที่ 3** ศึกษาความแข็งแรงและการยึดติดกับฐานพื้นเทียมของ อะคริลิกชนิดดัดแปร ที่มีวัสดุอัดแทรกพร้อมกับสารเชื่อมขวาง

1. เปรียบเทียบ ค่าเฉลี่ย ความแข็งแรง ทดสอบการกระจายตัวของข้อมูลด้วย One-Sample Kolmogorov-Smirnov Test พบว่า ข้อมูลทุกกลุ่มมีการแจกแจงของข้อมูลแบบปกติ ( $p>0.05$ ) จึงทำการทดสอบความเท่ากันของความแปรปรวน (Test of Homogeneity of Variances) พบว่าค่าความแปรปรวนของแต่ละกลุ่มไม่เท่ากัน จึงวิเคราะห์ความแปรปรวนแบบทางเดียว (One-way ANOVA) พบว่ามีค่าความแข็งแรงแตกต่างกันอย่างน้อย 1 คู่ จึงทดสอบหาคู่ที่แตกต่างด้วยการเปรียบเทียบเชิงซ้อนทูกี (Multiple Comparisons: Tukey HSD)
2. เปรียบเทียบ ค่าเฉลี่ย ความแข็งแรง แรงการยึดติด ทดสอบการกระจายตัวของข้อมูลด้วย One-Sample Kolmogorov-Smirnov Test พบว่า ข้อมูลทุกกลุ่มมีการแจกแจงของข้อมูลแบบปกติ ( $p>0.05$ ) จึงทำการทดสอบความเท่ากันของความแปรปรวน (Test of Homogeneity of Variances) พบว่าค่าความแปรปรวนของแต่ละกลุ่มเท่ากัน จึงวิเคราะห์ความแปรปรวนแบบทางเดียว (One-way ANOVA) พบว่ามีอย่างน้อยสองกลุ่มที่ค่าแตกต่างกันอย่างมีนัยสำคัญ จึงทดสอบหาคู่ที่แตกต่างด้วยการเปรียบเทียบเชิงซ้อน ทูกี (Multiple Comparisons: Tukey HSD)

ศูนย์วิทยทรัพยากร  
จุฬาลงกรณ์มหาวิทยาลัย



## บทที่ 4

### ผลการวิเคราะห์ข้อมูล

#### ผลข้อมูล

การทดสอบความแข็งแรงผิววิกเกอร์สโดยใช้แรงกด 300 กรัม เป็นเวลา 15 วินาที ได้ค่าเฉลี่ยความแข็งแรงและค่าเบี่ยงเบนมาตรฐานดังตารางที่ 6

ตารางที่ 6 ข้อมูลจากการทดสอบความแข็งแรงผิวเรียงจากค่าน้อยไปมาก

กลุ่ม	ชนิด/ยี่ห้อ	ค่าเฉลี่ย	ค่าเบี่ยงเบนมาตรฐาน
1	อะคริลิกใส	21.30	0.29
2	อะคริลิกใสและซิลิกาขนาดนาโนร้อยละ 1	21.73	0.32
3	อะคริลิกใส ซิลิกาขนาดนาโนร้อยละ 3 และสารเชื่อมขวางร้อยละ 10	21.81	0.47
4	อะคริลิกใสและแก้วขนาดไมโครร้อยละ 15	21.95	0.41
5	อะคริลิกสีเหมือนฟัน	22.14	0.50
6	อะคริลิกใสและแก้วขนาดไมโครร้อยละ 10	22.29	0.21
7	ฟันเทอร์โมพลาสติก	22.41	0.64
8	ฟันอะคริลิกเมเจอร์เดนท	22.90	0.70
9	อะคริลิกใสและซิลิกาขนาดนาโนร้อยละ 3	23.09	0.23
10	อะคริลิกใส ซิลิกาขนาดนาโนร้อยละ 3 และสารเชื่อมขวางร้อยละ 20	23.34	0.43
11	ฟันอะคริลิกออร์โทดักซ์ทีอป	23.71	0.48

การทดสอบ ความแข็งแรงการยึดติด กับฐานฟันเทียม โดยนำ ชิ้นงานไปกลึงให้มีรูปร่างทรงกระบอกรูปดัมเบล ให้แรงดึงที่ความเร็วหัวดึง 0.254 มิลลิเมตรต่อนาที จนชิ้นงานเกิดการแตกหัก ได้ค่าเฉลี่ยความแข็งแรงการยึดติด ค่าเบี่ยงเบนมาตรฐานและรูปแบบการแตกหักดังตารางที่ 7

ตารางที่ 7 ข้อมูลจากการทดสอบความแข็งแรงการยึดติดกับฐานพื้นเทียมเรียงจากน้อยไปมาก

กลุ่ม	ชนิด/ยี่ห้อ	ค่าเฉลี่ย (MPa)	ค่าเบี่ยงเบน มาตรฐาน	ร้อยละของรูปแบบการ แตกหัก				
				ก	ข	ค	ง	จ
1	พื้นเทอร์โมพลาสติก	8.55	2.70	-	-	10	-	-
2	อะคริลิกสีเหมือนพื้น	21.40	6.37	90	10	-	-	-
3	อะคริลิกใส ซิลิกาขนาดนาโนร้อยละ 3 และสารเชื่อมขวางร้อยละ 10	23.54	6.95	40	-	-	60	-
4	อะคริลิกใส ซิลิกาขนาดนาโนร้อยละ 3 และสารเชื่อมขวางร้อยละ 20	23.79	4.52	10	-	40	-	50
5	อะคริลิกใส	26.59	7.19	50	20	-	30	-
6	อะคริลิกใสและแก้วขนาดไมโครร้อยละ 15	27.15	6.64	20	30	20	30	-
7	อะคริลิกใสและแก้วขนาดไมโครร้อยละ 10	27.20	7.39	60	-	-	40	-
8	อะคริลิกใสและซิลิกาขนาดนาโนร้อยละ 3	30.55	5.06	-	60	-	40	-
9	อะคริลิกใสและซิลิกาขนาดนาโนร้อยละ 1	30.85	8.86	-	70	-	30	-
10	พื้นอะคริลิกเมเจอร์เดนท์	38.25	6.96	30	40	-	30	-
11	พื้นอะคริลิกออร์โทแลกซ์ทีออป	40.65	9.01	40	30	-	30	-

## การวิเคราะห์ข้อมูล

**ตอนที่ 1** ความแข็งแรงและการยึดติดกับฐานฟันเทียมของซี่ฟันเทียมสำเร็จรูปและอะคริลิกชนิดบ่มด้วยความร้อน

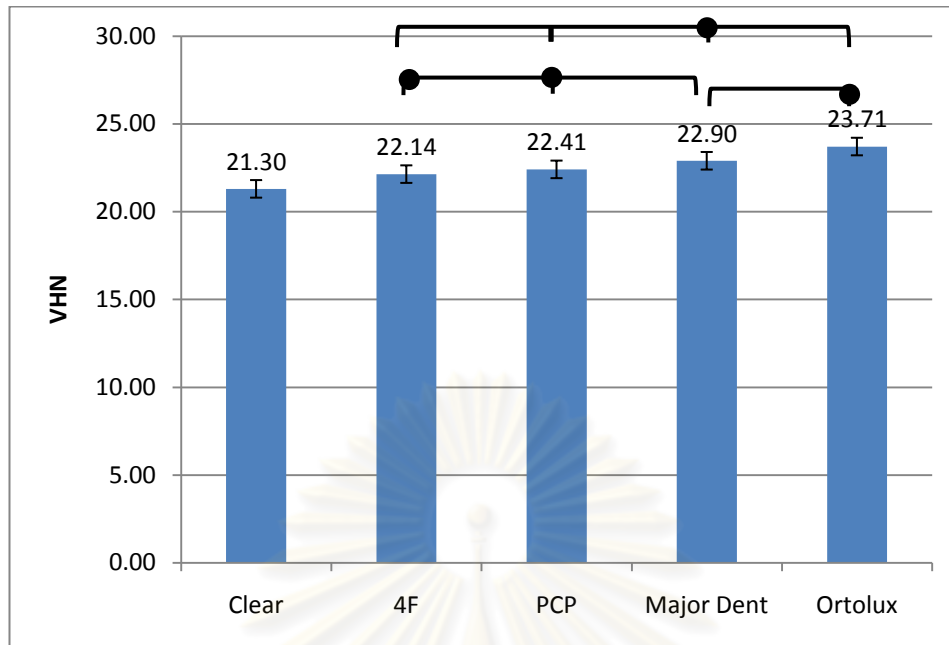
ตารางที่ 8 ผลการวิเคราะห์ความแข็งแรงและการยึดติดกับฐานฟันเทียมของซี่ฟันเทียมสำเร็จรูปและอะคริลิกชนิดบ่มด้วยความร้อน

กลุ่ม	VHN	TBS	รูปแบบการแตกหัก (จำนวนชิ้น)				
	Mean(SD)	Mean(SD)	ก	ข	ค	ง	จ
Clear	21.30(0.29)	26.59(7.19) <sup>C</sup>	5	2	-	3	-
Major 4F	22.14 (0.50) <sup>F M</sup>	21.40(6.37) <sup>C</sup>	9	1	-	-	-
PCP	22.41 (0.64) <sup>F M</sup>	8.55 (2.70)	-	-	10	-	-
Majordent	22.90 (0.70) <sup>F M O</sup>	38.25(6.96) <sup>M</sup>	3	4	-	3	-
Ortolux Top	23.71 (0.48) <sup>M O</sup>	40.65(9.01) <sup>M</sup>	4	3	-	3	-

ตัวกที่มีอักษรเหมือนกันหมายความว่าแตกต่างอย่างไม่มีนัยสำคัญ

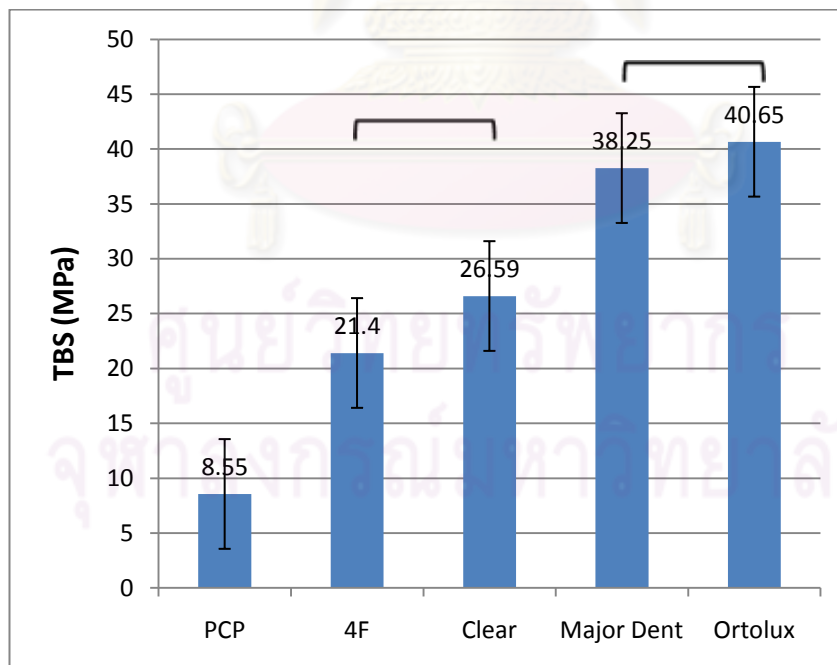
- ก. การแตกหักแบบแอตตีซีฟ
- ข. การแตกหักแบบโคฮีซีฟในฐานฟันเทียม
- ค. การแตกหักแบบโคฮีซีฟในซี่ฟันเทียม
- ง. การแตกหักแบบแอตตีซีฟร่วมกับโคฮีซีฟในฐานฟันเทียม
- จ. การแตกหักแบบแอตตีซีฟร่วมกับโคฮีซีฟในซี่ฟันเทียม

จุฬาลงกรณ์มหาวิทยาลัย



— หมายถึงแตกต่างกันอย่างไม่มีนัยสำคัญทางสถิติ

ภาพที่ 24 แผนภูมิแท่งแสดงค่าความแข็งผิวของซีฟันเทียมสำเร็จรูปและอะคริลิกชนิดบ่มด้วยความร้อน



— หมายถึงแตกต่างกันอย่างไม่มีนัยสำคัญทางสถิติ

ภาพที่ 25 แผนภูมิแท่งแสดงค่าความแข็งแรงยึดติดกับฐานฟันเทียมของซีฟันเทียมสำเร็จรูปและอะคริลิกชนิดบ่มด้วยความร้อน

การวิเคราะห์ผลตอนที่ 1 พบว่ากลุ่มอะคริลิกใสมีค่าความแข็งผิวต่ำสุดอย่างมีนัยสำคัญทางสถิติ แต่มีค่าความแข็งแรงการยึดติดกับฐานฟันเทียม สูงกว่าอะคริลิกสีเหมือนฟัน อย่างไม่มีนัยสำคัญทางสถิติ

ส่วนฟันเทอร์โมพลาสติก มีค่าความแข็งแรงการยึดติดกับฐานฟันเทียมต่ำสุดอย่างมีนัยสำคัญทางสถิติ โดยพบรูปแบบการแตกหักแบบโคฮีซีฟในซี่ฟันเทียมทั้งหมด แต่ มีค่าความแข็งผิวแตกต่างกันอย่างไม่มีนัยสำคัญทางสถิติกับอะคริลิกสีเหมือนฟัน และฟันอะคริลิกเมเจอร์เดนท

กลุ่มฟันอะคริลิกทางการค้าพบว่า ฟันอะคริลิก เมเจอร์เดนทมีค่าความแข็งผิวแตกต่างกันอย่างไม่มีนัยสำคัญทางสถิติกับฟันเทอร์โมพลาสติก อะคริลิกสีเหมือนฟัน และฟันอะคริลิกออร์โทแล็คซ์ทีอป

ฟันอะคริลิก ออร์โทแล็คซ์ทีอป มีค่าความแข็งผิว ค่าและความแข็งแรงการยึดติดกับฐานฟันเทียม สูงสุด แต่แตกต่างจากฟันอะคริลิกเมเจอร์เดนทอย่างไม่มีนัยสำคัญทางสถิติ

จากผลตอนที่ 1 นี้ถึงแม้ว่าอะคริลิกใสจะมีค่าความแข็งผิวต่ำแต่เนื่องจากมีสมบัติความใส สามารถนำมาปรับแต่งสีได้จึงนำอะคริลิกใสนี้มาปรับปรุงสมบัติให้ดีขึ้นเทียบเท่ากับฟันอะคริลิกทางการค้า

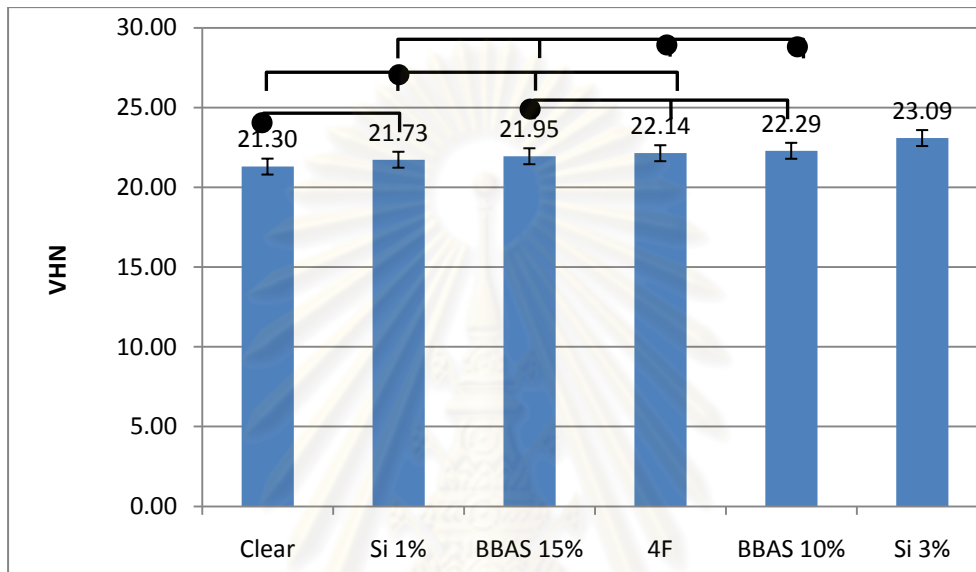
## ตอนที่ 2 ศึกษาความแข็งผิวและการยึดติดกับฐานฟันเทียมของอะคริลิกชนิดดัดแปรที่มีวัสดุอุดแทรก

ตารางที่ 9 ผลการวิเคราะห์ความแข็งผิวและการยึดติดกับฐานฟันเทียมของ  
อะคริลิกชนิดดัดแปรที่มีวัสดุอุดแทรก

กลุ่ม	VHN Mean(SD)	TBS Mean(SD)	รูปแบบการแตกหัก (จำนวนชิ้น)				
			ก	ข	ค	ง	จ
Clear	21.30(0.29) <sup>CS</sup>	26.59(7.19) <sup>SF</sup>	5	2	-	3	-
Si 1%	21.73(0.32) <sup>CS F</sup>	30.85(8.86) <sup>S</sup>	-	7	-	3	-
BBAS 15%	21.95(0.41) <sup>SBF</sup>	27.15(6.64) <sup>SF</sup>	2	3	2	3	-
Major 4F	22.14 (0.50) <sup>SBF</sup>	21.40(6.37) <sup>F</sup>	9	1	-	-	-
BBAS 10%	22.29(0.21) <sup>BF</sup>	27.20(7.39) <sup>SF</sup>	6	-	-	4	-
Si 3%	23.09(0.23)	30.55 (5.06) <sup>SF</sup>	-	6	-	4	-

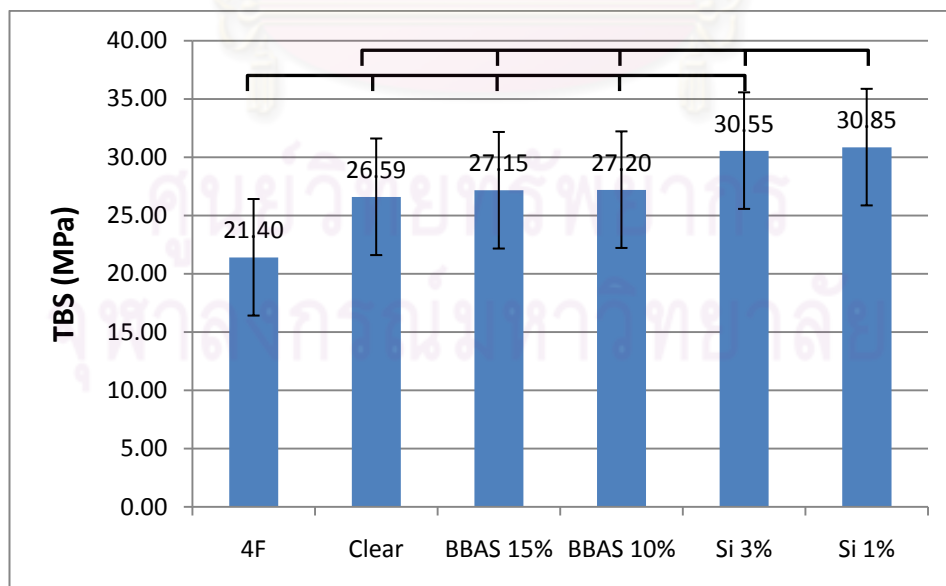
ตัวยกที่มีอักษรเหมือนกันหมายความว่าแตกต่างกันอย่างไม่มีนัยสำคัญ

- ก. การแตกหักแบบแอคฮีซีฟ
- ข. การแตกหักแบบโคฮีซีฟในฐานพื้นเทียม
- ค. การแตกหักแบบโคฮีซีฟในซีพื้นเทียม
- ง. การแตกหักแบบแอคฮีซีฟร่วมกับโคฮีซีฟในฐานพื้นเทียม
- จ. การแตกหักแบบแอคฮีซีฟร่วมกับโคฮีซีฟในซีพื้นเทียม



หมายถึงแตกต่างกันอย่างไม่มีนัยสำคัญทางสถิติ

ภาพที่ 26 แผนภูมิแท่งแสดงค่าความแข็งผิวของอะคริลิกชนิดดัดแปรที่มีวัสดุอัดแทรก



หมายถึงแตกต่างกันอย่างไม่มีนัยสำคัญทางสถิติ

ภาพที่ 27 แผนภูมิแท่งแสดงค่าความแข็งแรงยึดติดกับฐานพื้นเทียมของอะคริลิกชนิดดัดแปรที่มีวัสดุอัดแทรก

การวิเคราะห์ผลตอนที่ 2 พบว่าอะคริลิกใสมีค่าความแข็งผิวต่ำกว่าอะคริลิกชนิดดัดแปร ซิลิกาขนาดนาโนร้อยละ 1 อย่างไม่มีนัยสำคัญทางสถิติ จึงไม่ควรนำซิลิกาขนาดนาโนร้อยละ 1 มาปรับปรุงความแข็งผิวให้กับอะคริลิกใส

ส่วนอะคริลิกสีเหมือนฟันมีค่าความแข็งผิวแตกต่างกันอย่างไม่มีนัยสำคัญทางสถิติกับอะคริลิกชนิดดัดแปรซิลิกาขนาดนาโนร้อยละ 1 และอะคริลิกชนิดดัดแปรแก้วขนาดไมโครร้อยละ 10 และ 15 ดังนั้นถ้าต้องการปรับปรุงสมบัติความแข็งของอะคริลิกใสให้เทียบเท่าอะคริลิกสีเหมือนฟันสามารถใช้ 3 สูตรนี้ได้ แต่อะคริลิกชนิดดัดแปรแก้วขนาดไมโครร้อยละ 15 พบว่ามีรูปแบบการแตกหักแบบโคฮีซีฟในซี่ฟันเทียมร้อยละ 20 จึงไม่ควรนำสูตรนี้ไปใช้ทำซี่ฟันเทียม

อะคริลิกชนิดดัดแปรซิลิกาขนาดนาโนร้อยละ 3 มีค่าความแข็งสูงสุดอย่างมีนัยสำคัญทางสถิติ โดยไม่พบรูปแบบการแตกหักแบบแอดฮีซีฟเลย จากผลตอนที่ 2 นี้ จึงเลือกวัสดุอัดแทรกซิลิกาขนาดนาโนร้อยละ 3 มาปรับปรุงสมบัติเพิ่มต่อในตอนที่ 3



ศูนย์วิทยทรัพยากร  
จุฬาลงกรณ์มหาวิทยาลัย

**ตอนที่ 3** ศึกษาความแข็งแรงและการยึดติดกับฐานฟันเทียมของอะคริลิกชนิดดัดแปรที่มีวัสดุอุดแทรก ร่วมกับสารเชื่อมขวาง

ตารางที่ 10 ผลการวิเคราะห์ความแข็งแรงและการยึดติดกับฐานฟันเทียมของ  
อะคริลิกชนิดดัดแปรที่มีวัสดุอุดแทรก ร่วมกับสารเชื่อมขวาง

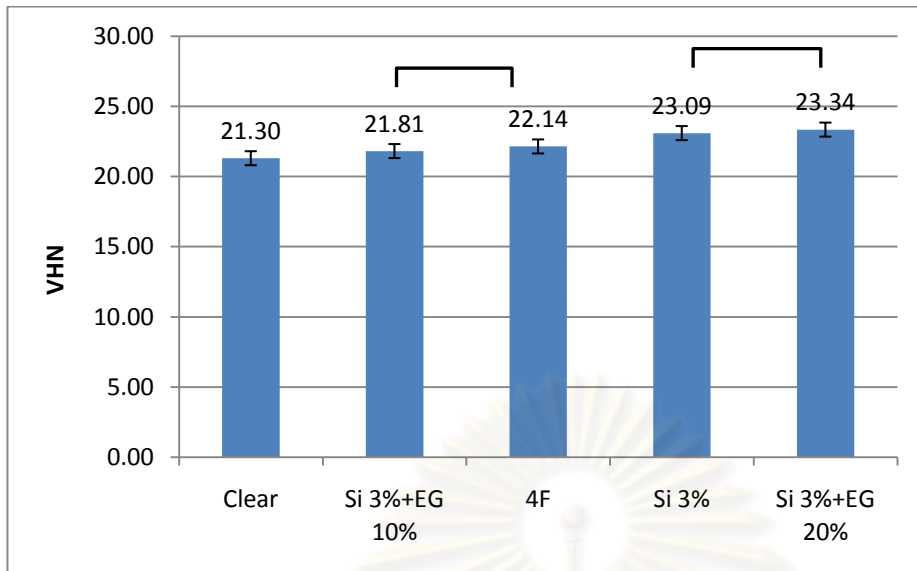
กลุ่ม	VHN	TBS	รูปแบบการแตกหัก (จำนวนชิ้น)				
	Mean(SD)	Mean(SD)	ก	ข	ค	ง	จ
Clear	21.30(0.29)	26.59(7.19) <sup>C</sup>	5	2	-	3	-
Si 3%+EG 10%	21.81(0.47) <sup>F</sup>	23.54(6.95) <sup>C S</sup>	4	-	-	6	-
Major 4F	22.14 (0.50) <sup>F</sup>	21.40(6.37) <sup>C S</sup>	9	1	-	-	-
Si 3%	23.09(0.23) <sup>G</sup>	30.55(5.06) <sup>S</sup>	-	6	-	4	-
Si 3%+EG 20%	23.34(0.43) <sup>G</sup>	23.79(4.52) <sup>C S</sup>	1	-	4	-	5

ตัวอักษรที่มีอักษรเหมือนกันหมายความว่าแตกต่างอย่างไม่มีนัยสำคัญ

- ก. การแตกหักแบบแอตซีซีฟ
- ข. การแตกหักแบบโคฮีซีฟในฐานฟันเทียม
- ค. การแตกหักแบบโคฮีซีฟในซี่ฟันเทียม
- ง. การแตกหักแบบแอตซีซีฟร่วมกับโคฮีซีฟในฐานฟันเทียม
- จ. การแตกหักแบบแอตซีซีฟร่วมกับโคฮีซีฟในซี่ฟันเทียม

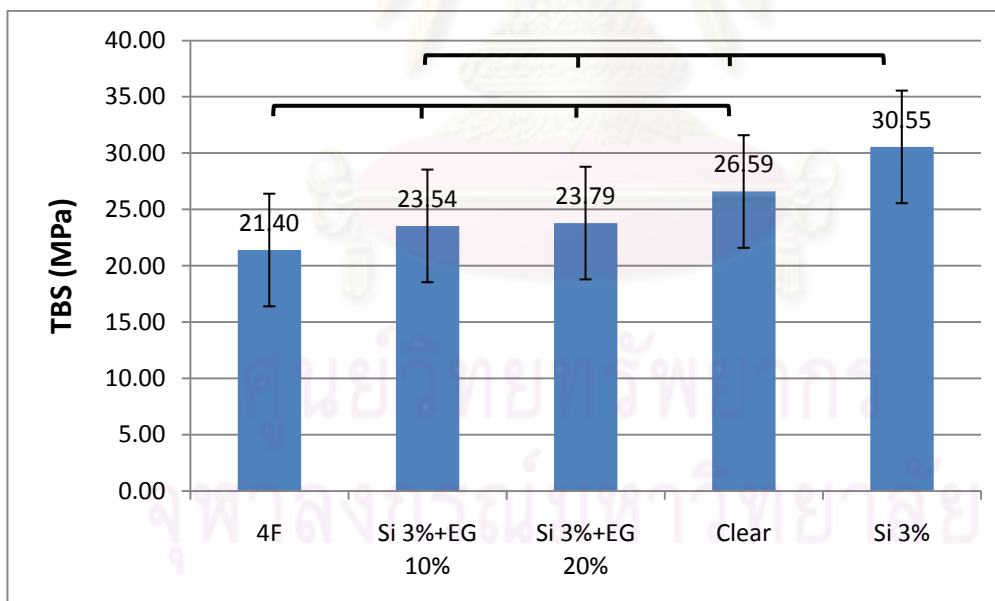
จุฬาลงกรณ์มหาวิทยาลัย





หมายถึงแตกต่างกันอย่างไม่มีนัยสำคัญทางสถิติ

ภาพที่ 28 แสดงแผนภูมิแท่งค่าความแข็งผิวของอะคริลิกชนิดดัดแปรที่มีวัสดุอัดแทรกพร้อมกับสารเชื่อมขวาง



หมายถึงแตกต่างกันอย่างไม่มีนัยสำคัญทางสถิติ

ภาพที่ 29 แสดงแผนภูมิแท่งค่าความแข็งแรงยึดติดกับฐานพื้นเทียมของอะคริลิกชนิดดัดแปรที่มีวัสดุอัดแทรกพร้อมกับสารเชื่อมขวาง

การวิเคราะห์ผลตอนที่ 3 พบว่ากลุ่มอะคริลิกใสมีค่าต่ำสุด แตกต่างจากกลุ่มอื่นอย่าง มีนัยสำคัญทางสถิติ แต่กลุ่มอะคริลิกชนิดดัดแปรซิลิกาขนาดนาโนร้อยละ 3 ที่มีสารเชื่อมขวางร้อยละ 10 กลับมีค่า

ความแข็งผิวลดลงแต่อย่างไม่มีนัยสำคัญทางสถิติ เมื่อเทียบกับอะคริลิกสีเหมือนฟัน และยังพบรูปแบบการแตกหักแบบแอคซีซีฟเพิ่ม สูตรนี้จึงไม่ควรเลือกใช้

กลุ่มอะคริลิกชนิดดัดแปรซิลิกาขนาดนาโนร้อยละ 3 ที่มีสารเชื่อมขวางร้อยละ 20 มีค่าความแข็งผิวสูงสุดแต่แตกต่างกันอย่างไม่มีนัยสำคัญทางสถิติกับอะคริลิกชนิดดัดแปรซิลิกาขนาดนาโนร้อยละ 3 แต่กลับพบว่าอะคริลิกชนิดดัดแปรซิลิกาขนาดนาโนร้อยละ 3 ที่มีสารเชื่อมขวางร้อยละ 20 มีรูปแบบการแตกหักแบบโคฮีซีฟในซีฟันเทียม ร้อยละ 40 และการแตกหักแบบแอคซีซีฟร่วมกับโคฮีซีฟในซีฟันเทียม ร้อยละ 50 ในขณะที่อะคริลิกชนิดดัดแปรซิลิกาขนาดนาโนร้อยละ 3 ไม่พบรูปแบบการแตกหักแบบแอคซีซีฟ ดังนั้นสูตรนี้น่าจะเป็นสูตรที่ดีที่สุดในการปรับปรุงความแข็งผิวและความแข็งแรงการยึดติดกับฐานฟันเทียม



ศูนย์วิทยทรัพยากร  
จุฬาลงกรณ์มหาวิทยาลัย

## บทที่ 5

### อภิปรายผล สรุปผลการวิจัย และข้อเสนอแนะ

#### อภิปรายผลการวิจัย

จากผลการทดลองพบว่า

ปฏิเสณสมมติฐานที่ 1 อะคริลิกชนิดบ่มด้วยความร้อนกับซีฟีนเทียมทางการค้ามี ค่าความแข็งผิว และการยึดติดกับฐานพื้นเทียมแตกต่างกันอย่างน้อย 1 คู่

ปฏิเสณสมมติฐานที่ 2 อะคริลิกชนิดบ่มด้วยความร้อนกับอะคริลิกชนิดบ่มด้วยความร้อนที่เติมวัสดุอัดแทรกมีค่าความแข็งผิวและการยึดติดกับฐานพื้นเทียมแตกต่างกันอย่างน้อย 1 คู่

ปฏิเสณสมมติฐานที่ 3 อะคริลิกชนิดบ่มด้วยความร้อนกับอะคริลิกชนิดบ่มด้วยความร้อนที่เติมวัสดุอัดแทรกและสารเชื่อมขวางมีค่าความแข็งผิวและการยึดติดกับฐานพื้นเทียมแตกต่างกันอย่างน้อย 1 คู่

การศึกษานี้ได้ศึกษาอะคริลิกชนิดบ่มด้วยความร้อนกับซีฟีนเทียมทางการค้า ได้แก่ อะคริลิกไอโซชนิดบ่มด้วยความร้อนอะคริลิกสีเหมือนฟันชนิดบ่มด้วยความร้อน ฟัน เมเจอร์เดนท์ ฟันออร์โทดักซ์ทีออป และฟันเทอร์โมพลาสติก

และได้ปรับปรุงสมบัติของอะคริลิกโดยการ ดัดแปลง เติมวัสดุอัดแทรก และสารเชื่อมขวาง ได้แก่ วัสดุอัดแทรกแก้วขนาดไมโครร้อยละ 10 และ 15 โดยน้ำหนัก วัสดุอัดแทรกซิลิกาขนาดนาโนร้อยละ 1 และ 3 โดยน้ำหนัก วัสดุอัดแทรกซิลิกาขนาดนาโนร้อยละ 3 โดยน้ำหนักร่วมกับสารเชื่อมขวางร้อยละ 10 และ 20 โดยน้ำหนัก

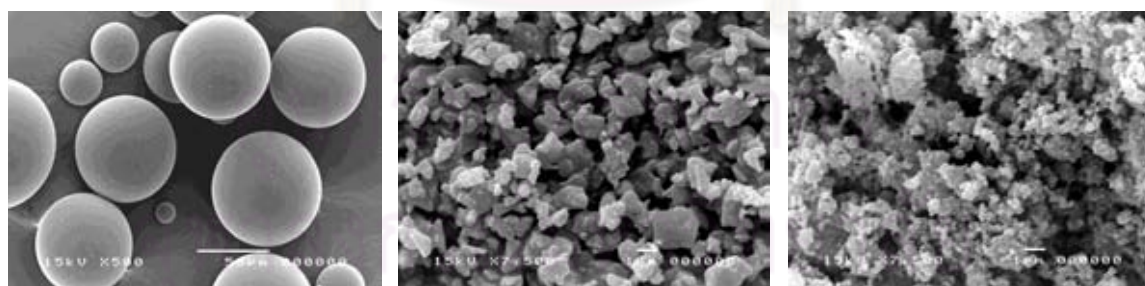
การเลือกปริมาณของวัสดุอัดแทรกมาใช้ทดสอบ นี้ มีการศึกษาพบว่าการเติมวัสดุอัดแทรกเส้นใยแก้ว (glass fiber) ขนาดไมโครร้อยละ 5 10 และ 15 โดยน้ำหนัก ช่วยเพิ่มความแข็งผิวให้พอลิเมทิลเมทาคริลิตอย่างมีนัยสำคัญ[23] จึงเลือกวัสดุอัดแทรกแก้วขนาดไมโครปริมาณร้อยละ 10 และ 15 โดยน้ำหนักมาศึกษาในการทดลองนี้

ส่วนวัสดุอัดแทรกขนาดนาโนที่เลือกมาศึกษานี้ จากความรู้เทคโนโลยีนาโนคอมโพสิต ซึ่งคือการนำวัสดุขนาดนาโนมาใช้เพิ่มสมบัติทางกลของวัสดุในปริมาณเพียงเล็กน้อย คือ ไม่เกินร้อยละ 5 แตกต่างจากวัสดุขนาดไมโครที่ต้องใช้วัสดุในปริมาณมากเพื่อเพิ่มสมบัติของวัสดุ แต่จากการศึกษานำร่อง การนำวัสดุอัดแทรกซิลิกาขนาดนาโน ซึ่งมีขนาด 10-20 นาโนเมตร มีน้ำหนักที่เบา มาผสมในปริมาณร้อยละ 10 โดยน้ำหนักนั้น ทำได้ยาก เพราะทำให้อัตราส่วนผงและส่วนเหลวแตกต่างกันมาก และอะคริลิกมีความหนืดสูงขึ้น การผสมด้วยมือทำให้วัสดุอัดแทรกเข้ากันได้ เป็นเนื้อเดียวกันยาก ซึ่งแตกต่างจากวัสดุ คอมโพสิต ที่ใช้ในวัสดุอุดฟันซึ่งมีแมทริกซ์เป็นของเหลวหนืด สามารถเติมวัสดุอัดแทรกได้ในปริมาณสูง ในการศึกษานำร่องได้ใช้วัสดุอัดแทรกนี้ในปริมาณร้อยละ 1 3 และ 5 โดยน้ำหนัก พบว่าเมื่อใช้ปริมาณวัสดุอัดแทรกที่สูงเกินไป หรือการใช้อัตราส่วนวัสดุอัดแทรกสองชนิด

แบบลูกผสม (hybrid) หรือการเพิ่มผงอะคริลิกที่น้ำหนักโมเลกุลสูงเข้าไป แทนที่ในส่วนผงในปริมาณร้อยละ 50 (MW=925,000-975,000) โดยน้ำหนัก ก็ไม่ได้ช่วยเพิ่มความแข็งแรง ผิวให้กับอะคริลิก จึงเลือกวัสดุอัดแทรกซิติกาขนาดนาโนร้อยละ 1 และ 3 โดยน้ำหนัก มาใช้ในการทดลอง และจากผลการทดลองนำร่องการทดสอบความแข็งแรงพบว่ากลุ่มทดลอง อะคริลิกชนิดดัดแปรที่มีวัสดุอัดแทรกซิติกาขนาดนาโนร้อยละ 3 โดยน้ำหนัก ให้ค่าความแข็งแรงสูงสุด (VHN=23.10) จึงนำสูตรนี้มาปรับปรุงโดยเติมสารเชื่อมขวางเพิ่มร้อยละ 10 และ 20 โดยน้ำหนัก

นอกจากนี้ วัสดุอัดแทรกแก้วที่นำมาทดสอบนั้นผ่านกรรมวิธีการปรับพื้นผิวด้วยสารคู่ควบไฮโดรเจนจากบริษัทผู้ผลิต อาจมีความแตกต่างจากวัสดุอัดแทรกซิติกาที่ผ่านปรับพื้นผิวด้วยสารคู่ควบไฮโดรเจนโดยผู้ทดลองเอง วัสดุอัดแทรกขนาดนาโนนั้นมักเกิดการเกาะกลุ่ม (agglomerate) ได้เอง จึงอาจเกิดเป็นกลุ่มนาโน คลัสเตอร์ (nanocluster) เกิดกระจายตัวแบบ ขนาดอนุภาคเท่า ๆ กันได้ยาก (monodisperse) หลังการปรับพื้นผิววัสดุอัดแทรก และอบแห้งแล้ว ผู้ทดลองต้องนำวัสดุอัดแทรกมาบดและกรองแยกขนาดอนุภาค (sieve) โดยขนาดเล็กที่สุดที่สามารถกรองได้คือ 45 ไมครอนจึงอาจไม่ได้ขนาดนาโนที่แท้จริง แตกต่างจากวัสดุอัดแทรกแก้วที่มีขนาด 0.7 ไมครอน

เมื่อนำส่วนผงของอะคริลิกและวัสดุอัดแทรกต่าง ๆ ไปตรวจสอบด้วย กล้องจุลทรรศน์อิเล็กตรอนชนิดส่องกราด (Scanning Electron Microscope, SEM, Model JSM-5410LV, Jeol, Japan) ในส่วนผงของอะคริลิกพบว่าเม็ดพอลิเมทิลเมทาคริเลต (PMMA beads) มีลักษณะรูปร่างเป็นทรงกลมขนาดประมาณ 10-100 ไมครอนปะปนกัน ในส่วนผงวัสดุอัดแทรกแก้วขนาด 0.7 ไมครอน มีลักษณะรูปร่างไม่แน่นอน และในส่วนผงวัสดุอัดแทรกซิติกาขนาด 10-20 นาโนเมตร มีลักษณะรูปร่างไม่แน่นอนและเกาะกลุ่มกัน ดังภาพที่ 30



(ก) PMMA powder

(ข) Silanated BBAS glass 0.7  $\mu\text{m}$ 

(ค) Silanated silica nanopowder 10-20nm

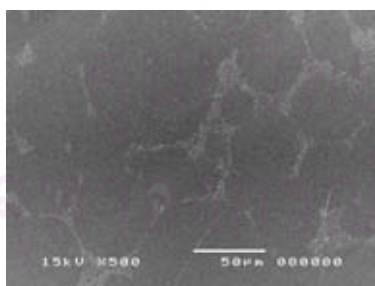
ภาพที่ 30 ภาพจากกล้องจุลทรรศน์อิเล็กตรอนชนิดส่องกราดแสดงลักษณะของส่วนผง

(ก) พอลิเมทิลเมทาคริเลต (ข) วัสดุอัดแทรกแก้ว และ (ค) วัสดุอัดแทรกซิติกา

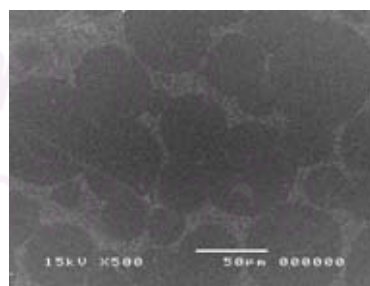
จากภาพที่ 31 ภาพกล้องจุลทรรศน์อิเล็กตรอนชนิดส่องกราด ของอะคริลิกชนิดดัดแปรที่เกิดการพอลิเมอไรเซชันแล้วพบว่า อะคริลิกชนิดดัดแปร มีองค์ประกอบ 2 ส่วน คือ ส่วนเม็ดพอลิเมทิลเมทาคริเลตและส่วนของพอลิเมอร์เมทริกซ์ โดยส่วนเม็ดพอลิเมทิลเมทาคริเลตเป็นเม็ดพอลิเมทิลเมทาคริเลตพอลิเมอร์ขนาดประมาณ 10-100 ไมครอนปะปนกัน ที่ผิวของเม็ดพอลิเมทิลเมทาคริเลตจะเกิดการรวมตัวด้วยส่วนของมอนอเมอร์เมื่อผสมกันระหว่างส่วนผงกับส่วนน้ำ และเกิดการสอดไขว้เข้าไปเป็นสายพอลิเมอร์ ในส่วนของพอลิเมอร์เมทริกซ์ นั้น มีวัสดุอัดแทรก กระจายตัวอยู่ในพอลิเมทิลเมทาคริเลต เมทริกซ์ด้วยการยึดติดทางเคมีของสาร คู่ควบไซเลน บนผิวของวัสดุอัดแทรก ในกลุ่มที่เติมวัสดุอัดแทรกแก้วขนาดไมโครสามารถมองเห็นวัสดุอัดแทรกที่อยู่รอบ ๆ เม็ดพอลิเมทิลเมทาคริเลตได้อย่างชัดเจน ซึ่งวัสดุอัดแทรกแก้วนี้มีธาตุแบเรียมซึ่งเป็นสารทึบรังสีทำให้ช่วยมองเห็นในภาพได้ชัดเจน แต่ในกลุ่มที่เติมวัสดุอัดแทรกซิลิกาขนาดนาโนซึ่งมีขนาดเล็กมากและเติมในปริมาณที่น้อยคือ ร้อยละ 1 และ ร้อยละ 3 โดยน้ำหนักนั้น ไม่สามารถมองเห็นวัสดุอัดแทรกได้ชัดเจน อาจเป็นเพราะขนาดอนุภาคที่เล็ก การกระจายตัวได้กลมกลืนกัน หรือมาจากความใสของตัววัสดุแทรกที่ใกล้เคียงกันกับเม็ดพอลิเมทิลเมทาคริเลตจึงไม่สามารถมองเห็นได้ชัดเจน ส่วนสารเชื่อมขวางที่เติมลงไปเมทริกซ์นั้นไม่สามารถมองเห็นได้



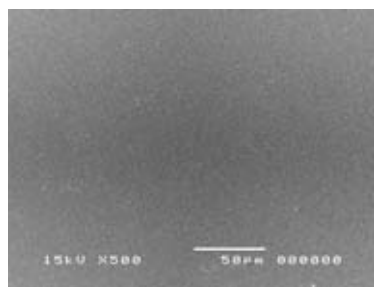
ก. Control (no filler)



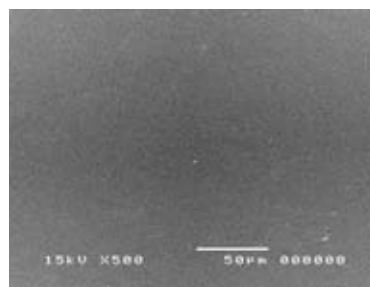
ข. 10% micro BBAS



ค. 15% micro BBAS



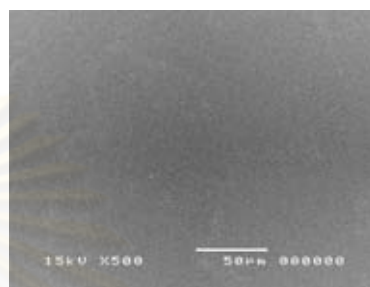
ง. 1% nanosilica



จ. 3% nanosilica



ฉ. 3% nanosilica + 10% EGDMA



ช. 3% nanosilica + 20% EGDMA

ภาพที่ 31 ภาพจากกล้องจุลทรรศน์อิเล็กตรอนชนิดส่องกราดแสดงลักษณะของอะคริลิกชนิดดัดแปร (ก) กลุ่มควบคุม (ข) วัสดุอัดแทรกแก้วร้อยละ 10 (ค) วัสดุอัดแทรกแก้วร้อยละ 15 (ง) วัสดุอัดแทรกซิลิการ้อยละ 1 (จ) วัสดุอัดแทรกซิลิการ้อยละ 3 (ฉ) วัสดุอัดแทรกซิลิการ้อยละ 3 และสารเชื่อมขวางร้อยละ 10 (ช) วัสดุอัดแทรกซิลิการ้อยละ 3 และสารเชื่อมขวางร้อยละ 20

การยึดติดทางเคมีของสาร คู่ควบไซเลน ระหว่าง ผิวของวัสดุอัดแทรก กับพอลิเมอร์เมทริกซ์เกิดขึ้นโดย สารคู่ควบไซเลน ( $XSi(OR)_3$ ) ซึ่งมีหมู่ทำงานสองด้าน หมู่ทำงาน ของไซเลนด้านหนึ่ง ( $-Si(OR)_3$ ) สามารถเกิดปฏิกิริยาไฮโดรไลซิสเป็นหมู่ไฮดรอกซิล ( $-SiOH$ ) ทำปฏิกิริยากับ แก้วหรือเซรามิคเป็นพันธะซิลอกเซน  $Si-O-Si$  (siloxane bond) กับพื้นผิวของวัสดุอัดแทรก และ หมู่ทำงาน (X) อีกด้านหนึ่งเกิดปฏิกิริยากับเรซินโดยการเกิด กราฟท์โคพอลิเมอร์ไรเซชัน (graft copolymerization) [12, 68] การเกิดปฏิกิริยาประกอบด้วยปฏิกิริยา ไฮโดรไลซิส และปฏิกิริยา ควบแน่น (hydrolysis-condensation reactions) โดยเกิดเป็นหลาย ๆ ชั้น (multilayer) ประกอบด้วยทั้งชั้น chemically adsorbed (chemisorbed) และ physically adsorbed (physisorbed)[69] ประสิทธิภาพโดยรวมของสารคู่ควบพิจารณา ได้จากการเกิดปฏิกิริยาของไซเลนกับวัสดุอัดแทรกแก้ว โดยเกิดการสร้างพันธะอ็อกเซน (oxane bond formation), การเกิดปฏิกิริยาของไซเลนกับตัวไซเลนเองโดยเกิดการสร้างซิลอกเซน (siloxane formation) และการเกิดปฏิกิริยาของ ไซเลนกับตัวระบบเรซินโดยการเกิดปฏิกิริยากากราฟท์โคพอลิเมอร์ไรเซชัน (graft copolymerization) สารไซเลนชนิดอินทรีย์ (organosilanes) ที่เกิดปฏิกิริยาไฮโดรไลซิสควบแน่นนั้นยังสามารถเกิดปฏิกิริยากับพื้นผิว ไซลันอล ของตัวแร่ธาตุ เรียงตัว เป็นปฏิกิริยาควบแน่นแนวตั้ง (vertical condensation) หรือ

เกิดปฏิกิริยากับตัวของไซเลนเอง โดยหมู่ไซลอคเซน เป็นปฏิกิริยาควบแน่นแนวราบ (horizontal condensation) และ ในกรณีที่ เป็นไซเลนชนิดที่มีหมู่ทำงาน 3 หมู่ RSiX<sub>3</sub> สามารถเกิดปฏิกิริยาได้ทั้ง 3 มิติ เป็นปฏิกิริยาควบแน่นแบบสามมิติ (three-dimensional condensation)[68] โครงสร้างของการเรียงตัวของไซเลนบนผิวซิลิกาจะเกิดลักษณะในแนวตั้งคือตั้งฉาก (perpendicular orientation) หรือแนวราบคือขนาน (parallel orientation) นั้น ขึ้นอยู่กับปริมาณไซเลน โดยปริมาณไซเลนที่สูงกว่าร้อยละ 2.5 โดยน้ำหนักจะเกิดการเรียงตัวแบบตั้งฉาก[28]

### **ตอนที่ 1** การศึกษาความแข็งแรงและการยึดติดกับฐานพื้นเทียมของซีฟันทึบสำเร็จรูปและอะคริลิกชนิดบ่มด้วยความร้อน

จากผลที่พบว่าอะคริลิกใสมีค่าความแข็งแรงต่ำสุดอาจเป็นเพราะ อะคริลิกใส เป็นอะคริลิกที่ผลิตเพื่อใช้เป็นฐานพื้นเทียม อาจไม่มีการเติมแต่งสารเสริมความแข็งแรง แต่ก็มีค่าความแข็งแรงการยึดติดกับฐานพื้นเทียมที่สูงกว่าอย่างไม่มีนัยสำคัญ ส่วนอะคริลิกสีเหมือนพื้นมีค่าความแข็งแรงที่สูงกว่าอะคริลิกใสก็อาจเป็น เพราะอะคริลิกสีเหมือนพื้นนี้ ผลิตขึ้นมาเพื่อใช้เป็นซีฟันทึบ จึงอาจมีการเติมสารเพิ่มความแข็งแรงให้สูงขึ้น

ส่วนพื้นเทอร์โมพลาสติก ซึ่งเป็นอะคริลิกชนิดที่ขึ้นรูปโดยเครื่องจักรมีความแข็งแรงเทียบเคียงได้กับอะคริลิกสีเหมือนพื้น และพื้นอะคริลิกเมเจอร์เดนท ก็มีความแข็งแรงการยึดติดกับฐานพื้นเทียมต่ำสุด เกิดการแตกหักแบบโคฮีซีฟในซีฟันทึบทั้ง 10 ชั้น โดยเกิดบริเวณรอยต่อระหว่างชั้นเคลือบเนื้อพื้นและชั้นเนื้อพื้น อาจเป็นเพราะกระบวนการผลิตด้วยวิธีฉีดพลาสติกซึ่งเป็นชนิดเทอร์โมพลาสติก โดยหลอมพลาสติกให้หลอมเหลวแล้วฉีดหุ้ม โดยไม่ได้เกิดพันธะเคมีระหว่างชั้นอะคริลิก ดังนั้นในการพัฒนาเพื่อผลิตซีฟันทึบควรมีสารเชื่อมยึดระหว่างชั้นให้เกิดพันธะเคมี หรือพัฒนาเป็นเทอร์โมเซตที่มีสมบัติความแข็งแรงที่สูงกว่า แต่ยังคงโครงสร้างที่ทำให้เกิดการแทรกซึมของสายพอลิเมอร์ให้เกิดการเชื่อมไขว่กันของพอลิเมอร์ฐานพื้นเทียมได้

อะคริลิกสีเหมือนพื้น และ อะคริลิก ใส มีความแข็งแรงการยึดติดกับฐานพื้น เทียมที่เทียบเคียงกัน ส่วนพื้นอะคริลิกออร์โทลักซ์ทีอป และพื้นอะคริลิกเมเจอร์เดนท ก็มีความแข็งแรงและความแข็งแรงการยึดติดกับฐานพื้นเทียมที่สูงเทียบเคียงกัน โดยอะคริลิก สีเหมือนพื้นและอะคริลิกใสเป็นการผสมเองในห้องปฏิบัติการ จึงอาจมีสมบัติที่ด้อยกว่า พื้นอะคริลิก ออร์โทลักซ์ทีอป และพื้นอะคริลิกเมเจอร์เดนทที่ผลิตโดยบริษัทผู้ผลิต

### **ตอนที่ 2** ศึกษาความแข็งแรงและการยึดติดกับฐานพื้นเทียมของ อะคริลิกชนิดดัดแปรที่มีวัสดุอุดแทรก

ผลของวัสดุอุดแทรกที่มีต่อค่าความแข็งผิวของอะคริลิกชนิดดัดแปร พบว่าวัสดุอุดแทรกต่างๆ สามารถเพิ่มความแข็งผิวให้กับอะคริลิกใสได้ ยกเว้น ซิลิกาขนาดนาโนร้อยละ 1 แต่ถ้าต้องการเพิ่มความแข็งผิวให้เทียบเคียงกับอะคริลิกสีเหมือนฟัน สามารถเลือกใช้ วัสดุอุดแทรกได้ทุกสูตร โดยที่ซิลิกาขนาดนาโนร้อยละ 3 เพิ่มความแข็งผิวได้สูงกว่าทุกสูตรอย่างมีนัยสำคัญ

วัสดุอุดแทรกแก้วและซิลิกาที่ปรับสภาพผิวด้วยสารควบไชลเลนในปริมาณที่เหมาะสม สามารถเพิ่มความแข็งผิวให้กับอะคริลิกชนิดดัดแปรได้อย่างมีนัยสำคัญ โดยวัสดุอุดแทรกซิลิกาขนาดนาโนร้อยละ 3 เพิ่มความแข็งผิวให้กับ อะคริลิกชนิดดัดแปร ได้สูงกว่าวัสดุอุดแทรกแก้ว ขนาดไมโคร อาจเนื่องมาจากการกระจายตัวได้ดีกว่าของวัสดุอุดแทรกขนาดนาโนดังจากภาพ กล้องจุลทรรศน์ อิเล็กตรอนชนิดส่องกราด ส่วนวัสดุอุดแทรกแก้วในปริมาณที่เหมาะสมคือร้อยละ 10 โดยน้ำหนักก็เพิ่มความแข็งผิวให้กับอะคริลิกได้ สูงเช่นเดียวกันกับการศึกษาของ Unalan ในปี 2007[23] ส่วนนอกจากนี้จากการศึกษาของ Suzuki ในปี 2004 ยังพบว่าฟันนาโนคอมโพสิตมีความแข็งและความต้านทานต่อการสึกสูง มากกว่าฟันอะคริลิก แต่ไม่แตกต่างจากฟันที่มีการเชื่อมขวางสูงหรือฟันไมโครฟิลคอมโพสิตอย่างมีนัยสำคัญ [19]

จากการทดลองนี้พบว่าการผสมด้วยมือของ อะคริลิกชนิดดัดแปร ซึ่งเสริมแรงด้วยวัสดุอุดแทรกที่มีปริมาณสูงขนาดนั้น ทำได้ค่อนข้างยาก เนื่องจากความหนืดของวัสดุที่สูงขึ้นตาม ในการศึกษาอื่นยังมีเทคนิคที่ใช้การสังเคราะห์อะคริลิกบนพื้นผิวของซิลิกาโดยตรง [70] นอกจากนี้ยังมีการศึกษาอีกมากมายเกี่ยวกับวัสดุอุดผสมซิลิกากับอะคริลิกมาประยุกต์ใช้ในทางอุตสาหกรรม เช่น การทำสารเคลือบผิวชนิดแข็ง (transparent silica-PMMA nanocomposite hard coatings)[71] การทำแผ่นฟิล์ม(thin-film)[72] วัสดุนาโนคอมโพสิตคอร์เชลล์ (core-shell nanocomposites) โดยมีพอลิเมอร์เป็นแกนกลาง (core) และอนุภาคซิลิกาเป็นเปลือกนอก (shell) หรือ ซิลิกา-พีเอ็มเอ็มเอเคอร์เชลล์นาโนสเฟียร์ (SiO<sub>2</sub>-pmma core-shell nanospheres) [73] โดยมีซิลิกาเป็นแกนกลางล้อมรอบด้วยพีเอ็มเอ็มเอ เนื่องจากวัสดุคอร์เชลล์นาโนสเฟียร์ช่วยปรับปรุงสมบัติต่าง ๆ เช่น สมบัติทางแสง สมบัติการนำไฟฟ้า สมบัติการนำความร้อน สมบัติทางกล และสมบัติแม่เหล็ก เป็นต้น

ผลของวัสดุอุดแทรกที่มีต่อค่าความแข็งแรงการยึดติดกับฐานฟันเทียมของอะคริลิกชนิดดัดแปร จากการเติม วัสดุอุดแทรกลงไปมีผลเพิ่มการยึดติดกับฐานฟันเทียมได้อย่างไม่มีนัยสำคัญเมื่อเทียบกับ อะคริลิก ใสที่ไม่มีวัสดุอุดแทรก อาจเนื่องมาจากการเติม วัสดุอุดแทรก ทำให้มีพื้นผิวหน้าขรุขระเพิ่มขึ้นจึงเป็นการเพิ่มพื้นที่ผิวสัมผัสกับฐานฟันเทียม แต่การเติมวัสดุอุดแทรกขนาดนาโนในอะคริลิกชนิดดัดแปร พบว่าให้ค่า ความแข็งแรงการยึดติด สูงกว่าการเติมวัสดุอุดแทรกขนาดไมโคร และไม่พบรูปแบบการแตกหักแบบแอตซีซีฟเลย อาจเนื่องจากพื้นที่ผิวของวัสดุอุดแทรกขนาดนาโนมีพื้นที่ผิวสูงกว่าพื้นที่ผิวของวัสดุอุดแทรกขนาดไมโคร การ ที่มีพื้นที่ผิวมากกว่า เมื่อสัมผัสกับมอนอเมอร์จึงมีพื้นที่ผิวให้เกิดการแทรกสอดของสายพอลิเมอร์ได้มากกว่า จึงทำให้ค่า ความแข็งแรงการยึด



ติดกับฐานพื้นเทียมสูงกว่า ซึ่ง กลุ่มอะคริลิกชนิดดัดแปร ซิลิกาขนาดนาโนร้อยละ 1 และ 3 มีค่าสูงใกล้เคียงกันมาก ถึงแม้ว่ากลุ่มอะคริลิกชนิดดัดแปรซิลิกาขนาดนาโนร้อยละ 1 จะมีความสูงแตกต่างจากอะคริลิกสีเหมือนพื้นอย่างมีนัยสำคัญก็ตาม

ส่วนกลุ่มอะคริลิกชนิดดัดแปร แก้วขนาดไมโครร้อยละ 15 พบการแตกหักแบบโคฮีซีฟในซีพื้นเทียม อาจเป็นเพราะปริมาณของวัสดุขัดแทรกที่สูงเกินไป ทำให้อะคริลิกมีความเปราะ เป็นจุดอ่อนที่ทำให้เกิดความล้มเหลว

**ตอนที่ 3** ศึกษาความแข็งแรงผิวและการยึดติดกับฐานพื้นเทียมของ อะคริลิกชนิดดัดแปร ที่มีวัสดุขัดแทรกร่วมกับสารเชื่อมขวาง

ผลของวัสดุขัดแทรกร่วมกับสารเชื่อมขวางที่มีต่อค่าความแข็งแรงผิวของ อะคริลิกชนิดดัดแปร พบว่ากลุ่มอะคริลิกชนิดดัดแปรซิลิกาขนาดนาโนร้อยละ 3 ที่มีสารเชื่อมขวางร้อยละ 20 เพิ่มความแข็งแรงผิวได้สูงเทียบเคียงอะคริลิกชนิดดัดแปรซิลิกาขนาดนาโนร้อยละ 3 ที่ไม่มีสารเชื่อมขวาง

การเติมสารเชื่อมขวางร้อยละ 20 เพิ่มนอกเหนือไปจากซิลิกาขนาดนาโนร้อยละ 3 นั้นช่วยเพิ่มความแข็งแรงผิว ขึ้นได้ไม่มาก อาจเป็นเพราะมีวัสดุขัดแทรกช่วยเสริมแรงอย่างเพียงพอแล้ว แต่การเติมซิลิกาขนาดนาโนร้อยละ 3 ร่วมกับสารเชื่อมขวางร้อยละ 10 โดยน้ำหนักกลับทำให้ความแข็งแรงผิวของอะคริลิกลดลงเทียบเท่ากับอะคริลิกสีเหมือนพื้น ดังนั้นการเสริมแรงพอลิเมอร์ด้วยวัสดุขัดแทรกซิลิกาซึ่งเป็นกลุ่มของวัสดุเซรามิกอาจได้สมบัติความแข็งแรงผิวที่ดีกว่าการใช้สารเชื่อมขวางเสริมแรงซึ่งเป็นกลุ่มของวัสดุพอลิเมอร์มาเสริมแรงพอลิเมอร์ด้วยกัน แต่อาจมีผลดีในสมบัติทางกลด้านอื่น ๆ จึงควรมีการศึกษา เพิ่มเติม ต่อไป จากการศึกษาอื่น ๆ เกี่ยวกับความแข็งแรงผิวของซี พื้นเทียม พบว่าค่าความแข็งแรงผิวของพื้นอะคริลิกชนิด ดั้งเดิมมีค่าต่ำคือเท่ากับ 16.6-18.3 [17] ส่วนค่าความแข็งแรงผิวของพื้นอะคริลิกที่มีการเชื่อมขวางสูงเท่ากับ 18.7-19.5 [3] ซึ่งมีค่าสูงกว่าความแข็งแรงผิวของพื้นอะคริลิกชนิดดั้งเดิมเพียงเล็กน้อยและค่าความแข็งแรงผิวของพื้นคอมโพสิตมีค่าสูงมากคือเท่ากับ 21.0-47.0 [3]

ผลของวัสดุขัดแทรกร่วมกับสารเชื่อมขวางที่มีต่อ ความแข็งแรง การยึดติด กับฐานพื้นเทียมของอะคริลิกชนิดดัดแปร พบว่าการเติมวัสดุขัดแทรกร่วมกับสารเชื่อมขวางให้ความแข็งแรง การยึดติดกับฐานพื้นเทียมลดลงแต่ไม่มีนัยสำคัญทางสถิติ อาจเป็นเพราะปริมาณสารเติมแต่งที่เติมลงไป ยังคงทำให้อะคริลิกชนิดดัดแปร สามารถเกิดการบวมตัวเมื่อสัมผัสกับมอนอเมอร์และเกิดการแทรกเข้าไปเกิดการเชื่อมขวางกันได้ แต่การเติมสารเชื่อมขวางให้ค่าความแข็งแรงการยึดติดลดลง อาจเป็นเพราะพอลิเมอร์ที่มีสารเชื่อมขวางสูง เกิดการบวมตัวได้ยากขึ้น ทำให้มอนอเมอร์แทรกเข้าไป เกิดการสอดไขว้ได้ยากขึ้น เช่นเดียวกับการศึกษาที่พบว่าซีพื้นเทียมชนิดดั้งเดิมที่มีการเชื่อมขวางน้อยจะเกิดการยึดติดกับฐานพื้นเทียมได้ดีกว่าซีพื้นเทียมที่มีการเชื่อมขวางมาก [21, 36, 37] โดยการเติมสารเชื่อมขวางร้อยละ 10 และ 20 มีค่าความแข็งแรงการยึดติดที่ใกล้เคียงกันมาก

จากรูปแบบการแตกหักที่เกิดขึ้น

กลุ่มอะคริลิกชนิดดัดแปร ซิลิกาขนาดนาโนร้อยละ 3 ที่มีสารเชื่อมขวางร้อยละ 20 พบการแตกหักแบบโคฮีซีฟในซีฟันเทียมถึงร้อยละ 40 และการแตกหักแบบแอดฮีซีฟร่วมกับโคฮีซีฟในซีฟันเทียมอีกร้อยละ 50 แสดงว่าเมื่อมีสารเชื่อมขวางสูงขึ้น แนวโน้มของรูปแบบการแตกหักแบบโคฮีซีฟในซีฟันเทียมและการแตกหักแบบแอดฮีซีฟร่วมกับโคฮีซีฟในซีฟันเทียมมีแนวโน้มสูงขึ้น เนื่องมาจากการมีสารเชื่อมขวางสูงทำให้วัสดุแข็งแต่เปราะมากขึ้นจึงเป็นจุดอ่อนให้เกิดการแตกหักที่บริเวณนี้มากขึ้น เช่นเดียวกับการศึกษาของ C.A. PRICE กล่าวว่าพอลิเมอร์ที่มีสารเชื่อมขวางสูงหรือเทอร์โมเซต จะมีสมบัติที่เปราะ ปริมาณของสารเชื่อมขวางในมอนอเมอร์ไม่ควรมีมากเกินไปกว่าร้อยละ 15 และปริมาณของสารเชื่อมขวางที่สูงมากนี้จะมีผลให้ความแข็งแรงดึงและการต้านทานต่อแรงกระแทกลดลง [74]

นอกจากนี้มีการศึกษาพบว่าฟันอะคริลิกชนิดดั้งเดิมสามารถยึดติดกับฐานฟันเทียมได้สูงกว่าฟันที่มีสารเชื่อมขวางสูง [21, 36] โดยระดับการเชื่อมขวางที่สูงขึ้น ทำให้พอลิเมอร์บวมตัวเมื่อสัมผัสกับมอนอเมอร์ได้ยากขึ้นและ ขัดขวางการแทรกสอดของสายพอลิเมอร์ของฐาน ฟันเทียม เพื่อสร้างเครือข่ายพอลิเมอร์ แต่บางการศึกษาพบว่าการยึดติดกับฐาน ฟันเทียมของฟันอะคริลิกสูง กว่าหรือเท่ากับฟันเทียมชนิดร่างแหพอลิเมอร์แบบสอดไขว้ (ไอพีเอ็น) ขึ้นอยู่กับชนิดของฐาน ฟันเทียมที่ใช้ [42] และความแข็งแรงการยึดติด นั้นยังขึ้นอยู่กับระดับการแทรกสอดของสารที่ใช้ทำละลายและ ความแข็งแรงของโครงสร้างร่างแหพอลิเมอร์แบบสอดไขว้ที่เกิดขึ้น [36]

### สรุปผลการวิจัย

จากผลการวิจัยนี้ การเติมวัสดุอุดแทรกเพื่อเพิ่มสมบัติของอะคริลิกในแง่ของความแข็งแรงวิเกอรัสและความแข็งแรงการยึดติดกับฐานฟันเทียม สรุปได้ดังนี้

**ตอนที่ 1** ศึกษาความแข็งแรงผิวและการยึดติดกับฐานฟันเทียมของซีฟันเทียมสำเร็จรูปและอะคริลิกชนิดบ่มด้วยความร้อน

1. อะคริลิกใสมีค่าความแข็งแรงผิวต่ำสุด และต่ำกว่าอะคริลิกสีเหมือนฟัน แต่มีค่าความแข็งแรงยึดติดกับฐานฟันเทียมที่ใกล้เคียงกัน
2. ฟันเทอร์โมพลาสติก มีความแข็งแรงผิวเทียบเท่า อะคริลิกสีเหมือนฟัน และฟันอะคริลิกเมเจอร์เดนท์ แต่มีค่าแรงยึดติดกับฐานฟันเทียมต่ำสุด และรูปแบบการแตกหักแบบโคฮีซีฟในซีฟันเทียมทั้งหมด เนื่องจาก ข้อผิดพลาดทางกระบวนการผลิตของการเชื่อมติดกันระหว่างชั้นเคลือบฟันกับชั้นเนื้อฟันของซีฟันเทียมเอง ซึ่งต้องมีการพัฒนาต่อไป
3. ฟันอะคริลิกออร์โทแล็กซ์ท็อป มีค่าความแข็งแรงผิวและความแข็งแรงยึดติดกับฐานฟันเทียม สูงสุด และใกล้เคียงกับฟันอะคริลิกเมเจอร์เดนท์

**ตอนที่ 2** ศึกษาความแข็งแรงผิวและการยึดติดกับฐานฟันเทียมของ อะคริลิกชนิดดัดแปร ที่มีวัสดุอุดแทรก

1. วัสดุอัดแทรกแก้วขนาดไมโครในปริมาณร้อยละ 10 และ 15 โดยน้ำหนัก และวัสดุอัดแทรกซิลิกาขนาดนาโนในปริมาณร้อยละ 3 โดยน้ำหนักสามารถเพิ่มความแข็งแรงให้กับอะคริลิกได้อย่างมีนัยสำคัญทางสถิติ แต่เพิ่มความแข็งแรงการยึดติดกับฐานฟันเทียมได้อย่างไม่มีนัยสำคัญทางสถิติ โดยวัสดุอัดแทรกซิลิกาขนาดนาโนในปริมาณร้อยละ 3 โดยน้ำหนักสามารถเพิ่มค่าความแข็งแรงได้สูงสุด
2. อะคริลิกชนิดดัดแปรซิลิกาขนาดนาโนร้อยละ 1 และ 3 ไม่พบรูปแบบการแตกหักแบบแอคฮีซีฟเลย แต่อะคริลิกชนิดดัดแปรแก้วขนาดไมโครร้อยละ 15 พบรูปแบบการแตกหักแบบโคฮีซีฟในซีฟันเทียม

**ตอนที่ 3** ศึกษาความแข็งแรงและการยึดติดกับฐานฟันเทียมของอะคริลิกชนิดดัดแปรที่มีวัสดุอัดแทรกร่วมกับสารเชื่อมขวาง

1. วัสดุอัดแทรกซิลิกาขนาดนาโนในปริมาณร้อยละ 3 ที่มีสารเชื่อมขวางร้อยละ 20 เพิ่มความแข็งแรงวิกเกอร์ให้กับอะคริลิกได้ สูงสุดใกล้เคียงกับวัสดุอัดแทรกซิลิกาขนาดนาโนในปริมาณร้อยละ 3 ที่ไม่มีสารเชื่อมขวาง แต่ให้ค่าความแข็งแรงการยึดติดต่ำลงอย่างไม่มีนัยสำคัญ และปริมาณสารเชื่อมขวางร้อยละ 20 นี้ยังทำให้เกิดรูปแบบการแตกหักในซีฟันเทียมสูงขึ้น
2. อะคริลิกชนิดดัดแปรซิลิกาขนาดนาโนร้อยละ 3 ให้ค่าความแข็งแรงการยึดติดสูงสุดและไม่พบรูปแบบการแตกหักแบบแอคฮีซีฟเลย

สรุปโดยรวมแล้ว อะคริลิกชนิดดัดแปรซิลิกาขนาดนาโนร้อยละ 3 ให้ผลดีสุดในแง่ของความแข็งแรง แต่ยังคงต้องศึกษาเพิ่มเติมนำไป

### ข้อเสนอแนะ

การศึกษานี้ยังคงต้องศึกษาปัจจัยด้านอื่น ๆ เช่น

1. ชนิด ปริมาณและขนาดของวัสดุอัดแทรกที่เหมาะสมในการเพิ่มสมบัติทางกลอื่น ๆ เช่น กำลังดัดขวาง ความต้านทานการสึก รวมทั้งสมบัติความโปร่งแสง ความเงา ความสวยงาม เพื่อนำไปพัฒนาในการผลิตเป็นซีฟันหน้าซึ่งต้องการความสวยงามมากขึ้น
2. การทดสอบอื่น ๆ ตามมาตรฐานสากลของซีฟันเทียม และการทดสอบในการนำไปใช้ทางคลินิกต่อไป โดยได้มีผู้ทำการศึกษาต่อจากผู้วิจัยในเรื่องของกำลังดัดขวางและความต้านทานการสึกของอะคริลิกดัดแปร

## รายการอ้างอิง

- [1] Lang, B. R. Complete denture occlusion. Dent Clin North Am. 40 (Jan 1996): 85-101.
- [2] John M. Powers, R. L. S. Craig's Restorative Dental Materials. 12<sup>th</sup> ed: Elsevier Inc., 2006: 79-82, 513-517.
- [3] Loyaga-Rendon, P. G., Takahashi, H., Hayakawa, I. and Iwasaki, N. Compositional characteristics and hardness of acrylic and composite resin artificial teeth. J Prosthet Dent. 98 (Aug 2007): 141-149.
- [4] Liu, A. T. C. Abrasion resistant dental composition product and process. Patent 6,384,107 B2. 2002.
- [5] Vallittu, P. K., Ruyter, I. E. and Nat, R. The swelling phenomenon of acrylic resin polymer teeth at the interface with denture base polymers. J Prosthet Dent. 78 (Aug 1997): 194-199.
- [6] เสาวรจณ์ ช่วยจุลจิตร. วิทยาศาสตร์โพลีเมอร์ 1 กรุงเทพมหานคร: ภาควิชาวัสดุศาสตร์ คณะวิทยาศาสตร์ จุฬาลงกรณ์มหาวิทยาลัย. (เอกสารไม่ตีพิมพ์).
- [7] พิษิต เลี่ยมพิพัฒน์. พลาสติก. กรุงเทพมหานคร: ห.จ.ก. ป. สัมพันธ์พาณิชย์, 2545: 9, 99, 161.
- [8] วิกิพีเดีย. พลาสติก. [Online]. Available from: <http://th.wikipedia.org/wiki/พลาสติก>. [2011, February 22]
- [9] บุญรักษ์ กาญจนวรวณิชย์. อะคริลิกพลาสติก. [Online]. 2549. Available from: [http://www.mtec.or.th/index.php?option=com\\_content&task=view&id=577&Itemid=36](http://www.mtec.or.th/index.php?option=com_content&task=view&id=577&Itemid=36). [2011, February 22]
- [10] Anusavice. Phillip's Science of Dental Materials. 11<sup>th</sup> ed2003: 96-98, 722-724.
- [11] สมาคมอุตสาหกรรมพลาสติกไทย. พลาสติกชนิดเทอร์โมพลาสติกสามารถขึ้นรูปได้แบบใดบ้าง? [Online]. Available from: <http://www.tpia.org/faq/answer.asp?no=16> [2011, February 22]
- [12] Xanthos, M. Functional Fillers for Plastics. Wiley-VCH, 2005: 5, 66-68.
- [13] บุญรักษ์ กาญจนวรวณิชย์. โพลีเมอร์คอมโพสิต. [Online]. 2549. Available from: [http://www.mtec.or.th/index.php?option=com\\_content&task=view&id=79&Itemid=36](http://www.mtec.or.th/index.php?option=com_content&task=view&id=79&Itemid=36). [2011, February 22]

- [14] Y-W Mai, Z.-Z. Y. Polymer nanocomposites. Cambridge: Woodhead Publishing Limited, 2006: 206.
- [15] Klaus Friedrich, S. F., Zhong Zhang. Polymer Composites From Nano- to Macro-Scale. Springer Science+Business Media, LLC, 2005: 45-47.
- [16] Pulickel M. Ajayan, L. S. S., Paul V. Braun. Nanocomposite Science and Technology. Wiley-VCH GmbH & Co. KGaA, 2004: 100, 111-115.
- [17] Campanha, N. H., Pavarina, A. C., Vergani, C. E. and Machado, A. L. Effect of microwave sterilization and water storage on the Vickers hardness of acrylic resin denture teeth. J Prosthet Dent. 93 (May 2005): 483-487.
- [18] Whitman, D. J., McKinney, J. E., Hinman, R. W., Hesby, R. A. and Pelleu, G. B., Jr. In vitro wear rates of three types of commercial denture tooth materials. J Prosthet Dent. 57 (Feb 1987): 243-246.
- [19] Suzuki, S. In vitro wear of nano-composite denture teeth. J Prosthodont. 13 (Dec 2004): 238-243.
- [20] Ortman, H. R. Complete denture occlusion. Dent Clin North Am. 21 (Apr 1977): 299-320.
- [21] Chai, J., Takahashi, Y., Takahashi, T. and Habu, T. Bonding durability of conventional resinous denture teeth and highly crosslinked denture teeth to a pour-type denture base resin. Int J Prosthodont. 13 (Mar-Apr 2000): 112-116.
- [22] Stober, T., Lutz, T., Gilde, H. and Rammelsberg, P. Wear of resin denture teeth by two-body contact. Dent Mater. 22 (Mar 2006): 243-249.
- [23] Unalan, F. and Dikbas, I. Effects of mica and glass on surface hardness of acrylic tooth material. Dent Mater J. 26 (Jul 2007): 545-548.
- [24] Shalaby, S. W. Polymers for dental and orthopedic applications. 2007: 20-22.
- [25] Kerr Corporation. Premise Technical Info. [Online]. Available from: <http://www.kerrdental.com/index/kerrdental-composites-premise-techinfo-2>. [2011, March 1]
- [26] อรุษา สรวารี. สารเติมแต่งพอลิเมอร์ เล่ม 1 กรุงเทพมหานคร: โรงพิมพ์แห่งจุฬาลงกรณ์มหาวิทยาลัย, 2546: 26-27, 68-70.
- [27] Shin-Etsu Chemical Co., Ltd. Silane Coupling Agents. [Online]. Available from:

- [http://www.silicone.jp/e/catalog/pdf/silanecoupling\\_e.pdf](http://www.silicone.jp/e/catalog/pdf/silanecoupling_e.pdf). [2011, March 1]
- [28] Sideridou, I. D. and Karabela, M. M. Effect of the amount of 3-methacyloxypropyltrimethoxysilane coupling agent on physical properties of dental resin nanocomposites. *Dent Mater.* 25 (Nov 2009): 1315-1324.
- [29] Acrylic Teeth Turkey - Dentmar. *Molds for Teeth Manufacturers*. [Online]. Available from: <http://www.acrylicteeth.com/teeth-mould.html>. [2011, February 28]
- [30] Andrew M. Lichkus, W. C. B., Scott E. Shaffer. Prosthetic teeth and method of making therefor. *Patent 6,488,503 B1*. 2002.
- [31] Rotsaert, H. L., Processes for the manufacture of artificial teeth and crowns. *Patent 4,970,032*. 1990.
- [32] Rotsaert, H. L., Blanks for the manufacture of artificial teeth and crowns. *Patent 5,151,044*. 1992.
- [33] Saffir, J. A., Method of casting teeth having differently colored layers. *Patent 3,126,429*. 1964.
- [34] Pavarina, A. C., Vergani, C. E., Machado, A. L., Giampaolo, E. T. and Teraoka, M. T. The effect of disinfectant solutions on the hardness of acrylic resin denture teeth. *J Oral Rehabil.* 30 (Jul 2003): 749-752.
- [35] Clancy, J. M. and Boyer, D. B. Comparative bond strengths of light-cured, heat-cured, and autopolymerizing denture resins to denture teeth. *J Prosthet Dent.* 61 (Apr 1989): 457-462.
- [36] Takahashi, Y., Chai, J., Takahashi, T. and Habu, T. Bond strength of denture teeth to denture base resins. *Int J Prosthodont.* 13 (Jan-Feb 2000): 59-65.
- [37] Caswell, C. W. and Norling, B. K. Comparative study of the bond strengths of three abrasion-resistant plastic denture teeth bonded to a cross-linked and a grafted, cross-linked denture base material. *J Prosthet Dent.* 55 (Jun 1986): 701-708.
- [38] Yanikoglu, D. N., Duymus, D. Z. and Bayindir, D. F. Comparative bond strengths of autopolymerising denture resin and light cured composite resin to denture teeth. *Int Dent J.* 52 (Feb 2002): 20-24.
- [39] Suzuki, S., Sakoh, M. and Shiba, A. Adhesive bonding of denture base resins to plastic denture teeth. *J Biomed Mater Res.* 24 (Aug 1990): 1091-1103.

- [40] Kawara, M., Carter, J. M., Ogle, R. E. and Johnson, R. R. Bonding of plastic teeth to denture base resins. J Prosthet Dent. 66 (Oct 1991): 566-571.
- [41] Cunningham, J. L. Shear bond strength of resin teeth to heat-cured and light-cured denture base resin. J Oral Rehabil. 27 (Apr 2000): 312-316.
- [42] Clancy, J. M., Hawkins, L. F., Keller, J. C. and Boyer, D. B. Bond strength and failure analysis of light-cured denture resins bonded to denture teeth. J Prosthet Dent. 65 (Feb 1991): 315-324.
- [43] Schneider, R. L., Curtis, E. R. and Clancy, J. M. Tensile bond strength of acrylic resin denture teeth to a microwave- or heat-processed denture base. J Prosthet Dent. 88 (Aug 2002): 145-150.
- [44] Barbosa, D. B., Monteiro, D. R., Barao, V. A., Pero, A. C. and Compagnoni, M. A. Effect of monomer treatment and polymerisation methods on the bond strength of resin teeth to denture base material. Gerodontology. 26 (Sep 2009): 225-231.
- [45] Morrow, R. M., Matvias, F. M., Windeler, A. S. and Fuchs, R. J. Bonding of plastic teeth to two heat-curing denture base resins. J Prosthet Dent. 39 (May 1978): 565-568.
- [46] Cunningham, J. L. and Benington, I. C. An investigation of the variables which may affect the bond between plastic teeth and denture base resin. J Dent. 27 (Feb 1999): 129-135.
- [47] Barbosa, D. B., Barao, V. A., Monteiro, D. R., Compagnoni, M. A. and Marra, J. Bond strength of denture teeth to acrylic resin: effect of thermocycling and polymerisation methods. Gerodontology. 25 (Dec 2008): 237-244.
- [48] Huggett, R., John, G., Jagger, R. G. and Bates, J. F. Strength of the acrylic denture base tooth bond. Br Dent J. 153 (Sep 7 1982): 187-190.
- [49] Barpal, D., Curtis, D. A., Finzen, F., Perry, J. and Gansky, S. A. Failure load of acrylic resin denture teeth bonded to high impact acrylic resins. J Prosthet Dent. 80 (Dec 1998): 666-671.
- [50] Chung, K. H., Chung, C. Y. and Chan, D. C. Effect of pre-processing surface treatments of acrylic teeth on bonding to the denture base. J Oral Rehabil. 35 (Apr 2008): 268-275.

- [51] Cardash, H. S., Liberman, R. and Helft, M. The effect of retention grooves in acrylic resin teeth on tooth denture-base bond. J Prosthet Dent. 55 (Apr 1986): 526-528.
- [52] Cardash, H. S., Applebaum, B., Baharav, H. and Liberman, R. Effect of retention grooves on tooth-denture base bond. J Prosthet Dent. 64 (Oct 1990): 492-496.
- [53] Vallittu, P. K. Bonding of resin teeth to the polymethyl methacrylate denture base material. Acta Odontol Scand. 53 (Apr 1995): 99-104.
- [54] Nishigawa, G., Maruo, Y., Okamoto, M., Oki, K., Kinuta, Y., Minagi, S., et al. Effect of adhesive primer developed exclusively for heat-curing resin on adhesive strength between plastic artificial tooth and acrylic denture base resin. Dent Mater J. 25 (Mar 2006): 75-80.
- [55] Lagouvardos, P. E. and Polyzois, G. L. Shear bond strength between composite resin and denture teeth: effect of tooth type and surface treatments. Int J Prosthodont. 16 (Sep-Oct 2003): 499-504.
- [56] Papazoglou, E. and Vasilas, A. I. Shear bond strengths for composite and autopolymerized acrylic resins bonded to acrylic resin denture teeth. J Prosthet Dent. 82 (Nov 1999): 573-578.
- [57] Saavedra, G., Valandro, L. F., Leite, F. P., Amaral, R., Ozcan, M., Bottino, M. A., et al. Bond strength of acrylic teeth to denture base resin after various surface conditioning methods before and after thermocycling. Int J Prosthodont. 20 (Mar-Apr 2007): 199-201.
- [58] Vergani, C. E., Machado, A. L., Giampaolo, E. T. and Pavarina, A. C. Effect of surface treatments on the bond strength between composite resin and acrylic resin denture teeth. Int J Prosthodont. 13 (Sep-Oct 2000): 383-386.
- [59] Chung, R. W., Clark, R. K. and Darvell, B. W. The bonding of cold-cured acrylic resin to acrylic denture teeth. Aust Dent J. 40 (Aug 1995): 241-245.
- [60] Catterlin, R. K., Plummer, K. D. and Gulley, M. E. Effect of tinfoil substitute contamination on adhesion of resin denture tooth to its denture base. J Prosthet Dent. 69 (Jan 1993): 57-59.
- [61] Schoonover, I. C., Fischer, T. E., Serio, A. F. and Sweeney, W. T. Bonding of plastic



- teeth to heat-cured denture base resins. J Am Dent Assoc. 44 (Mar 1952): 285-287.
- [62] Spratley, M. H. An investigation of the adhesion of acrylic resin teeth to dentures. J Prosthet Dent. 58 (Sep 1987): 389-392.
- [63] Darbar, U. R., Huggett, R., Harrison, A. and Williams, K. Finite element analysis of stress distribution at the tooth-denture base interface of acrylic resin teeth debonding from the denture base. J Prosthet Dent. 74 (Dec 1995): 591-594.
- [64] Marra, J., de Souza, R. F., Barbosa, D. B., Pero, A. C. and Compagnoni, M. A. Evaluation of the bond strength of denture base resins to acrylic resin teeth: effect of thermocycling. J Prosthodont. 18 (Jul 2009): 438-443.
- [65] Revised ANSI/ADA Specification No.15 For Synthetic Resin Teeth. 1985. pp.5-10.
- [66] ISO 22112 Dentistry-Artificial teeth for dental prostheses. 2005. pp.10-12.
- [67] Wan, Q., Sheffield, J., McCool, J. and Baran, G. Light curable dental composites designed with colloidal crystal reinforcement. Dent Mater. 24 (Dec 2008): 1694-1701.
- [68] Antonucci, J. M. D., S. H.; Fowler, B. O.; Xu, H. H.; McDonough, W. G. Chemistry of silanes : Interfaces in Dental Polymers and Composites. Journal of Research of the National Institute of Standards and Technology. 110 (2005): 541-558.
- [69] Halvorson, R. H., Erickson, R. L. and Davidson, C. L. The effect of filler and silane content on conversion of resin-based composite. Dent Mater. 19 (Jun 2003): 327-333.
- [70] Feng, L. B., He, L., Ma, Y. X. and Wang, W. Grafting poly(methyl methacrylate) onto silica nanoparticle surfaces via a facile esterification reaction. Materials Chemistry and Physics. 116 (Jul 15 2009): 158-163.
- [71] Chau, J. L. H., Hsieh, C. C., Lin, Y. M. and Li, A. K. Preparation of transparent silica-PMMA nanocomposite hard coatings. Progress in Organic Coatings. 62 (Jun 2008): 436-439.
- [72] Yu, Y. Y., Chen, C. Y. and Chen, W. C. Synthesis and characterization of organic - inorganic hybrid thin films from poly(acrylic) and monodispersed colloidal silica. Polymer. 44 (Feb 2003): 593-601.
- [73] Zhang, K., Zheng, L. L., Zhang, X. H., Chen, X. and Yang, B. Silica-PMMA core-

shell and hollow nanospheres. Colloids and Surfaces a-Physicochemical and Engineering Aspects. 277 (Apr 5 2006): 145-150.

- [74] Price, C. A. The effect of cross-linking agents on the impact resistance of a linear poly(methyl methacrylate) denture-base polymer. J Dent Res. 65 (Jul 1986): 987-992.



ศูนย์วิทยทรัพยากร  
จุฬาลงกรณ์มหาวิทยาลัย



ภาคผนวก

ศูนย์วิทยทรัพยากร  
จุฬาลงกรณ์มหาวิทยาลัย

ตารางที่ 11 ผลค่าความแข็งผิวจากการศึกษานำร่อง

กลุ่มอะคริลิกดัดแปลงจากการศึกษานำร่อง	ค่าความแข็งผิวเฉลี่ย (VHN)
Control	21.24
Nanosilica 1%	21.76
Nanosilica 3%	23.10
Nanosilica 5%	21.10
BBAS 10%	22.36
BBAS 15%	21.80
Nanosilica 1%+BBAS 1%	21.48
Nanosilica 3%+BBAS 1%	19.78
Nanosilica 3%+BBAS 3%	21.56
Nanosilica 3%+EGDMA 10%	21.78
Nanosilica 3%+EGDMA 20%	23.14
Nanosilica 3%+PMMA 50% (MW=925,000-975,000)	19.73
กลุ่มสีฟันเทียมในท้องตลาด	ค่าความแข็งผิวเฉลี่ย (VHN)
<b>Majordent</b>	
-Enamel	22.90
-Dentin	23.18
<b>Ortolux</b>	
-Enamel	23.71
-Dentin	23.84
<b>Yamahachi FX</b>	
-Enamel	23.13
-Dentin	24.89
<b>Endura</b>	
-Enamel	34.88
-Dentin	34.86
-Base	24.98

<b>Orthosit PE</b>	
-Enamel	39.36
-Dentin	40.09
-Base	22.79
-Lingual enamel	23.27
<b>Yamahachi PX</b>	
-Enamel	48.57
-Dentin	76.33
-Base	24.28

ตารางที่ 12 แสดงค่าสถิติเชิงพรรณนาของข้อมูลในการทดสอบความแข็งของซีฟันทึ่มสำเร็จรูปและอะคริลิกชนิดบ่มด้วยความร้อน

#### Descriptive Statistics

ชื่อ	N	Mean	Std. Deviation	Minimum	Maximum
majordent HV	10	22.9000	.69921	21.70	23.90
ortolux HV	10	23.7100	.48408	23.10	24.70
PCP HV	10	22.4100	.64196	21.60	23.40
Major 4F HV	10	22.1400	.50376	21.40	22.90
clear HV	10	21.3000	.28674	20.80	21.70

ตารางที่ 13 แสดงการทดสอบการกระจายตัวของข้อมูลในการทดสอบความแข็งของซีฟันทึ่มสำเร็จรูปและอะคริลิกชนิดบ่มด้วยความร้อน

#### One-Sample Kolmogorov-Smirnov Test

ชื่อ	HV
majordent N	10
Normal Parameters <sup>a</sup>	
Mean	22.9000
Std. Deviation	.69921
Most Extreme Differences	
Absolute	.166
Positive	.113
Negative	-.166
Kolmogorov-Smirnov Z	.525
Asymp. Sig. (2-tailed)	.946

ortolux	N		10
	Normal Parameters <sup>a</sup>	Mean	23.7100
		Std. Deviation	.48408
	Most Extreme Differences	Absolute	.226
		Positive	.226
		Negative	-.104
	Kolmogorov-Smirnov Z		.715
	Asymp. Sig. (2-tailed)		.685
PCP	N		10
	Normal Parameters <sup>a</sup>	Mean	22.4100
		Std. Deviation	.64196
	Most Extreme Differences	Absolute	.185
		Positive	.185
		Negative	-.159
	Kolmogorov-Smirnov Z		.586
	Asymp. Sig. (2-tailed)		.882
Major 4F	N		10
	Normal Parameters <sup>a</sup>	Mean	22.1400
		Std. Deviation	.50376
	Most Extreme Differences	Absolute	.150
		Positive	.150
		Negative	-.147
	Kolmogorov-Smirnov Z		.475
	Asymp. Sig. (2-tailed)		.978
clear	N		10
	Normal Parameters <sup>a</sup>	Mean	21.3000
		Std. Deviation	.28674
	Most Extreme Differences	Absolute	.152
		Positive	.100
		Negative	-.152
	Kolmogorov-Smirnov Z		.482
	Asymp. Sig. (2-tailed)		.975

a. Test distribution is Normal.

ตารางที่ 14 แสดงการทดสอบความเท่ากันของความแปรปรวนของข้อมูลแต่ละกลุ่มในการทดสอบความ  
แข็งของซีฟันเทียมสำเร็จรูปและอะคริลิกชนิดบ่มด้วยความร้อน

#### Test of Homogeneity of Variances

HV

Levene Statistic	df1	df2	Sig.
2.892	4	45	.033

ตารางที่ 15 แสดงการวิเคราะห์ความแปรปรวนแบบทางเดียวของข้อมูลในการทดสอบความแข็งของซีฟัน  
เทียมสำเร็จรูปและอะคริลิกชนิดบ่มด้วยความร้อน

#### ANOVA

HV

	Sum of Squares	df	Mean Square	F	Sig.
Between Groups	32.015	4	8.004	27.199	.000
Within Groups	13.242	45	.294		
Total	45.257	49			

#### Robust Tests of Equality of Means

HV

	Statistic <sup>a</sup>	df1	df2	Sig.
Brown-Forsythe	27.199	4	36.423	.000

a. Asymptotically F distributed.

ศูนย์วิทยทรัพยากร  
จุฬาลงกรณ์มหาวิทยาลัย

ตารางที่ 16 แสดงการเปรียบเทียบเชิงซ้อนของข้อมูลในการทดสอบความแข็งของซีเมนต์ยี่ห้อสำเร็จรูปและอะคริลิกชนิดบ่มด้วยความร้อน

### Multiple Comparisons

HV

Tamhane

(I) ชื่อ	(J) ชื่อ	Mean Difference (I-J)	Std. Error	Sig.	95% Confidence Interval	
					Lower Bound	Upper Bound
majordent	ortolux	-.81000	.26893	.080	-1.6815	.0615
	PCP	.49000	.30017	.722	-.4673	1.4473
	Major 4F	.76000	.27252	.122	-.1203	1.6403
	clear	1.60000*	.23898	.000	.7828	2.4172
ortolux	majordent	.81000	.26893	.080	-.0615	1.6815
	PCP	1.30000*	.25425	.001	.4815	2.1185
	Major 4F	1.57000*	.22093	.000	.8659	2.2741
	clear	2.41000*	.17792	.000	1.8248	2.9952
PCP	majordent	-.49000	.30017	.722	-1.4473	.4673
	ortolux	-1.30000*	.25425	.001	-2.1185	-.4815
	Major 4F	.27000	.25805	.976	-.5585	1.0985
	clear	1.11000*	.22234	.003	.3564	1.8636
Major 4F	majordent	-.76000	.27252	.122	-1.6403	.1203
	ortolux	-1.57000*	.22093	.000	-2.2741	-.8659
	PCP	-.27000	.25805	.976	-1.0985	.5585
	clear	.84000*	.18330	.004	.2346	1.4454
clear	majordent	-1.60000*	.23898	.000	-2.4172	-.7828
	ortolux	-2.41000*	.17792	.000	-2.9952	-1.8248
	PCP	-1.11000*	.22234	.003	-1.8636	-.3564
	Major 4F	-.84000*	.18330	.004	-1.4454	-.2346

\*. The mean difference is significant at the 0.05 level.



ตารางที่ 17 แสดงค่าสถิติเชิงพรรณนาของข้อมูลในการทดสอบความแข็งของอะคริลิกชนิดดัดแปรที่มีวัสดุอัดแทรก

#### Descriptive Statistics

ชื่อ		N	Mean	Std. Deviation	Minimum	Maximum
Major 4F	HV	10	22.1400	.50376	21.40	22.90
clear	HV	10	21.3000	.28674	20.80	21.70
Si 1%	HV	10	21.7300	.32335	21.30	22.40
Si 3%	HV	10	23.0900	.23310	22.60	23.40
BBAS 10%	HV	10	22.2900	.21318	22.00	22.70
BBAS 15%	HV	10	21.9500	.41433	21.20	22.50

ตารางที่ 18 แสดงการทดสอบการกระจายตัวของข้อมูลของแต่ละกลุ่มในการทดสอบความแข็งของอะคริลิกชนิดดัดแปรที่มีวัสดุอัดแทรก

#### One-Sample Kolmogorov-Smirnov Test

ชื่อ		HV	
Major 4F	N	10	
	Normal Parameters <sup>a</sup>	Mean	22.1400
		Std. Deviation	.50376
	Most Extreme Differences	Absolute	.150
		Positive	.150
		Negative	-.147
	Kolmogorov-Smirnov Z	.475	
Asymp. Sig. (2-tailed)	.978		
clear	N	10	
	Normal Parameters <sup>a</sup>	Mean	21.3000
		Std. Deviation	.28674
	Most Extreme Differences	Absolute	.152
		Positive	.100
		Negative	-.152
	Kolmogorov-Smirnov Z	.482	
Asymp. Sig. (2-tailed)	.975		
Si 1%	N	10	
	Normal Parameters <sup>a</sup>	Mean	21.7300

		Std. Deviation	.32335
	Most Extreme Differences	Absolute	.156
		Positive	.156
		Negative	-.092
	Kolmogorov-Smirnov Z		.494
	Asymp. Sig. (2-tailed)		.968
Si 3%	N		10
	Normal Parameters <sup>a</sup>	Mean	23.0900
		Std. Deviation	.23310
	Most Extreme Differences	Absolute	.150
		Positive	.092
		Negative	-.150
	Kolmogorov-Smirnov Z		.473
	Asymp. Sig. (2-tailed)		.978
BBAS 10%	N		10
	Normal Parameters <sup>a</sup>	Mean	22.2900
		Std. Deviation	.21318
	Most Extreme Differences	Absolute	.214
		Positive	.214
		Negative	-.197
	Kolmogorov-Smirnov Z		.675
	Asymp. Sig. (2-tailed)		.752
BBAS 15%	N		10
	Normal Parameters <sup>a</sup>	Mean	21.9500
		Std. Deviation	.41433
	Most Extreme Differences	Absolute	.148
		Positive	.127
		Negative	-.148
	Kolmogorov-Smirnov Z		.468
	Asymp. Sig. (2-tailed)		.981

a. Test distribution is Normal.

ตารางที่ 19 แสดงการทดสอบความเท่ากันของความแปรปรวนของข้อมูลแต่ละกลุ่มในการทดสอบความ  
แข็งของอะคริลิกชนิดดัดแปรที่มีวัสดุอัดแทรก

#### Test of Homogeneity of Variances

HV

Levene Statistic	df1	df2	Sig.
2.720	5	54	.029

ตารางที่ 20 แสดงการวิเคราะห์ความแปรปรวนแบบทางเดียวของข้อมูลในการทดสอบความแข็งของ  
อะคริลิกชนิดดัดแปรที่มีวัสดุอัดแทรก

#### ANOVA

HV

	Sum of Squares	df	Mean Square	F	Sig.
Between Groups	18.155	5	3.631	30.599	.000
Within Groups	6.408	54	.119		
Total	24.563	59			

#### Robust Tests of Equality of Means

HV

	Statistic <sup>a</sup>	df1	df2	Sig.
Brown-Forsythe	30.599	5	39.135	.000

a. Asymptotically F distributed.

ตารางที่ 21 แสดงการเปรียบเทียบเชิงซ้อนของข้อมูลในการทดสอบความแข็งของอะคริลิกชนิดดัดแปรที่มี  
วัสดุอัดแทรก

#### Multiple Comparisons

HV

Tamhane

(I) ชื่อ	(J) ชื่อ	Mean Difference (I-J)	Std. Error	Sig.	95% Confidence Interval	
					Lower Bound	Upper Bound
Major 4F	clear	.84000*	.18330	.006	.1977	1.4823
	Si 1%	.41000	.18930	.510	-.2446	1.0646
	Si 3%	-.95000*	.17553	.002	-1.5802	-.3198
	BBAS 10%	-.15000	.17298	1.000	-.7774	.4774

	BBAS 15%	.19000	.20626	.999	-.5089	.8889
clear	Major 4F	-.84000*	.18330	.006	-1.4823	-.1977
	Si 1%	-.43000	.13667	.082	-.8915	.0315
	Si 3%	-1.79000*	.11686	.000	-2.1862	-1.3938
	BBAS 10%	-.99000*	.11299	.000	-1.3755	-.6045
	BBAS 15%	-.65000*	.15934	.013	-1.1969	-.1031
Si 1%	Major 4F	-.41000	.18930	.510	-1.0646	.2446
	clear	.43000	.13667	.082	-.0315	.8915
	Si 3%	-1.36000*	.12605	.000	-1.7911	-.9289
	BBAS 10%	-.56000*	.12247	.005	-.9824	-.1376
	BBAS 15%	-.22000	.16620	.967	-.7850	.3450
Si 3%	Major 4F	.95000*	.17553	.002	.3198	1.5802
	clear	1.79000*	.11686	.000	1.3938	2.1862
	Si 1%	1.36000*	.12605	.000	.9289	1.7911
	BBAS 10%	.80000*	.09989	.000	.4630	1.1370
	BBAS 15%	1.14000*	.15033	.000	.6125	1.6675
BBAS 10%	Major 4F	.15000	.17298	1.000	-.4774	.7774
	clear	.99000*	.11299	.000	.6045	1.3755
	Si 1%	.56000*	.12247	.005	.1376	.9824
	Si 3%	-.80000*	.09989	.000	-1.1370	-.4630
	BBAS 15%	.34000	.14735	.436	-.1825	.8625
BBAS 15%	Major 4F	-.19000	.20626	.999	-.8889	.5089
	clear	.65000*	.15934	.013	.1031	1.1969
	Si 1%	.22000	.16620	.967	-.3450	.7850
	Si 3%	-1.14000*	.15033	.000	-1.6675	-.6125
	BBAS 10%	-.34000	.14735	.436	-.8625	.1825

\*. The mean difference is significant at the 0.05 level.

ตารางที่ 22 แสดงค่าสถิติเชิงพรรณนาของข้อมูลในการทดสอบความแข็งของอะคริลิกชนิดดัดแปรที่มีวัสดุอัดแทรกพร้อมกับสารเชื่อมขวาง

**Descriptive Statistics**

ชื่อ		N	Mean	Std. Deviation	Minimum	Maximum
Major 4F	HV	10	22.1400	.50376	21.40	22.90
clear	HV	10	21.3000	.28674	20.80	21.70
Si 3%	HV	10	23.0900	.23310	22.60	23.40
Si 3%+EGDMA 10%	HV	10	21.8100	.46774	20.90	22.40
Si 3%+EGDMA 20%	HV	10	23.3400	.42740	22.80	24.20

ตารางที่ 23 แสดงการทดสอบการกระจายตัวของข้อมูลของแต่ละกลุ่มในการทดสอบความแข็งของอะคริลิกชนิดดัดแปรที่มีวัสดุอัดแทรกพร้อมกับสารเชื่อมขวาง

**One-Sample Kolmogorov-Smirnov Test**

ชื่อ		HV	
Major 4F	N	10	
	Normal Parameters <sup>a</sup>	Mean	22.1400
		Std. Deviation	.50376
	Most Extreme Differences	Absolute	.150
		Positive	.150
		Negative	-.147
	Kolmogorov-Smirnov Z	.475	
	Asymp. Sig. (2-tailed)	.978	
clear	N	10	
	Normal Parameters <sup>a</sup>	Mean	21.3000
		Std. Deviation	.28674
	Most Extreme Differences	Absolute	.152
		Positive	.100
		Negative	-.152
	Kolmogorov-Smirnov Z	.482	
	Asymp. Sig. (2-tailed)	.975	
Si 3%	N	10	
	Normal Parameters <sup>a</sup>	Mean	23.0900

		Std. Deviation	.23310
	Most Extreme Differences	Absolute	.150
		Positive	.092
		Negative	-.150
	Kolmogorov-Smirnov Z		.473
	Asymp. Sig. (2-tailed)		.978
Si 3%+EGDMA 10%	N		10
	Normal Parameters <sup>a</sup>	Mean	21.8100
		Std. Deviation	.46774
	Most Extreme Differences	Absolute	.127
		Positive	.104
		Negative	-.127
	Kolmogorov-Smirnov Z		.401
	Asymp. Sig. (2-tailed)		.997
Si 3%+EGDMA 20%	N		10
	Normal Parameters <sup>a</sup>	Mean	23.3400
		Std. Deviation	.42740
	Most Extreme Differences	Absolute	.171
		Positive	.171
		Negative	-.146
	Kolmogorov-Smirnov Z		.542
	Asymp. Sig. (2-tailed)		.930

a. Test distribution is Normal.

ตารางที่ 24 แสดงการทดสอบความเท่ากันของความแปรปรวนของข้อมูลแต่ละกลุ่มในการทดสอบความแข็งของอะคริลิกชนิดดัดแปรที่มีวัสดุอัดแทรกพร้อมกับสารเชื่อมขวาง

#### Test of Homogeneity of Variances

HV

Levene Statistic	df1	df2	Sig.
1.956	4	45	.118

ตารางที่ 25 แสดงการวิเคราะห์ความแปรปรวนแบบทางเดียวของข้อมูลในการทดสอบความแข็งของอะคริลิกชนิดดัดแปรที่มีวัสดุอัดแทรกพร้อมกับสารเชื่อมขวาง

ANOVA					
HV					
	Sum of Squares	df	Mean Square	F	Sig.
Between Groups	29.649	4	7.412	46.808	.000
Within Groups	7.126	45	.158		
Total	36.775	49			

ตารางที่ 26 แสดงการเปรียบเทียบเชิงซ้อนของข้อมูลในการทดสอบความแข็งของอะคริลิกชนิดดัดแปรที่มีวัสดุอัดแทรกพร้อมกับสารเชื่อมขวาง

#### Multiple Comparisons

HV

Tukey HSD

(I) ชื่อ	(J) ชื่อ	Mean Difference (I-J)	Std. Error	Sig.	95% Confidence Interval	
					Lower Bound	Upper Bound
Major 4F	clear	.84000*	.17796	.000	.3343	1.3457
	Si 3%	-.95000*	.17796	.000	-1.4557	-.4443
	Si 3%+EGDMA 10%	.33000	.17796	.356	-.1757	.8357
	Si 3%+EGDMA 20%	-1.20000*	.17796	.000	-1.7057	-.6943
clear	Major 4F	-.84000*	.17796	.000	-1.3457	-.3343
	Si 3%	-1.79000*	.17796	.000	-2.2957	-1.2843
	Si 3%+EGDMA 10%	-.51000*	.17796	.047	-1.0157	-.0043
	Si 3%+EGDMA 20%	-2.04000*	.17796	.000	-2.5457	-1.5343
Si 3%	Major 4F	.95000*	.17796	.000	.4443	1.4557
	clear	1.79000*	.17796	.000	1.2843	2.2957
	Si 3%+EGDMA 10%	1.28000*	.17796	.000	.7743	1.7857
	Si 3%+EGDMA 20%	-.25000	.17796	.628	-.7557	.2557
Si 3%+EGDMA 10%	Major 4F	-.33000	.17796	.356	-.8357	.1757
	clear	.51000*	.17796	.047	.0043	1.0157
	Si 3%	-1.28000*	.17796	.000	-1.7857	-.7743
	Si 3%+EGDMA 20%	-1.53000*	.17796	.000	-2.0357	-1.0243

Si 3%+EGDMA 20% Major 4F	1.20000*	.17796	.000	.6943	1.7057
clear	2.04000*	.17796	.000	1.5343	2.5457
Si 3%	.25000	.17796	.628	-.2557	.7557
Si 3%+EGDMA 10%	1.53000*	.17796	.000	1.0243	2.0357

\*. The mean difference is significant at the 0.05 level.

### HV

#### Tukey HSD

ชื่อ	N	Subset for alpha = 0.05		
		1	2	3
clear	10	21.3000		
Si 3%+EGDMA 10%	10		21.8100	
Major 4F	10		22.1400	
Si 3%	10			23.0900
Si 3%+EGDMA 20%	10			23.3400
Sig.		1.000	.356	.628

Means for groups in homogeneous subsets are displayed.

ศูนย์วิทยทรัพยากร  
จุฬาลงกรณ์มหาวิทยาลัย



ตารางที่ 27 แสดงค่าสถิติเชิงพรรณนาของข้อมูลในการทดสอบความแข็งแกร่งการยึดติดกับฐานฟันเทียมของซีฟันเทียมสำเร็จรูปและอะคริลิกชนิดบ่มด้วยความร้อน

name	N	Mean	Std. Deviation	Minimum	Maximum
majordent TBS	10	38.2549	6.96336	31.34	54.20
ortolux TBS	10	40.6480	9.01182	31.88	56.40
major 4F TBS	10	21.4000	6.37181	15.00	32.30
PCP TBS	10	8.5500	2.69804	3.99	13.40
clear TBS	10	26.5900	7.18833	13.50	36.20

ตารางที่ 28 แสดงการทดสอบการกระจายตัวของข้อมูลในการทดสอบความแข็งแกร่งการยึดติดกับฐานฟันเทียมของซีฟันเทียมสำเร็จรูปและอะคริลิกชนิดบ่มด้วยความร้อน

name	TBS
majordent N	10
Normal Parameters <sup>a</sup> Mean	38.2549
Std. Deviation	6.96336
Most Extreme Differences Absolute	.226
Positive	.226
Negative	-.160
Kolmogorov-Smirnov Z	.715
Asymp. Sig. (2-tailed)	.686
ortolux N	10
Normal Parameters <sup>a</sup> Mean	40.6480
Std. Deviation	9.01182
Most Extreme Differences Absolute	.259
Positive	.259
Negative	-.165
Kolmogorov-Smirnov Z	.820
Asymp. Sig. (2-tailed)	.511

major 4F	N		10
	Normal Parameters <sup>a</sup>	Mean	21.4000
		Std. Deviation	6.37181
	Most Extreme Differences	Absolute	.298
		Positive	.298
		Negative	-.158
	Kolmogorov-Smirnov Z		.942
	Asymp. Sig. (2-tailed)		.338
PCP	N		10
	Normal Parameters <sup>a</sup>	Mean	8.5500
		Std. Deviation	2.69804
	Most Extreme Differences	Absolute	.166
		Positive	.166
		Negative	-.131
	Kolmogorov-Smirnov Z		.526
	Asymp. Sig. (2-tailed)		.945
clear	N		10
	Normal Parameters <sup>a</sup>	Mean	26.5900
		Std. Deviation	7.18833
	Most Extreme Differences	Absolute	.337
		Positive	.184
		Negative	-.337
	Kolmogorov-Smirnov Z		1.064
	Asymp. Sig. (2-tailed)		.207

a. Test distribution is Normal.

ตารางที่ 29 แสดงการทดสอบความเท่ากันของความแปรปรวนของข้อมูลแต่ละกลุ่มในการทดสอบ ความแข็งแรงการยึดติดกับฐานพื้นเทียมของซีพื้นเทียมสำเร็จรูปและอะคริลิกชนิดบ่มด้วยความร้อน

#### Test of Homogeneity of Variances

TBS

Levene Statistic	df1	df2	Sig.
3.639	4	45	.012

ตารางที่ 30 แสดงการวิเคราะห์ความแปรปรวนแบบทางเดียวของข้อมูลในการทดสอบ ความแข็งแรงการยึดติดกับฐานพื้นเทียมของซีพื้นเทียมสำเร็จรูปและอะคริลิกชนิดบ่มด้วยความร้อน

#### ANOVA

TBS					
	Sum of Squares	df	Mean Square	F	Sig.
Between Groups	6848.320	4	1712.080	37.340	.000
Within Groups	2063.275	45	45.851		
Total	8911.595	49			

#### Robust Tests of Equality of Means

TBS				
	Statistic <sup>a</sup>	df1	df2	Sig.
Brown-Forsythe	37.340	4	35.517	.000

a. Asymptotically F distributed.

ศูนย์วิทยทรัพยากร  
จุฬาลงกรณ์มหาวิทยาลัย

ตารางที่ 31 แสดงการเปรียบเทียบเชิงซ้อนของข้อมูลในการทดสอบความแข็งแรงการยึดติดกับฐานฟันเทียมของซีฟันเทียมสำเร็จรูปและอะคริลิกชนิดบ่มด้วยความร้อน

### Multiple Comparisons

TBS

Tamhane

(I) name	(J) name	Mean Difference (I-J)	Std. Error	Sig.	95% Confidence Interval	
					Lower Bound	Upper Bound
majordent	ortolux	-2.39310	3.60141	.999	-13.9677	9.1815
	major 4F	16.85490*	2.98477	.000	7.3349	26.3749
	PCP	29.70490*	2.36152	.000	21.5847	37.8251
	clear	11.66490*	3.16482	.017	1.5800	21.7498
ortolux	majordent	2.39310	3.60141	.999	-9.1815	13.9677
	major 4F	19.24800*	3.49017	.000	7.9576	30.5384
	PCP	32.09800*	2.97476	.000	21.6422	42.5538
	clear	14.05800*	3.64534	.012	2.3650	25.7510
major 4F	majordent	-16.85490*	2.98477	.000	-26.3749	-7.3349
	ortolux	-19.24800*	3.49017	.000	-30.5384	-7.9576
	PCP	12.85000*	2.18814	.001	5.3920	20.3080
	clear	-5.19000	3.03763	.670	-14.8872	4.5072
PCP	majordent	-29.70490*	2.36152	.000	-37.8251	-21.5847
	ortolux	-32.09800*	2.97476	.000	-42.5538	-21.6422
	major 4F	-12.85000*	2.18814	.001	-20.3080	-5.3920
	clear	-18.04000*	2.42799	.000	-26.4140	-9.6660
clear	majordent	-11.66490*	3.16482	.017	-21.7498	-1.5800
	ortolux	-14.05800*	3.64534	.012	-25.7510	-2.3650
	major 4F	5.19000	3.03763	.670	-4.5072	14.8872
	PCP	18.04000*	2.42799	.000	9.6660	26.4140

\*. The mean difference is significant at the 0.05 level.

ตารางที่ 32 แสดงค่าสถิติเชิงพรรณนาของข้อมูลในการทดสอบความแข็งแรงการยึดติดกับฐานฟันเทียมของอะคริลิกชนิดดัดแปรที่มีวัสดุอัดแทรก

name	N	Mean	Std. Deviation	Minimum	Maximum
major 4F TBS	10	21.4000	6.37181	15.00	32.30
clear TBS	10	26.5900	7.18833	13.50	36.20
BBAS 10% TBS	10	27.2000	7.38783	10.70	36.20
BBAS 15% TBS	10	27.1500	6.63965	12.40	35.40
Si 1% TBS	10	30.8500	8.86407	12.60	43.50
Si 3% TBS	10	30.5500	5.06036	19.30	36.40

ตารางที่ 33 แสดงการทดสอบการกระจายตัวของข้อมูลในการทดสอบความแข็งแรงการยึดติดกับฐานฟันเทียมของอะคริลิกชนิดดัดแปรที่มีวัสดุอัดแทรก

name	TBS
major 4F	N
	10
	Normal Parameters <sup>a</sup>
	Mean
	21.4000
	Std. Deviation
	6.37181
	Most Extreme Differences
	Absolute
	.298
	Positive
	.298
	Negative
	-.158
	Kolmogorov-Smirnov Z
	.942
	Asymp. Sig. (2-tailed)
	.338
clear	N
	10
	Normal Parameters <sup>a</sup>
	Mean
	26.5900
	Std. Deviation
	7.18833
	Most Extreme Differences
	Absolute
	.337
	Positive
	.184
	Negative
	-.337

	Kolmogorov-Smirnov Z		1.064
	Asymp. Sig. (2-tailed)		.207
BBAS 10%	N		10
	Normal Parameters <sup>a</sup>	Mean	27.2000
		Std. Deviation	7.38783
	Most Extreme Differences	Absolute	.157
		Positive	.112
		Negative	-.157
	Kolmogorov-Smirnov Z		.498
	Asymp. Sig. (2-tailed)		.965
BBAS 15%	N		10
	Normal Parameters <sup>a</sup>	Mean	27.1500
		Std. Deviation	6.63965
	Most Extreme Differences	Absolute	.173
		Positive	.150
		Negative	-.173
	Kolmogorov-Smirnov Z		.547
	Asymp. Sig. (2-tailed)		.926
Si 1%	N		10
	Normal Parameters <sup>a</sup>	Mean	30.8500
		Std. Deviation	8.86407
	Most Extreme Differences	Absolute	.195
		Positive	.127
		Negative	-.195
	Kolmogorov-Smirnov Z		.618
	Asymp. Sig. (2-tailed)		.839
Si 3%	N		10
	Normal Parameters <sup>a</sup>	Mean	30.5500
		Std. Deviation	5.06036
	Most Extreme Differences	Absolute	.172
		Positive	.124

	Negative	- .172
	Kolmogorov-Smirnov Z	.543
	Asymp. Sig. (2-tailed)	.930

a. Test distribution is Normal.

ตารางที่ 34 แสดงการทดสอบความเท่ากันของความแปรปรวนของข้อมูลแต่ละกลุ่มในการทดสอบความแข็งแรงยึดติดกับฐานพื้นเทียมของอะคริลิกชนิดดัดแปรที่มีวัสดุอัดแทรก

#### Test of Homogeneity of Variances

TBS

Levene Statistic	df1	df2	Sig.
.511	5	54	.767

ตารางที่ 35 แสดงการวิเคราะห์ความแปรปรวนแบบทางเดียวของข้อมูลในการทดสอบความแข็งแรงยึดติดกับฐานพื้นเทียมของอะคริลิกชนิดดัดแปรที่มีวัสดุอัดแทรก

#### ANOVA

ANOVA					
TBS					
	Sum of Squares	df	Mean Square	F	Sig.
Between Groups	585.110	5	117.022	2.379	.051
Within Groups	2656.044	54	49.186		
Total	3241.154	59			

ตารางที่ 36 แสดงการเปรียบเทียบเชิงซ้อนของข้อมูลในการทดสอบความแข็งแรงการยึดติดกับฐานพื้นเทียมของอะคริลิกชนิดดัดแปรที่มีวัสดุอัดแทรก

#### Multiple Comparisons

TBS

Tukey HSD

(I) name	(J) name	Mean Difference (I-J)	Std. Error	Sig.	95% Confidence Interval	
					Lower Bound	Upper Bound

major 4F	clear	-5.19000	3.13643	.567	-14.4565	4.0765
	BBAS 10%	-5.80000	3.13643	.444	-15.0665	3.4665
	BBAS 15%	-5.75000	3.13643	.454	-15.0165	3.5165
	Si 1%	-9.45000*	3.13643	.043	-18.7165	-.1835
	Si 3%	-9.15000	3.13643	.055	-18.4165	.1165
clear	major 4F	5.19000	3.13643	.567	-4.0765	14.4565
	BBAS 10%	-.61000	3.13643	1.000	-9.8765	8.6565
	BBAS 15%	-.56000	3.13643	1.000	-9.8265	8.7065
	Si 1%	-4.26000	3.13643	.751	-13.5265	5.0065
	Si 3%	-3.96000	3.13643	.804	-13.2265	5.3065
BBAS 10%	major 4F	5.80000	3.13643	.444	-3.4665	15.0665
	clear	.61000	3.13643	1.000	-8.6565	9.8765
	BBAS 15%	.05000	3.13643	1.000	-9.2165	9.3165
	Si 1%	-3.65000	3.13643	.852	-12.9165	5.6165
	Si 3%	-3.35000	3.13643	.892	-12.6165	5.9165
BBAS 15%	major 4F	5.75000	3.13643	.454	-3.5165	15.0165
	clear	.56000	3.13643	1.000	-8.7065	9.8265
	BBAS 10%	-.05000	3.13643	1.000	-9.3165	9.2165
	Si 1%	-3.70000	3.13643	.845	-12.9665	5.5665
	Si 3%	-3.40000	3.13643	.886	-12.6665	5.8665
Si 1%	major 4F	9.45000*	3.13643	.043	.1835	18.7165
	clear	4.26000	3.13643	.751	-5.0065	13.5265
	BBAS 10%	3.65000	3.13643	.852	-5.6165	12.9165
	BBAS 15%	3.70000	3.13643	.845	-5.5665	12.9665
	Si 3%	.30000	3.13643	1.000	-8.9665	9.5665
Si 3%	major 4F	9.15000	3.13643	.055	-.1165	18.4165
	clear	3.96000	3.13643	.804	-5.3065	13.2265
	BBAS 10%	3.35000	3.13643	.892	-5.9165	12.6165
	BBAS 15%	3.40000	3.13643	.886	-5.8665	12.6665
	Si 1%	-.30000	3.13643	1.000	-9.5665	8.9665

\*. The mean difference is significant at the 0.05 level.



## TBS

Tukey HSD

name	N	Subset for alpha = 0.05	
		1	2
major 4F	10	21.4000	
clear	10	26.5900	26.5900
BBAS 15%	10	27.1500	27.1500
BBAS 10%	10	27.2000	27.2000
Si 3%	10	30.5500	30.5500
Si 1%	10		30.8500
Sig.		.055	.751

Means for groups in homogeneous subsets are displayed.

ตารางที่ 37 แสดงค่าสถิติเชิงพรรณนาของข้อมูลในการทดสอบความแข็งแรงการยึดติดกับฐานฟันเทียมของอะคริลิกชนิดดัดแปรที่มีวัสดุอัดแทรกพร้อมกับสารเชื่อมขวาง

## Descriptive Statistics

name		N	Mean	Std. Deviation	Minimum	Maximum
major 4F	TBS	10	21.4000	6.37181	15.00	32.30
clear	TBS	10	26.5900	7.18833	13.50	36.20
Si 3%	TBS	10	30.5500	5.06036	19.30	36.40
Si 3%+EG 10%	TBS	10	23.5440	6.94792	8.54	31.00
Si 3%+EG 20%	TBS	10	23.7900	4.51847	17.30	31.20

ตารางที่ 38 แสดงการทดสอบการกระจายตัวของข้อมูลในการทดสอบความแข็งแรงการยึดติดกับฐานพื้น  
 เทียมของอะคริลิกชนิดดัดแปรที่มีวัสดุอัดแทรกพร้อมกับสารเชื่อมขวาง

One-Sample Kolmogorov-Smirnov Test			TBS
name			
major 4F	N		10
	Normal Parameters <sup>a</sup>	Mean	21.4000
		Std. Deviation	6.37181
	Most Extreme Differences	Absolute	.298
		Positive	.298
		Negative	-.158
	Kolmogorov-Smirnov Z		.942
	Asymp. Sig. (2-tailed)		.338
clear	N		10
	Normal Parameters <sup>a</sup>	Mean	26.5900
		Std. Deviation	7.18833
	Most Extreme Differences	Absolute	.337
		Positive	.184
		Negative	-.337
	Kolmogorov-Smirnov Z		1.064
	Asymp. Sig. (2-tailed)		.207
Si 3%	N		10
	Normal Parameters <sup>a</sup>	Mean	30.5500
		Std. Deviation	5.06036
	Most Extreme Differences	Absolute	.172
		Positive	.124
		Negative	-.172
	Kolmogorov-Smirnov Z		.543
	Asymp. Sig. (2-tailed)		.930
Si 3%+EG 10%	N		10
	Normal Parameters <sup>a</sup>	Mean	23.5440

		Std. Deviation	6.94792
Most Extreme Differences		Absolute	.246
		Positive	.142
		Negative	-.246
Kolmogorov-Smirnov Z			.778
Asymp. Sig. (2-tailed)			.581
Si 3%+EG 20%	N		10
Normal Parameters <sup>a</sup>		Mean	23.7900
		Std. Deviation	4.51847
Most Extreme Differences		Absolute	.203
		Positive	.203
		Negative	-.131
Kolmogorov-Smirnov Z			.642
Asymp. Sig. (2-tailed)			.805

a. Test distribution is Normal.

ตารางที่ 39 แสดงการทดสอบความเท่ากันของความแปรปรวนของข้อมูลแต่ละกลุ่มในการทดสอบ ความ  
แข็งแกร่งการยึดติดกับฐานพื้นเทียมของอะคริลิกชนิดดัดแปรที่มีวัสดุยึดเกาะร่วมกับสารเชื่อมขวาง

#### Test of Homogeneity of Variances

TBS

Levene Statistic	df1	df2	Sig.
1.033	4	45	.400

ตารางที่ 40 แสดงการวิเคราะห์ความแปรปรวนแบบทางเดียวของข้อมูลในการทดสอบความแข็งแรงการยึดติดกับฐานพื้นเทียมของอะคริลิกชนิดดัดแปรที่มีวัสดุอัดแทรกพร้อมกับสารเชื่อมขวาง

ANOVA					
TBS					
	Sum of Squares	df	Mean Square	F	Sig.
Between Groups	497.219	4	124.305	3.331	.018
Within Groups	1679.125	45	37.314		
Total	2176.344	49			

ศูนย์วิทยทรัพยากร  
จุฬาลงกรณ์มหาวิทยาลัย

ตารางที่ 41 แสดงการเปรียบเทียบเชิงซ้อนของข้อมูลในการทดสอบความแข็งแรงการยึดติดกับฐานพื้น  
 เทียมของอะคริลิกชนิดดัดแปรที่มีวัสดุอุดแทรกพร้อมกับสารเชื่อมขวาง

### Multiple Comparisons

TBS

Tukey HSD

(I) name	(J) name	Mean Difference (I-J)	Std. Error	Sig.	95% Confidence Interval	
					Lower Bound	Upper Bound
major 4F	clear	-5.19000	2.73181	.332	-12.9523	2.5723
	Si 3%	-9.15000*	2.73181	.014	-16.9123	-1.3877
	Si 3%+EG 10%	-2.14400	2.73181	.934	-9.9063	5.6183
	Si 3%+EG 20%	-2.39000	2.73181	.905	-10.1523	5.3723
clear	major 4F	5.19000	2.73181	.332	-2.5723	12.9523
	Si 3%	-3.96000	2.73181	.600	-11.7223	3.8023
	Si 3%+EG 10%	3.04600	2.73181	.798	-4.7163	10.8083
	Si 3%+EG 20%	2.80000	2.73181	.843	-4.9623	10.5623
Si 3%	major 4F	9.15000*	2.73181	.014	1.3877	16.9123
	clear	3.96000	2.73181	.600	-3.8023	11.7223
	Si 3%+EG 10%	7.00600	2.73181	.095	-.7563	14.7683
	Si 3%+EG 20%	6.76000	2.73181	.115	-1.0023	14.5223
Si 3%+EG 10%	major 4F	2.14400	2.73181	.934	-5.6183	9.9063
	clear	-3.04600	2.73181	.798	-10.8083	4.7163
	Si 3%	-7.00600	2.73181	.095	-14.7683	.7563
	Si 3%+EG 20%	-.24600	2.73181	1.000	-8.0083	7.5163
Si 3%+EG 20%	major 4F	2.39000	2.73181	.905	-5.3723	10.1523
	clear	-2.80000	2.73181	.843	-10.5623	4.9623
	Si 3%	-6.76000	2.73181	.115	-14.5223	1.0023
	Si 3%+EG 10%	.24600	2.73181	1.000	-7.5163	8.0083

\*. The mean difference is significant at the 0.05 level.

## TBS

Tukey HSD

name	N	Subset for alpha = 0.05	
		1	2
major 4F	10	21.4000	
Si 3%+EG 10%	10	23.5440	23.5440
Si 3%+EG 20%	10	23.7900	23.7900
clear	10	26.5900	26.5900
Si 3%	10		30.5500
Sig.		.332	.095

Means for groups in homogeneous subsets are displayed.

ผู้ทำแม่แบบ จัดหาวัตถุดิบและฉีดขึ้นรูปพลาสติกของฟันเทอร์โมพลาสติก

คุณ วิกันย์ พวงแก้ว

บริษัท แพนพรีซิชั่น จำกัด

Pan Precision Product Co., Ltd. (PCP)

18/278 หมู่ 3 ซอยสวัสดิการ 2 แยก 8 ถนนเพชรเกษม 77 เขตหนองแขม กรุงเทพมหานคร

โทร. 66 2-809-7200-1

แฟกซ์ 66 2-421-4265

Website: <http://www.panprecision.com>

Email: [pcp.pan2000@gmail.com](mailto:pcp.pan2000@gmail.com)

ศูนย์วิทยทรัพยากร  
จุฬาลงกรณ์มหาวิทยาลัย

## ประวัติผู้เขียนวิทยานิพนธ์

นางสาว กาญจนพร มิ่งมงคลชัยกุล เกิดเมื่อวันที่ 21 ตุลาคม พ.ศ. 2523 ที่จังหวัด กรุงเทพมหานคร สำเร็จ การศึกษาปริญญาตรีทันตแพทยศาสตรบัณฑิตจากคณะทันตแพทยศาสตร์ มหาวิทยาลัยศรีนครินทรวิโรฒ เมื่อปี พ.ศ. 2548 เข้ารับราชการตำแหน่งทันตแพทย์ 4 ที่โรงพยาบาลพาน จังหวัดเชียงราย เป็นเวลา 1 ปี และโรงพยาบาลแม่ฟ้าหลวง จังหวัดเชียงราย เป็นเวลา 2 ปี และได้ เข้าศึกษาต่อในหลักสูตรวิทยาศาสตรมหาบัณฑิต สาขาทันตกรรมประดิษฐ์ จุฬาลงกรณ์มหาวิทยาลัย ในปี พ.ศ. 2551



ศูนย์วิทยทรัพยากร  
จุฬาลงกรณ์มหาวิทยาลัย